

ESCUELA POLITECNICA NACIONAL

FACULTAD DE INGENIERIA ELECTRICA

*ESTUDIO TEORICO DE LA RELACION ENTRE LA BER,
LOS CODIGOS BLOQUE LINEALES Y LA POTENCIA DE
TRANSMISION EN SISTEMAS CON MODULACION
PSK Y QAM MULTINIVEL*

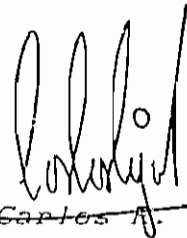
*TESIS PREVIA A LA OBTENCION DEL TITULO DE
INGENIERO EN LA ESPECIALIDAD DE
ELECTRONICA Y TELECOMUNICACIONES*

LUIS A. RIVERA SANCHEZ

QUITO, NOVIEMBRE DE 1994

CERTIFICACION

*Certifico que esta Tesis ha sido
desarrollada en su totalidad por el Sr.
Luis A. Rivera Sánchez.*



Ing. ~~Carlos A. Egas A.~~

DIRECTOR DE TESIS

Quito, Noviembre de 1994

*Mi agradecimiento muy especial a mis
padres y hermanos por su apoyo
constante, al Ing. Carlos Egas por su
ayuda como Director de esta Tesis. A
todas las personas que de alguna manera
colaboraron para la culminación de este
trabajo.*

GRACIAS.....

"Para prosperar dentro de una profesión no hay que tomarla como medio sino como fin, y esto se realiza consagrandolo a la misma todos nuestros estudios, energías y desvelos".

INDICE GENERAL

	<i>PAG.</i>
<i>Indice General.....</i>	<i>i</i>
<i>Indice de Figuras.....</i>	<i>iv</i>
<i>Indice de Tablas.....</i>	<i>vii</i>
CAPITULO I. INTRODUCCION.	
1.1 <i>Códigos Bloque Lineales.....</i>	<i>1</i>
1.1.1 <i>Código Bloque Lineal Sistemático.....</i>	<i>3</i>
1.1.2 <i>Códigos Hamming.....</i>	<i>6</i>
1.1.3 <i>Códigos Cíclicos.....</i>	<i>9</i>
1.1.4 <i>Códigos BCH.....</i>	<i>12</i>
1.1.5 <i>Otros Códigos Bloque Lineales.....</i>	<i>13</i>
1.1.6 <i>Obtención de Códigos Bloque Lineales en forma sistemática.....</i>	<i>16</i>
1.2 <i>Probabilidad de Decodificación Errónea de los Códigos Bloque Lineales.....</i>	<i>17</i>
1.3 <i>Tasa de Bits Erróneos, (BER).....</i>	<i>25</i>
1.3.1 <i>Ruido.....</i>	<i>27</i>
1.4 <i>Potencia de Transmisión en Sistemas de Radioenlaces Digitales con Modulación PSK y QAM multinivel.....</i>	<i>31</i>

CAPITULO II. CODIGOS BLOQUE LINEALES Y CONVOLUCIONALES

<i>2.1</i>	<i>Comparación entre los Códigos Bloque Lineales y los Códigos Convolutivos</i>	<i>38</i>
<i>2.1.1</i>	<i>Eficiencia.....</i>	<i>40</i>
<i>2.1.2</i>	<i>Redundancia.....</i>	<i>42</i>
<i>2.1.3</i>	<i>Capacidad de Corrección de Errores....</i>	<i>43</i>
<i>2.1.3.1</i>	<i>Control de Errores utilizando Códigos Correctores de Errores Tipo Ráfaga....</i>	<i>51</i>
<i>2.2</i>	<i>Cálculo de $P_u(E)$ para los Códigos Bloque Lineales, Algoritmo y Programa.....</i>	<i>55</i>
<i>2.2.1</i>	<i>Cálculo de la Distribución de Ancho del Código (n,k) o su Dual $(n,n-k)$.....</i>	<i>56</i>
<i>2.2.2</i>	<i>Programa Principal.....</i>	<i>66</i>
<i>2.3</i>	<i>Relación entre $P_u(E)$, n, k, BER.....</i>	<i>77</i>
<i>2.4</i>	<i>Interpretación de Resultados.....</i>	<i>84</i>

CAPITULO III. RELACION ENTRE LA BER, BITS DE CONTROL DE LOS CODIGOS BLOQUE LINEALES $(n-k)$ Y LA POTENCIA DE TRANSMISION.

<i>3.1</i>	<i>Modulación PSK y QAM Multinivel.....</i>	<i>106</i>
<i>3.1.1</i>	<i>Determinación de la BER para Sistemas de Transmisión de Datos con Modulación PSK y QAM Multinivel.....</i>	<i>115</i>
<i>3.1.1.1</i>	<i>Demodulación.....</i>	<i>115</i>
<i>3.1.1.2</i>	<i>BER de la Señal de Dos Niveles.....</i>	<i>116</i>
<i>3.1.1.3</i>	<i>Sistemas con Modulación PSK.....</i>	<i>118</i>

3.1.1.4	Sistemas con Modulación QAM.....	122
3.1.2	Relación entre la BER y la Potencia de Transmisión.....	131
3.1.3	Interpretación de Resultados.....	133
3.2	Relación entre la BER, Bits de Paridad de los Códigos Bloque Lineales y Potencia de Transmisión.....	140
3.3	Interpretación de Resultados y Factibilidad de Implementación Práctica.	159

CAPITULO IV. CONCLUSIONES

4.1	Conclusiones.....	171
4.2	Recomendaciones.....	176

ANEXO I.

Listados de los Programas realizados en QuickBasic V. 4.5.....	177
--	-----

ANEXO II.

Resultados de los Programas.....	213
----------------------------------	-----

ANEXO III.

Polinomios Generadores.....	232
-----------------------------	-----

BIBLIOGRAFIA.....	249
--------------------------	------------

INDICE DE FIGURAS

<i>FIGURA</i>		<i>PAG.</i>
1.1	<i>Código Sistemático.....</i>	4
1.2	<i>Transmisión de Datos a través de un Canal.....</i>	26
1.3	<i>Densidad de Ruido vs. Frecuencia.....</i>	28
1.4	<i>Relación BER vs. S/N.....</i>	29
1.5	<i>Modelo Simplificado de un Enlace de Comunicaciones.....</i>	32
2.1	<i>Diagrama de Flujo del Programa que permite calcular la Distribución de Ancho del Código.....</i>	59
2.2	<i>Canal Binario Simétrico, BSC.....</i>	66
2.3	<i>Diagrama de Flujo de Programa Principal</i>	68
2.4	<i>$P_u(E)$ vs. p para el Código (7,4).....</i>	88
2.5	<i>$P_u(E)$ vs. p para el Código (15,11)....</i>	90
2.6	<i>$P_u(E)$ vs. p para el Código (15,7).....</i>	93
2.7	<i>Códigos Bloque Lineales con $t = 1$.....</i>	94
2.8	<i>Variación de $P_u(E)$ vs. p vs. $n-k$ Códigos con $t = 1$.....</i>	95
2.9	<i>Códigos Bloque Lineales con $t = 2$.....</i>	96
2.10	<i>Códigos Bloque Lineales con $t = 3$.....</i>	97
2.11	<i>$P(E)$ vs. p para el Código (7,4).....</i>	98
2.12	<i>$P(E)$ vs. p para el Código (7,4).....</i>	99
2.13	<i>Probabilidad de Error en los Bits en</i>	

	<i>función de E_b/N_0 para Sistemas Codificados con Códigos Bloque Lineales y Modulación B-PSK.....</i>	<i>100</i>
2.14	<i>Probabilidad de Error en los Bits en función de E_b/N_0 para Sistemas no Codificados con Modulación B-PSK.....</i>	<i>101</i>
2.15	<i>Códigos Bloque Lineales con $t = 2$.....</i>	<i>102</i>
2.16	<i>Códigos Bloque Lineales con $t = 2$.....</i>	<i>103</i>
3.1	<i>Diagrama Fasorial de Señales M-PSK....</i>	<i>108</i>
3.2	<i>Sistema QAM o Multiplexión de Cuadratura.....</i>	<i>110</i>
3.3	<i>Forma de Onda de Impulsos Unipolares..</i>	<i>117</i>
3.4	<i>Diagrama Fasorial de Señales M-PSK....</i>	<i>120</i>
3.5	<i>Diagrama Fasorial para la Señal 16-QAM</i>	<i>123</i>
3.6	<i>Diagrama Fasorial de Señales M-QAM....</i>	<i>125</i>
3.7	<i>Código por Asignaación Binaria, 16-QAM</i>	<i>130</i>
3.8	<i>Código por Asignaación de Gray, 16-QAM</i>	<i>130</i>
3.9	<i>Tasa de Bits Erróneos para diversos modos de Detección Coherente PSK.....</i>	<i>137</i>
3.10	<i>Tasa de Bits Erróneos para diversos modos de Detección Coherente QAM.....</i>	<i>138</i>
3.11	<i>Modelo Simplificado de un Enlace de Comunicaciones.....</i>	<i>141</i>
3.12	<i>BER vs. S/N para 4-PSK.....</i>	<i>144</i>
3.13	<i>BER vs. S/N para 8-PSK.....</i>	<i>145</i>
3.14	<i>BER vs. S/N para 16-PSK.....</i>	<i>145</i>
3.15	<i>BER vs. S/N para 16-QAM.....</i>	<i>147</i>

INDICE DE TABLAS

TABLA		PAG.
2.1	<i>Distribución de Anchos de los Códigos Bloque Lineales.....</i>	65
2.2	<i>Valores de las Combinaciones $\binom{n}{i}$</i>	76
2.3	<i>Codificación Sistemática del Código (7,4,1).....</i>	85
3.1	<i>Correspondencia entre Fase y Símbolo Binario Natural y Símbolo de Gray, Modulación 8-PSK.....</i>	129
3.2	<i>Incremento de la S/N para variar la BER de 10^{-3} a 10^{-6}.....</i>	138
3.3	<i>Variación de la S/N respecto de la BER para Modulaciones 4-PSK, 8-PSK y 16-PSK.....</i>	156
3.4	<i>Variación de la S/N respecto del mensaje para Modulaciones 4-PSK, 8-PSK y 16-PSK.....</i>	157
3.5	<i>Variación de la P(E) con los Códigos Bloque.....</i>	158
3.5	<i>Variación de la P(E) al utilizar Codificación.....</i>	166

CAPITULO I.

INTRODUCCION.

En este capítulo, se describe brevemente términos ya conocidos que son parte de Teoría de la Información como también de la materia de Propagación en Sistemas de Radioenlaces Digitales, con el propósito de obtener los suficientes elementos teóricos que servirán para dar un mejor enfoque de los objetivos planteados de este documento.

1.1 CODIGOS BLOQUE LINEALES.

Un código bloque de longitud n y 2^k palabras código, es llamado código bloque lineal (n,k) , si y solo si

las 2^k palabras código forman un subespacio k -dimensional del espacio n -dimensional que puede formarse con todos los vectores de longitud n .

En otras palabras un código bloque es lineal, si y solo si la suma modulo 2 de una palabra código es otra palabra código.

Si un código bloque lineal $C(n,k)$ es un subespacio k -dimensional del espacio vectorial V_n , entonces es posible encontrar k vectores código linealmente independientes:

$$g_0, g_1, \dots, g_{k-1}$$

tal que cualquier palabra código v sea una combinación lineal de estos k vectores:

$$v = u_0 g_0 + u_1 g_1 + \dots + u_{k-1} g_{k-1} \quad (1.1)$$

Entonces, $u = (u_0, u_1, \dots, u_{k-1})$ representa la palabra mensaje a ser codificado, y v su palabra código que es igual a:

$$v = u \cdot G \quad (1.2)$$

Con los elementos de los k vectores código linealmente independientes se puede formar una matriz, que representa la matriz generadora, con la que es posible

encontrar todas las palabras código del código bloque lineal.

$$G = \begin{bmatrix} g_0 \\ g_1 \\ \vdots \\ g_{k-1} \end{bmatrix} = \begin{bmatrix} g_{0,0} & g_{0,1} & g_{0,2} & \dots & \dots & \dots & g_{0,n-1} \\ g_{1,0} & g_{1,1} & g_{1,2} & \dots & \dots & \dots & g_{1,n-1} \\ \cdot & \cdot & \cdot & \cdot & \cdot & \cdot & \cdot \\ \cdot & \cdot & \cdot & \cdot & \cdot & \cdot & \cdot \\ \cdot & \cdot & \cdot & \cdot & \cdot & \cdot & \cdot \\ g_{k-1,0} & g_{k-1,1} & g_{k-1,2} & \dots & \dots & \dots & g_{k-1,n-1} \end{bmatrix}$$

(1.3)

$$g_i = (g_{i,0} \quad g_{i,1} \quad g_{i,2} \quad \dots \dots \dots g_{i,n-1}) \quad 0 \leq i \leq k-1$$

Esta Matriz Generadora G tiene las siguientes características:

- Genera el subespacio vectorial V_k .
- Esta formada por los elementos de los k vectores linealmente independientes.
- Se puede encontrar diversos conjuntos de vectores linealmente independientes que formen la matriz G , pero sólo algunos de ellos generan códigos buenos.

1.1.1 CODIGO BLOQUE LINEAL SISTEMATICO.

Bajo cierta estructura de la matriz G , es posible obtener que cada palabra código tenga cierta característica como se presenta en la figura 1.1.

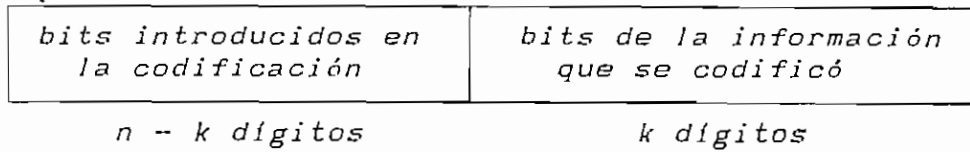


FIGURA 1.1 CODIGO SISTEMATICO

Cuando las palabras código poseen esta característica, al código se lo llama código lineal sistemático.

Esta estructura facilita el proceso de codificación ya que en lugar de calcular los n dígitos de la palabra código, el codificador solo debe calcular $n-k$ dígitos denominados bits de control.

$$G = | P \quad I_k | \quad (1.4)$$

donde:

I_k : Matriz identidad $k \times k$.

P : Matriz de paridad $k \times n-k$.

Para calcular la palabra código v utilizamos la ecuación (1.3).

Una manera de implementar un circuito codificador de un código bloque lineal sería el de almacenar todas las palabras código posibles, las cuales estarían relacionadas a solo una secuencia de mensaje a codificar, sin embargo este método para códigos cuyo

valor de n es demasiado grande, implicaría utilizar gran cantidad de memoria.

Para cualquier matriz $G(k \times n)$ con k filas linealmente independientes, existe una matriz que se la representará por $H((n-k) \times n)$, denominada matriz verificadora de paridad, con $n-k$ filas linealmente independientes tal que cualquier fila en G es ortogonal a cualquier fila de H , es decir:

$$g_i \cdot h_j = 0 \quad (1.5)$$

La matriz H se la encuentra a partir de la matriz G .

$$H = \left[I_{n-k} \quad P^T \right] \quad (1.6)$$

La matriz H genera un código lineal sistemático C_D denominado código dual del código C generado por la matriz G .

Esta propiedad implica que cualquier n -tupla v es una palabra código generado por G si y solo si se cumple la siguiente condición:

$$v \cdot H^T = 0 \quad (1.7)$$

Utilizando esta propiedad se puede comprobar en el receptor si el bloque recibido esta libre de error.

En el receptor, el decodificador realiza el cálculo de la siguiente expresión cuyo resultado se lo conoce como Síndrome, es decir:

$$S = r \cdot H^T \quad (1.8)$$

$$S = (s_0, s_1, \dots, s_{n-k-1})$$

donde S representa el Síndrome.

Se debe tener en cuenta que S es igual a cero si y solo si r es una palabra código y por el contrario es diferente de cero si y solo si r no es una palabra código, por lo que existen errores en el bloque recibido r .

1.1.2 CODIGOS HAMMING.

Este tipo de códigos cíclicos son ampliamente usados debido a la facilidad de implementación de los circuitos codificadores y decodificadores para el control de errores y su característica principal es que pueden detectar tipos de errores con un máximo de dos errores y pueden corregir tipos de errores con un error.

Para cualquier valor entero $m \geq 3$ existe un código lineal con los siguientes parámetros:

longitud del código $n = 2^m - 1$
número de símbolos de información $k = 2^m - m - 1$
número de símbolos verif. paridad $n - k = m$
capacidad de corrección de errores $t = 1, d_{\min} = 3$

Una característica especial de este código es que la matriz verificadora de paridad H contiene como columnas a todos los vectores de m elementos, excepto el vector cero. En forma esquemática, las columnas de H están arregladas de la siguiente forma:

$$H = \left| I_m \quad Q \right| \quad (1.9)$$

donde:

I_m : Matriz identidad $m \times m$.

Q : Matriz transpuesta de la matriz de paridad P , consiste de $2^m - m - 1$ columnas que son las m -tuplas de ancho 2 o más.

m : $n - k$

Un código corrector de t -errores es llamado código perfecto si y sólo si el código corrige no más de t errores en la secuencia de n dígitos. Así, los códigos Hamming forman una clase de códigos perfectos

correctores de simple error. Además de los códigos Hamming, otro código perfecto es el código Golay (23,12).

Podemos eliminar algunas 1 columnas de la matriz verificadora de paridad H de un código Hamming. Resultando una $m \times (2^m - 1 - 1)$ matriz H' .

Usando H' como una matriz chequeadora de paridad, nosotros obtenemos un código Hamming corto con los siguientes parámetros:

longitud del código	$n = 2^m - 1 - 1$
número de símbolos de inf.	$k = 2^m - m - 1 - 1$
número de símbolos verif. paridad	$n - k = m$
distancia mínima	$3 \leq d_{\min}$

Si eliminamos apropiadamente columnas de H , podríamos obtener un código Hamming corto de distancia mínima 4.

Este código Hamming de distancia 4 puede ser usado para corregir todos los patrones de errores de simple error y simultáneamente detecta todos los patrones de errores de doble error.

1.1.3 CODIGOS CICLICOS.

De todos los códigos lineales, los más utilizados son los códigos cíclicos, los cuales son usados más en detección.

Un código lineal $C(n,k)$ se denomina cíclico si con cada desplazamiento circular de un vector código en C se obtiene otro vector también en C . Así, para el vector:

$$v = (v_0, v_1, \dots, v_{n-1})$$

con un desplazamiento hacia la derecha se obtiene un vector que pertenece al código C :

$$v^{(1)} = (v_{n-1}, v_0, v_1, \dots, v_{n-2})$$

Los componentes de v pueden tratarse como coeficientes de un polinomio de grado menor o igual a $n-1$, que se lo conoce como polinomio de código.

$$v(X) = v_0 + v_1X + v_2X^2 + \dots + v_{n-1}X^{n-1}$$

con $v_i = 0$ o 1 .

Los códigos cíclicos son una clase muy importante de los códigos bloque lineales ya que la implementación de los circuitos codificadores y decodificadores resulta ser menos complicada, esto se debe en gran parte a la propiedad cíclica que presentan.

Polinomio Generador.

Todos los polinomios que se pueden formar con todas las palabras código que conforman el código C , forman también un subespacio vectorial y por lo tanto existirá un polinomio que genere dicho espacio vectorial.

Este polinomio representado por $g(X)$ se lo conoce como polinomio generador, de tal manera que:

$$v(X) = u(X) \cdot g(X) \quad (1.10)$$

donde:

$v(x)$: Polinomio de código.

$u(x)$: Polinomio de mensaje.

$g(x)$: Polinomio generador de grado mínimo.

$$g(X) = g_0 + g_1X + g_2X^2 + \dots + g_{r-1}X^{r-1}$$

Propiedades del Polinomio Generador.

- El polinomio generador de grado mínimo de un código cíclico es único.

- En el polinomio generador $g_0 = 1$.

- En un código cíclico (n,k) existe uno y solo un polinomio generador de grado $n-k$.

- El grado del polinomio generador es igual al número de bits de control introducidos en la codificación.

De esta manera el polinomio generador es:

$$g(X) = 1 + g_1X + g_2X^2 + \dots + g_{n-k}X^{n-k}$$

El número de polinomios binarios de grado menor o igual a $n-1$ que son múltiplos de $g(X)$ es igual a 2^{n-k} y son llamados polinomios de código del código cíclico $C(n,k)$.

El código cíclico (n,k) está completamente definido por su polinomio generador de grado mínimo $g(X)$.

De esta forma para que un polinomio de grado menor a $n-1$ sea un código polinomial entonces este polinomio debe ser factor de $g(X)$.

1.1.4 CODIGOS BCH.

El código BCH (Bose - Chaudhuri - Hocquenghem) es quizá el código más importante dentro de la clase de los códigos cíclicos.

Este tipo de códigos son una generalización de los códigos Hamming para la corrección múltiple de errores.

Fueron descubiertos por Hocquenghem (1959) e independientemente por Bose y Chaudhuri (1960) y tienen propiedades especiales para la corrección y algoritmos de decodificación simples.

Para cualquier entero positivo m tal que $m \geq 3$ y cualquier t con $t < 2^{m-1}$ existe un código BCH que tiene los siguientes parámetros:

longitud del bloque	$n = 2^m - 1$
número de dígitos de control	$n - k \leq mt$
distancia mínima	$d_{m,t,n} \geq 2t + 1$

Código Reed - Solomon.

En este tipo de código, cada símbolo puede ser representado por m bits. Estos códigos tienen los siguientes parámetros:

bits por símbolo	m
longitud del bloque	$n = m(2^m - 1)$ bits.
Número de bits de paridad	$n - k = 2mt$ bits.
Distancia mínima	$d = m(2t + 1)$ bits.

Códigos Reed - Solomon son muy adecuados para la corrección de ráfagas de errores.

1.1.5 OTROS CODIGOS BLOQUE LINEALES.

Código Dual.

En los códigos cíclicos se puede encontrar un polinomio $h(X)$ a partir del cual se puede generar un código dual, C_D , al código C generado por $g(X)$.

$$h(X) = (X^n + 1)/g(X) \quad (1.11)$$

de donde:

$$h(X) = h_0 + h_1X + \dots + h_kX^k$$

con $h_0 = h_k = 1$.

$h(X)$ es el polinomio generador de otro código cíclico, denominado código dual.

Código de máxima longitud.

Estos códigos cíclicos poseen los siguientes parámetros:

longitud del bloque	$n = 2^m - 1$
número de bits de información	$k = m$
distancia mínima	$d = 2^m - 1$

Se lo llama también código simplex.

Código de residuo cuadrático.

Las distancias mínimas de estos códigos son comparables a los códigos BCH de distancia semejante.

Los códigos de residuo cuadrático son códigos cíclicos con los siguientes parámetros:

longitud del bloque	$n = p_r$
---------------------	-----------

donde p_r es un número primo de la forma $8m + 1$.

número de bits de información $k = (p + 1).2$
distancia mínima $d > \lfloor n$

Código de repetición.

Es un código muy simple de forma $(n,1)$. En éste, cada uno de los $n-1$ bits de paridad son iguales a los bit de información.

La distancia mínima del código es n y es así que para valores grandes de n el código posee una gran capacidad de corrección de errores, pero su eficiencia es baja.

El número de errores que pueden ser corregidos es:

$$t = (n - 1)/2$$

Código de Golay.

Este código es importante desde el punto de vista de corrección múltiple de errores ($t > 1$), es además un código perfecto. El código de Golay es un código cíclico $(23,12)$ que tiene una distancia mínima de 7 y corrige 3 o menos errores. Relacionado con éste código $(23,12)$ esta el código de Golay $(24,12)$ el cual se lo

obtiene del anterior con la adición de un bit de paridad, tiene una distancia mínima de 8 y también corrige 3 errores.

1.1.6 OBTENCIÓN DE CODIGOS BLOQUE LINEALES EN FORMA SISTEMÁTICA.

Sea $u = (u_0, u_1, \dots, u_{k-1})$ el mensaje a ser codificado, entonces su representación polinomial es la siguiente:

$$u(X) = u_0 + u_1X + \dots + u_{k-1}X^{k-1}$$

Para obtener el polinomio código se multiplica a este polinomio por X^{n-k} :

$$X^{n-k} + u_1X^{n-k+1} + \dots + u_{k-1}X^{n-1}$$

Se divide esta expresión para $g(X)$ de donde se tiene que:

$$X^{n-k}.u(X) = a(X).g(X) + b(X) \quad (1.12)$$

donde:

$u(x)$: Polinomio de mensaje.

$g(x)$: Polinomio generador.

$a(x)$: Cuociente de la división.

$b(x)$: Residuo de la división.

o lo que es lo mismo:

$$b(X) + X^{n-k}.u(X) = a(X).g(X) \quad (1.13)$$

El polinomio representado por $b(X) + X^{n-k}.u(X)$ es un polinomio código, por ser múltiplo de $g(X)$.

Los coeficientes de este polinomio forman el vector de código v :

$$v = (b_0, b_1, \dots, b_{n-k-1}, u_0, u_1, \dots, u_{k-1})$$

Se concluye entonces que los bits de control de un código bloque lineal se obtienen de los coeficientes del residuo que resulta de dividir $X^{n-k}.u(X)$ para $g(X)$.

1.2 PROBABILIDAD DE DECODIFICACION ERRONEA DE LOS CODIGOS BLOQUE LINEALES.

La probabilidad de decodificación errónea es la probabilidad de que los datos decodificados en la recepción sean erróneos, los cuales se deben a que el decodificador no corrigió todos los errores que contenían las palabras código y también se incluye a la probabilidad de no detección de errores debido a

que los errores producidos en el canal ocasionan que la palabra código transmitida sea transformada en otra palabra código que el decodificador la interpretara como palabra recibida correcta y sin errores.

Si C es un código bloque lineal (n, k) y si además definimos a A_i con el número de palabras código de ancho i (palabras código que tienen i elementos diferentes de cero) en C , a los valores A_0, A_1, \dots, A_n toman el nombre de distribución de ancho de Hamming de cada palabra código, del código C .

Cuando un código lineal (n, k) es usado solo para detección de errores sobre un BSC, la probabilidad de no detección de error, $P_u(E)$, puede ser calculada con la siguiente relación¹:

$$P_u(E) = \sum_{i=1}^n A_i p^i (1-p)^{n-i}$$

(1.14)

donde:

$P_u(E)$: Probabilidad de no detección de error.

A_i : Ancho de Hamming de la palabra código i .

p : Probabilidad de transición o de error del canal binario simétrico.

¹ ERROR CONTROL CODING, Lin Shu, pags. 65 y 66

Existe una relación entre la distribución de ancho Hamming de un código lineal y la distribución de ancho de Hamming de su código dual. Esta relación puede facilitar el cálculo de $P_u(E)$. Si la longitud de la palabra mensaje del código k de un código bloque lineal (n, k) es muy grande comparado con la longitud de los bits de paridad $n-k$, se puede realizar el cálculo de $P_u(E)$ utilizando su código dual $(n, n-k)$.

Sean (A_0, A_1, \dots, A_n) y (B_0, B_1, \dots, B_n) las distribuciones de ancho de Hamming del código C y su dual respectivamente. A estas distribuciones de ancho de Hamming se las puede representar en forma polinomial como se indica:

$$A(z) = A_0 + A_1z + \dots + A_nz^n$$

$$B(z) = B_0 + B_1z + \dots + B_nz^n$$

Entonces $A(z)$ y $B(z)$ están relacionadas por la siguiente identidad:

$$A(z) = 2^{-(n-k)} \cdot (1+z)^n \cdot B\left(\frac{1-z}{1+z}\right)$$

(1.15)

Identidad que es conocida como identidad de MacWilliams².

Utilizando esta identidad, se puede calcular la probabilidad de no detección de error, $P_u(E)$, de un código lineal (n, k) con la distribución de ancho de Hamming de su código dual.

A partir de la ecuación (1.14) se puede obtener:

$$P_u(E) = (1 - p)^n \cdot \left[A \left(\frac{p}{1-p} \right) - 1 \right] \quad (1.16)$$

donde:

$$A \left(\frac{p}{1-p} \right) - 1 = \sum_{i=1}^n A_i \cdot \left(\frac{p}{1-p} \right)^i \quad (1.17)$$

considerando que $A_0 = 1$.

Utilizando la ecuación (1.15), identidad de MacWilliams, se tiene:

$$P_u(E) = 2^{-(n-k)} \cdot B(1-2p) - (1 - p)^n \quad (1.18)$$

donde:

$$B(1-2p) = \sum_{i=0}^n B_i (1 - 2p)^i \quad (1.19)$$

Teóricamente, se puede calcular la distribución de ancho de Hamming de un código lineal (n, k) al examinar

cada una de las 2^k palabras código o cada una de las 2^{n-k} palabras código de su dual para aplicar la identidad de MacWilliams.

Para valores grandes de n , k , y $n-k$, el cálculo es prácticamente imposible. Excepto para algunos códigos lineales cortos. Consecuentemente, esta es una gran dificultad para calcular la probabilidad de no detección de error.

Experimentalmente se ha determinado la existencia de códigos bloque lineales cuya probabilidad de error decrece exponencialmente con el número de dígitos de paridad, es decir que existen códigos bloque lineales (n,k) tal que³:

$$P_L(E) \leq 2^{-(n-k)} \quad (1.20)$$

En los códigos Hamming, la distribución de anchos de Hamming es fácilmente determinado. El número de vectores de ancho i , A_i , es simplemente el coeficiente de z^i en la expansión del siguiente polinomio⁴:

$$A(z) = \frac{1}{n+1} \cdot [(1+z)^n + n \cdot (1-z) \cdot (1-z^2)^{(n-1)/2}] \quad (1.21)$$

³ ERROR CONTROL CODING, Lin Shu, pags. 78 y 79

⁴ ERROR CONTROL CODING, Lin Shu, pag. 81

Este polinomio representa la distribución de anchos de Hamming de los códigos Hamming.

Para los códigos dual $(2^m - 1, m)$ de los códigos Hamming, es muy simple determinar la distribución de anchos de Hamming, este consiste de todos los ceros de la palabra código y $2^m - 1$ palabras código de ancho 2^{m-1} . Su polinomio de anchos de Hamming es:

$$B(z) = 1 + (2^m - 1) z^{2^{m-1}} \tag{1.22}$$

La probabilidad de no detección de error, $P_u(E)$, para los códigos Hamming puede ser calculada con:

$$P_u(E) = 2^{-m} [1 + (2^m - 1) (1 - 2p)^{2^{m-1}}] - (1 - p)^{2^{m-1}} \tag{1.23}$$

La probabilidad $P_u(E)$ para estos códigos satisface el límite superior $2^{-(n-k)}$ y es igual a 2^{-m} para $p \leq 1/2$.

El código Hamming C_2 con distancia 4 cuya longitud es $2^m - 1$ consiste de los vectores con ancho par del código Hamming C_1 de distancia 3 y de longitud $2^m - 1$, como sus vectores código. El polinomio de anchos $A_2(z)$ para C_2 puede ser determinado del polinomio de anchos $A_1(z)$ para C_1 . $A_2(z)$ consiste solamente de los términos de potencias pares de $A_1(z)$.

$$A_2(z) = \frac{[A_1(z) + A_1(-z)]}{2} \tag{1.24}$$

entonces:

$$A_2(z) = \frac{1}{2 \cdot (n + 1)} \cdot A' \tag{1.25}$$

donde:

$$A' = [(1 + z)^n + (1 - z)^n + 2 \cdot n \cdot (1 - z^2)^{(n-1)/2}]$$

$$n = 2^m - 1.$$

El dual del código Hamming de distancia 4 es un código cíclico $(2^m - 1, m + 1)$ que tiene las siguiente distribución de anchos de Hamming:

$$B_0 = 1, B_{2^{m-1}-1} = 2^m - 1, B_{2^{m-1}} = 2^m - 1, B_{2^m-1} = 1 \tag{1.26}$$

Si un código Hamming con distancia 4 es usado para detección de errores en un BSC, su probabilidad de no detección de error, $P_u(E)$, puede ser calculada con la siguiente expresión:

$$P_u(E) = 2^{-(m+1)} [1 + 2(2^m - 1)(1-p)(1-2p)^{2^{m-1}-1} + (1-2p)^{2^m-1}] \tag{1.27}$$

Los códigos cíclicos Hamming de distancia 4 satisfacen

las condiciones de borde superior $2^{-(n-k)} = 2^{-(m+1)}$.

Para un código primitivo BCH corrector de t errores usado para la detección de errores en un BSC con probabilidad de transición p y de longitud $2^m - 1$, si el número de dígitos verificadores de paridad es igual a mt y m es mayor que cierta constante $m_0(t)$, el número de vectores código de ancho i satisface las siguientes ecuaciones⁵:

$$A_i = 0 \quad \text{para } 0 < i \leq 2t$$

$$A_i = (1 + \lambda_0 \cdot n^{-1/10}) \binom{n}{i} 2^{-(n-k)} \quad \text{para } i > 2t$$

(1.28)

donde $n = 2^m - 1$ y λ_0 esta limitada por una constante.

Sustituyendo la ecuación (1.28) en la ecuación (1.14), la probabilidad de no detectar error se obtiene con:

$$P_u(E) = (1 + \lambda_0 \cdot n^{-1/10}) 2^{-(n-k)} \sum_{i=2t+1}^n \binom{n}{i} p^i (1-p)^{n-i}$$

(1.29)

y tiene por límite:

$$P_u(E) \leq (1 + \lambda_0 \cdot n^{-1/10}) 2^{-(n-k)} \quad (1.30)$$

Para un código Reed-Solomon, corrector de t errores, de longitud $q - 1$, con símbolos de $GF(q)$, el número de vectores código de ancho de Hamming j es:

$$A_j = \binom{q-1}{j} \sum_{i=0}^{j-2t-1} (-1)^i \binom{j}{i} (q^{j-2t-1} - 1) \quad (1.31)$$

1.3 TASA DE BITS ERRONEOS, BER.

En todo sistema de transmisión de datos por un canal, se tiene que los datos que llegan al receptor pueden contener errores. Un caso ideal sería que los datos que se han enviado se obtengan en el receptor sin necesidad de realizar ninguna corrección.

Debido a la existencia de errores en la secuencia recibida, se hace necesario utilizar diferentes métodos para corregirlos de tal manera que se obtenga alta confiabilidad de la transmisión.

La relación que existe entre el número de bits erróneos respecto al número de bits totales

transmitidos se conoce como tasa de bits erróneos (BER). En una transmisión de datos, este es uno de los parámetro que nos indica la calidad de la transmisión ya que mientras tenga menor valor, el número de bits erróneos es menor.

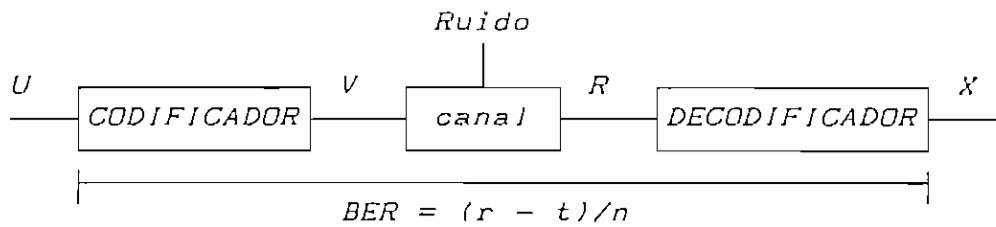


FIGURA 1.2 TRANSMISION DE DATOS A TRAVES DE UN CANAL.

Para el sistema en la figura 1.2, la tasa de bits erróneos en el canal de transmisión equivalente esta dada por $p = r/n$ (BER en la palabra código V) considerando una secuencia de n dígitos de una palabra código de un código (n,k) que corrige t errores, mientras que la probabilidad de error en la palabra mensaje U esta dada por:

$$BER = \frac{r - t}{n}$$

(1.32)

donde:

- r : Número de bits erróneos. $t < r \leq n$
- t : Número de bits que corrige el código.
- n : Número total de bits transmitidos.

1.3.1 RUIDO.

En sistemas de radioenlace, los objetivos de calidad de los sistemas digitales se miden en términos de BER. En el proceso de regeneración se produce la metamorfosis del ruido en errores, por ello en condiciones normales existe una relación matemática estadística entre la BER y la relación entre la potencia de la señal S y la potencia de ruido N , S/N .

En la figura 1.3 se observa la densidad espectral de potencia de ruido en función de la frecuencia y con la temperatura como parámetro (Ley de Planck). Se puede aproximar la curva por dos asíntotas: el ruido térmico que depende linealmente de T (temperatura absoluta en grados Kelvin) y el ruido cuántico que depende linealmente de la frecuencia.

Se puede observar que para $T = 290^\circ K$ el ruido térmico es preponderante frente al cuántico hasta frecuencias del infrarrojo (10^{13} Hz.).

La transmisión por radioenlace esta afectada por el ruido térmico (que es producido por la agitación térmica molecular), así como también las interferencias a nivel de canales digitales.

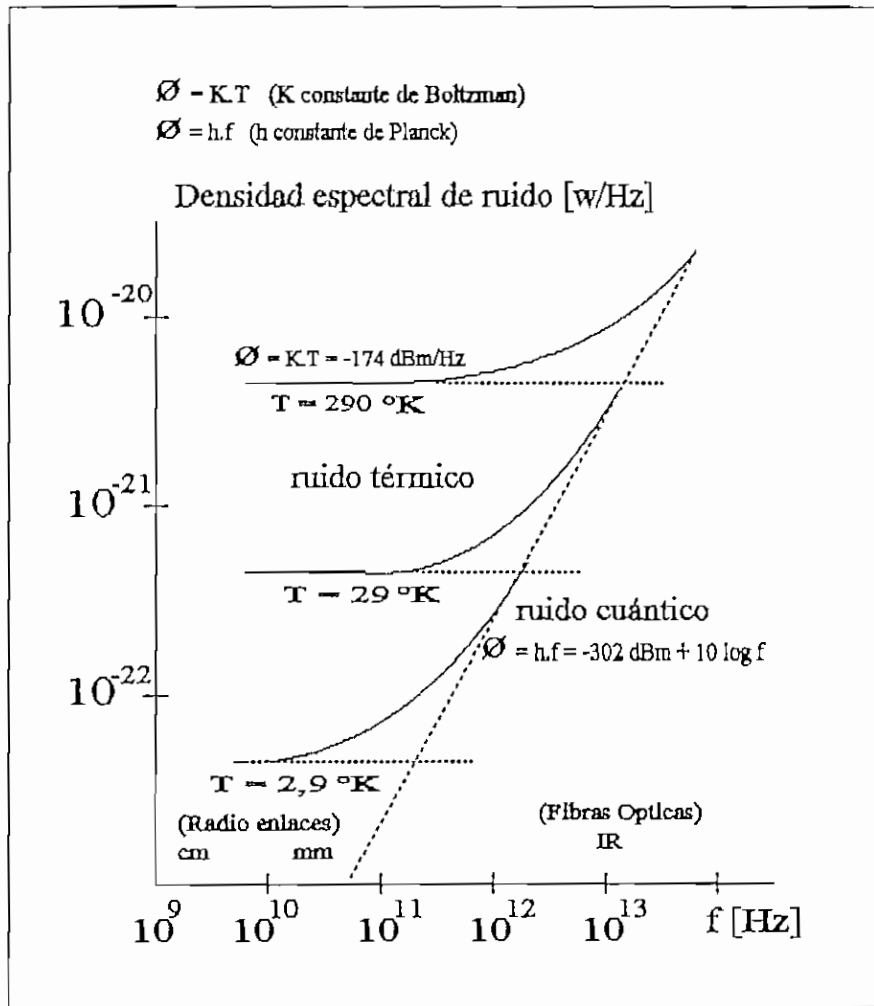


FIGURA 1.3 DENSIDAD DE RUIDO vs. FRECUENCIA.

El ruido térmico que introduce el receptor da lugar al denominado factor de ruido o figura de ruido del receptor, definición que se expresa por la degradación de la señal a ruido y que se relaciona mediante:

$$NF = 1 + (Tr/290) \quad (1.33)$$

donde:

NF : Figura de ruido.

Tr : Temperatura de ruido equivalente del receptor.

El valor de NF se interpreta como los dB que se empeora la S/N en el receptor debido al ruido introducido por el preamplificador.

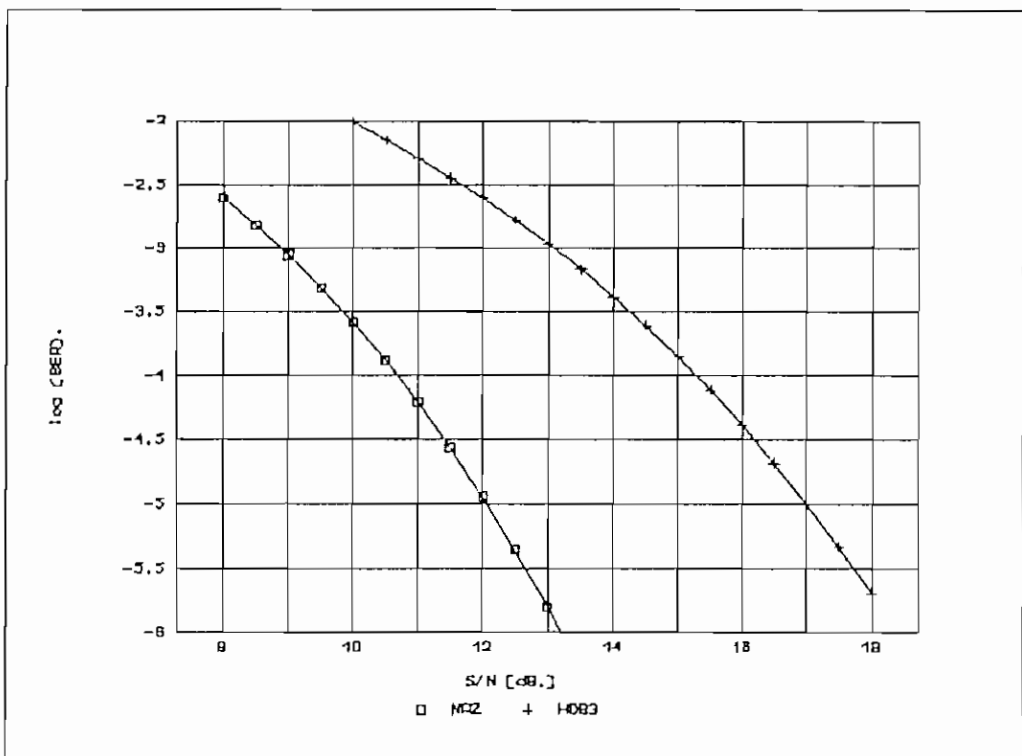


FIGURA 1.4 RELACION BER vs. S/N.

El ruido térmico que tiene una distribución de ruido gaussiano y de fase uniforme se adiciona a la señal

dando lugar a un valor de relación S/N (figura 1.4) y produciendo errores cuando se supera el umbral de decisión.

La probabilidad de error p representa el valor teórico de la BER. Los valores prácticos que vinculan la BER y S/N han sido medidos para transmisiones que utilizan códigos HDB3 y NRZ.

Existe una relación matemática precisa entre la probabilidad de error de los símbolos p_s , el número de niveles de la señal M ($M = 2$ para señal binaria y $p_s = p$) y la relación señal a ruido S/N . Se expresa como:

$$p_s = \left(1 - \frac{1}{M}\right) \operatorname{erfc} \left[\frac{3 \cdot \log_2 M}{M^2 - 1} \cdot W \right]^{1/2} \quad (1.34)$$

donde W es la relación señal a ruido normalizada que se define mediante:

$$W = 10 \log (S/N) \cdot (B_{eq}/R_b) \quad (1.35)$$

B_{eq} es el ancho de banda equivalente de ruido (ancho de banda plano con igual potencia que un ancho de banda gaussiano) y R_b la velocidad binaria de transmisión.

La calidad del canal digital puede medirse en términos de BER pero mas efectivo es utilizando la correlación BER vs. tiempo de duración. Esto se debe por ejemplo, a que una ráfaga de errores puede producir una elevada BER durante un corto período de tiempo y no resulta peligroso.

El ruido se superpone a la señal de impulsos en la banda base, y se producen errores de bits. En la radiocomunicación los ruidos que causan errores de bits se generan principalmente en la banda de frecuencia portadora, por eso hay que tomar en cuenta las relaciones entre los ruidos y la señal de esa banda.

1.4 POTENCIA DE TRANSMISION EN SISTEMAS DE RADIOENLACES DIGITALES CON MODULACION PSK Y QAM MULTINIVEL.

El funcionamiento de extremo a extremo de cualquier enlace de comunicación puede expresarse en términos de la razón de señal sobre ruido (S/N) evaluada en un ancho de banda apropiado, en algún punto del sistema de recepción.

En un sistema analógico en el cual el ancho de banda

del ruido suele ser mayor que el ancho de banda de la señal, a menudo se recurre a la razón promedio de potencia sobre ruido de la portadora (P_r/N), como la S/N de interés particular:

$$\frac{S}{N} = \frac{P_r}{N} = \frac{EIRP (G_r/T_e)}{L_p L_{oe} L_{oi} K B}$$

(1.36)

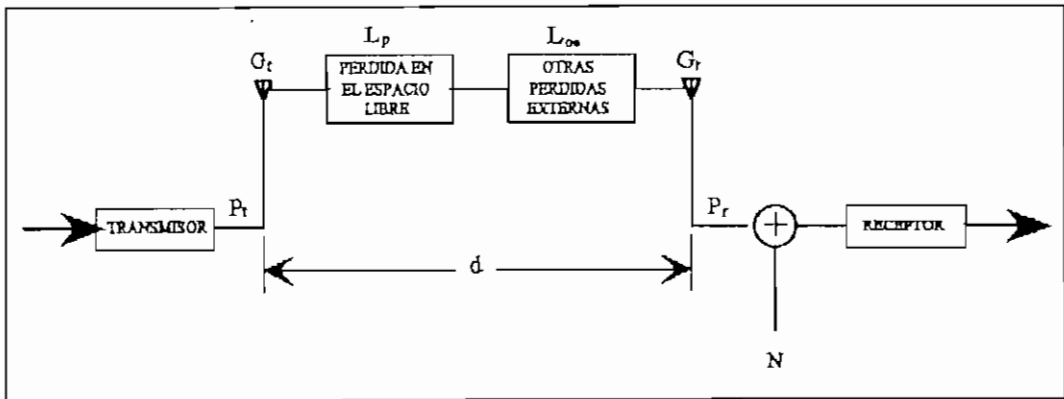


FIGURA 1.5 MODELO SIMPLIFICADO DE UN ENLACE DE COMUNICACIONES

Los diversos parámetros de la ecuación (1.36) pueden definirse con la ayuda del modelo de enlace que se muestra en la figura 1.5.

donde:

P_r : Potencia de la señal recibida en la entrada del detector, watts.

N : $K T_e B$ = Potencia del ruido térmico a la

entrada del detector, watts.

K : *Constante de Boltzmann, 1.38×10^{-23} J/°K.*

T_e : *Temperatura de ruido equivalente del sistema, °K.*

B : *Ancho de banda a la entrada al detector, Hz.*

$EIRP$: $P_t \cdot G_t =$ *Potencia radiada isotrópica equivalente, watts.*

P_t : *Potencia transmitida, watts.*

G_t : *Ganancia de la antena de transmisión.*

G_r : *Ganancia de la antena de recepción.*

G_r/T_e : *Factor de mérito, razón de ganancia sobre temperatura de ruido equivalente del sistema, °K⁻¹.*

L_p : $(4\pi d/\lambda)^2 =$ *Pérdida de espacio libre, d y λ en las mismas unidades.*

- λ : Longitud de onda de la frecuencia del enlace.
- d : Distancia del enlace.
- $L_{o.}$: Otras pérdidas externas = pérdida atmosférica + pérdida por polarización de antena + pérdida por direccionamiento de antena.
- $L_{o.i}$: Otras pérdidas internas = pérdida del circuito de transmisión + pérdida del circuito de recepción + pérdida por ruido de intermodulación.

En un sistema digital en el que el ancho de banda de la señal se considera igual al ancho de banda del ruido, el rendimiento del enlace se expresa en términos de la razón potencia de la señal recibida sobre densidad espectral de ruido (P_r/N_o):

$$\frac{P_r}{N_o B} = \frac{EIRP (G_r/T_r)}{L_p L_{o.} L_{o.i} K B}$$

(1.37)

donde $N_o = N/B$

N_0 :· Densidad espectral de ruido en watts por hertz.

Si se supone que toda la potencia recibida proviene de la señal de modulación (portadora suprimida), entonces es posible evaluar el rendimiento del enlace en términos de la razón de la energía en los bits E_b sobre la densidad espectral de ruido N_0 .

Puede expresarse:

$$\frac{P_r B}{N} = \frac{P_r}{N_0} = \left(\frac{E_b}{N_0} \right) R_b$$

(1.38)

Entonces de las ecuaciones (1.37) y (1.38) se tiene:

$$\frac{E_b}{N_0} = \frac{EIRP (G_r/T_e)}{L_p L_{ca} L_{oi} K R_b}$$

(1.39)

donde R_b es la velocidad de transmisión de datos de información en bits por segundo. Si la potencia de la portadora no es despreciable, aún se puede utilizar la ecuación (1.39), suponiendo que la potencia de la portadora se considera una pérdida en el parámetro L_{oi} . En decibeles, la ecuación (1.39) puede expresarse como:

La cantidad de margen de enlace por utilizar depende de gran medida de la naturaleza estadística del enlace y de la habilidad que se tenga para predecir todas las fuentes de ganancia y pérdida y fenómenos de ruido. En la práctica se han utilizado márgenes de enlace que varían de 0 a 6 dB., lo que refleja la gran variación del nivel de la señal recibida con el cual es posible modelar los diversos enlaces de comunicación.

CAPITULO 11.

CODIGOS BLOQUE LINEALES Y CODIGOS CONVOLUCIONALES.

2.1 COMPARACION ENTRE LOS CODIGOS BLOQUE LINEALES Y LOS CODIGOS CONVOLUCIONALES.

En los códigos bloque lineales, un bloque de k dígitos de datos se codifica mediante una palabra de código de n dígitos ($n > k$). Para cada sucesión de k dígitos de datos, existe una palabra de código distinta de n dígitos.

En los códigos de convolución, la sucesión de n dígitos codificada depende no sólo de los k dígitos de datos sino también de los anteriores $M - 1$ bloques de dígitos de datos ($M > 1$). Por lo tanto, la sucesión codificada para un cierto grupo de k dígitos de datos no es única sino que depende de los $M-1$ dígitos de datos anteriores. En los códigos de bloques, los k dígitos de datos se acumulan y luego se codifican en una palabra de código de n dígitos. En los códigos de convolución, la codificación se lleva a cabo sobre una base continua, en lugar de acumular k dígitos de datos.

Un código convolucional (n, k, M) puede ser implementado con un circuito secuencial lineal de k entradas, n salidas y con memoria de entrada M .

Típicamente n y k son enteros pequeños con $k < n$, pero el orden de la memoria M puede ser largo para tener baja probabilidad de error. En el caso especial cuando $k = 1$, la secuencia de información no es dividida en bloques y puede ser procesada continuamente.

El código convolucional debe su origen al desarrollo de la decodificación secuencial (probabilística) de Wozencraft y de la decodificación por umbral

(realimentación, algebraico) de Massey. El algoritmo de decodificación secuencial de Fano se utilizó en muchas versiones primitivas de decodificadores secuenciales.

Posteriormente aparece la técnica de decodificación con el algoritmo de Viterbi, el cual dio origen al apareamiento de las decisiones por máxima probabilidad.

2.1.1 EFICIENCIA.

La eficiencia de un código bloque lineal (que se conoce también como índice de código) está dado por la siguiente relación:

$$\eta = \frac{k}{n}$$

(2.1)

donde:

η : Eficiencia.

k : Longitud de la palabra mensaje.

n : Longitud de la palabra código.

Este código se conoce como (n, k) . Los dígitos de datos $(u_0, u_1, \dots, u_{k-1})$ son una k -tupla y en consecuencia,

un vector d de k dimensiones. En forma similar, la palabra de código $(v_0, v_1, \dots, v_{n-1})$ es un vector v de n dimensiones.

Para los códigos de convolución k y n son por lo general pequeños, se pueden diseñar para la corrección de errores aleatorios, ráfagas de errores, o ambos.

Un codificador de convolución con restricción de longitud M consta de un registro de corrimiento de M etapas y v sumadores módulo 2. En la práctica, $k \gg M$, en consecuencia hay aproximadamente kv dígitos codificados de salida por cada k dígitos de datos, dando una eficiencia:

$$\eta = \frac{k}{(M + k)v}$$

(2.2)

$$\eta \approx \frac{1}{v}$$

(2.3)

donde:

η : Eficiencia.

k : Longitud de la palabra mensaje.

M : Memoria de entrada del código, longitud de la restricción.

v : Número de sumadores módulo 2.

2.1.2 REDUNDANCIA.

Para los códigos Hamming, si k dígitos de datos se transmiten mediante una palabra de código de n dígitos, el número de dígitos de comprobación o redundancia es $m = n - k$.

Para los códigos primitivos BCH, que corrigen t errores y tienen longitud $n = 2^m - 1$, los dígitos de comprobación o redundancia esta dado por la siguiente relación:

$$mt = n - k$$

(2.4)

donde:

t : Número de errores que corrige el código.

n : Longitud de la palabra código.

k : Longitud de la palabra mensaje.

Para los códigos convolucionales, la redundancia es igual a:

$$kv - k \quad (2.5)$$

donde:

k : Longitud de la palabra mensaje.

v : Número de sumadores módulo 2.

2.1.3 CAPACIDAD DE CORRECCION DE ERRORES.

La información se traduce a secuencias binarias y se transmite vía técnicas de modulación digital. Estas técnicas, si bien son muy eficientes para la transmisión de alta velocidad, sufren del defecto de que si unos pocos bits son recibidos incorrectamente, el mensaje no puede ser traducido al texto original.

Los códigos correctores de errores son usados generalmente para corregir errores donde solamente la transmisión en un sólo sentido es posible.

La información que va a ser transmitida, primero se la transforma en secuencias binarias. Estas secuencias son luego codificadas agregando bits redundantes (control), y la secuencia total de bits de información y control es transmitida.

En el receptor, un decodificador aplica el proceso inverso del algoritmo de codificación para encontrar los errores en la totalidad de información y control. Estos errores son corregidos, y las secuencias de información corregidas son traducidas al texto original.

A) Para los Códigos Bloque Lineales.

Para llegar a una expresión que permita definir la capacidad de un código bloque lineal es necesario definir los siguientes conceptos.

Ancho de Hamming.

Si v es una n -tupla binaria entonces se define el ancho de Hamming de v representado por $w(v)$ como el número de elementos diferentes de cero que tiene v .

Distancia de Hamming.

La distancia de Hamming entre dos palabras código v y w representado como $d(v, w)$ se define como el número de lugares en los cuales ambas palabras código difieren. Este parámetro determina la capacidad de corrección y detección de errores de un código.

La distancia de Hamming es una función métrica que satisface la desigualdad triangular. Sea v , w y x tres vectores o palabras código, entonces:

$$d(v, w) + d(w, x) \geq d(v, x)$$

(2.6)

Con la definición de distancia de Hamming y de la suma en módulo 2 la distancia de Hamming entre dos palabras código, v y w , es igual al ancho de Hamming de la suma

de v y w , es decir:

$$d(v, w) = w(v + w) \quad (2.7)$$

Distancia mínima de Hamming.

La distancia mínima de Hamming de C , d_{\min} , esta definida como:

$$d_{\min} = \min [d(v, w) : v, w \in C, v \neq w] \quad (2.8)$$

Si C es un código bloque lineal, la suma de dos vectores es también otro vector código, por lo tanto,

$$\begin{aligned} d_{\min} &= \min [w(v + w) : v, w \in C, v \neq w] \\ &= \min [w(x) : x \in C, x \neq 0] \end{aligned}$$

$$d_{\min} \triangleq w_{\min} \quad (2.9)$$

donde el ancho mínimo del código lineal C es:

$$w_{\min} \triangleq \min [w(x) : x \in C, x \neq 0] \quad (2.10)$$

Cuando un vector v es transmitido a través de un canal con ruido, si en el vector r recibido existen l

errores, entonces r difiere del vector transmitido en 1 lugares, obteniéndose que $d(v,r) = 1$.

Un código bloque lineal con distancia mínima $d_{mín}$ es capaz de detectar todos los errores con $d_{mín} - 1$, o menores, sin embargo puede darse la posibilidad de que pueda detectar algunos con $d_{mín}$ o más errores.

En general un código bloque lineal (n,k) es capaz de detectar $2^n - 2^k$ secuencias erróneas de longitud n , denominados errores detectables.

El número de tipos de errores que puede corregir un código esta íntimamente relacionado con el número de síndromes diferentes que puede generar un decodificador, ya que cada valor de síndrome esta asociado con un tipo de error diferente. El tipo de error es una palabra de longitud n , la cual sumada a la palabra código recibida r (de longitud n) que tiene error da por resultado la correcta palabra código transmitida v . El tipo de error se lo puede obtener a partir de la ecuación (1.8) como se indica a continuación:

$$S = r \cdot H^T$$

$$S = (e + v) \cdot H^T$$

$$S = e \cdot H^T + v \cdot H^T$$

Aplicando la ecuación (1.7) se tiene:

$$S = e \cdot H^T \quad (2.11)$$

donde:

S : Síndrome.

e : Tipo de error.

H^T : Transpuesta de la matriz verificadora de paridad.

Un código bloque con distancia mínima d_{min} garantiza la corrección de todos los tipos de errores de¹:

$$t = (d_{min} - 1)/2, \text{ o menos errores.} \quad (2.12)$$

Este parámetro es llamado capacidad de corrección de errores aleatorios del código.

Un código bloque con capacidad de corrección de errores aleatorios t es usualmente capaz de corregir algunos tipos de errores de $t + 1$ o más errores. Un código lineal (n, k) corrector de t errores, es capaz de corregir un total de 2^{n-k} tipos de errores incluyendo aquellos con t o menos errores.

Si un código bloque (n, k) corrector de t errores es

¹ ERROR CONTROL CODING, Lin Shu, pag. 67.

Folleto de TEORIA DE LA INFORMACION Y CODIFICACION, Ing. Carlos Egas, pag. 46.

estrictamente utilizado para corregir en un BSC con probabilidad de transición p , la probabilidad que el decodificador cometa una decodificación errónea (probabilidad de error en la palabra mensaje) tiene como borde superior:

$$P(E) \leq \sum_{i=t+1}^n \binom{n}{i} p^i (1-p)^{n-i}$$

(2.13)

donde:

$P(E)$: Probabilidad que el decodificador cometa una decodificación errónea.

n : Longitud de la palabra código.

t : Número de errores que corrige el código.

p : Probabilidad de transición del BSC.

Otra forma de corregir errores es mediante el diseño de un código para detectar (no para corregir) hasta t errores. Cuando el receptor detecta un error, solicita retransmisión. Ya que la detección de errores requiere de menos dígitos de comprobación, estos códigos operan con mayor eficiencia.

Para detectar t errores, las palabras de código deben estar separadas una distancia de Hamming de no más de $t+1$. Supongamos que una palabra de código transmitida v_j tiene un número α de errores ($\alpha \leq t$); entonces la

En el código Gallager adaptivo la operación del codificador es similar a la descrita para la técnica Massey.

El decodificador de un código Gallager corrige ráfagas de hasta $2b$ bits (b pares de información y paridad). El código Gallager es capaz de corregir ya sea errores aleatorios como errores tipo ráfaga.

El peor de los errores, si una ráfaga ocurre en el lugar en el que el código está buscando un espacio de guardia, no solamente que la ráfaga en el decodificador no será corregida, sino que la ráfaga que ingresa se proyectará hacia adelante, generándose así nuevos errores y la ráfaga no puede corregirse.

Por lo tanto, el código Gallager puede emplearse con más éxito en canales donde los errores ocurran en ráfagas densas con espacios de guardia libres de errores.

El algoritmo de Viterbi es utilizado en numerosas aplicaciones en sistemas de comunicaciones, es particularmente útil en transmisiones de datos de alta velocidad, donde existen muchos errores.

procedimientos de codificación, el control de errores híbrido exhibe las ventajas de ambos y las desventajas de ninguno.

En un ambiente de error aleatorio, el código corrector de errores brindará corrección de errores dentro del código y la retransmisión eliminará cualquier error residual.

En un ambiente de ráfagas de error de alta densidad la retransmisión se utilizará para la corrección de errores, y el control de errores con códigos correctores elimina los errores en los intervalos entre ráfagas.

Si la densidad de errores en ráfagas aumenta hacia un nivel extremadamente alto y las ráfagas se hacen excesivamente largas, o si errores aleatorios ocurren con tasa de error más alta que un umbral (porcentaje de bits de error corregible) derivados del código, el sistema entra en retransmisión continua y fallará.

En falla, el código corrige un insuficiente número de errores y la longitud de la ráfaga excede la longitud del bloque, causando retransmisión continua.

El desempeño de este sistema híbrido esta descrito por la siguiente ecuación de eficiencia de transmisión.

$$E = \frac{\text{Información a ser transmitida (segundos)}}{\text{Tiempo total de operación (segundos)}}$$

$$E = \frac{I}{I(1 + R_d + R_c) + I_r(1 + R_d + R_c) + D_T}$$

(2.15)

donde:

- E : Eficiencia de transmisión
- I : Información a ser transmitida (segundos), igual a datos (bits) por tasa de datos (bits/seg).
- R_d : Redundancia de detección de errores, igual a la relación de paridad de detección con respecto a los bits de información.
- R_c : Redundancia de corrección de errores, igual a la relación de paridad de corrección con respecto a la paridad de detección y a los bits de información.
- I_r : Información rechazada (segundos).
- D_T : Tiempo de retardo (segundos), igual al producto del retardo del control de errores (1 + mensajes transmitidos) (segundos) por sistemas interrumpidos.

Si el sistema opera como un sistema continuo:

D_T = Retardo de control de error.

Si no hay retransmisiones:

$$E = \frac{I}{I(1 + R_d + R_c) + D_T}$$

(2.16)

ya que $I_r = 0$.

En el caso en que D_T es despreciable comparable con I y no hay retransmisiones:

$$E = \frac{I}{I(1 + R_d + R_c)} = \text{eficiencia del código híbrido}$$

(2.17)

Si $D_T = 0$, o $D_T \ll I$, la eficiencia es independiente de I y de la tasa de datos. De este modo, es posible considerar la eficiencia como la tasa efectiva $1/(1+R)$ del sistema híbrido.

La tasa efectiva es siempre menor que la tasa del código.

La cercanía de E hacia la tasa del código actúa como un criterio de desempeño del sistema.

2.2 CALCULO DE $P_u(E)$ PARA LOS CODIGOS BLOQUE LINEALES, ALGORITMO Y PROGRAMA.

La probabilidad de no detección de error $P_u(E)$ para un canal binario simétrico BSC utilizando códigos bloque lineales, en forma general, se la calcula con la ecuación (1.14) y que se la indica a continuación:

$$P_u(E) = \sum_{i=1}^n A_i p^i (1-p)^{n-i}$$

donde:

- A_i : Número de palabras código de ancho i , distribución de ancho del código.
- p : Probabilidad de transición del canal binario simétrico.
- n : Longitud de la palabra código.

Para el cálculo de $P_u(E)$ con el código dual, se utiliza las ecuaciones (1.18) y (1.19) obteniéndose:

$$P_u(E) = 2^{-(n-k)} \left[\sum_{i=0}^n B_i (1-2p)^i \right] - (1-p)^n$$

(2.18)

donde:

- k : Longitud de la palabra mensaje.

B_i : Número de palabras código de ancho i ,
distribución de anchos del código dual.

2.2.1 CALCULO DE LA DISTRIBUCION DE ANCHO DEL CODIGO (n,k) O SU DUAL $(n,n-k)$.

Uno de los parámetros importantes para el cálculo de la probabilidad de no detección de error, $P_u(E)$, es la Distribución del Ancho del Código, A_i (B_i si es dual).

El tipo de codificación a utilizarse es de la forma sistemática, ya que de esta manera se puede distinguir fácilmente cual es la parte de los bits de paridad y cual la de los bits de mensaje.

El cálculo de la Distribución de Ancho de los Códigos Bloque, se realiza utilizando los polinomios generadores de los códigos primitivos binarios BCH².

Los coeficientes de estos polinomios generadores se encuentra agrupados en forma octal, por lo que para su mejor manejo se ha realizado un reagrupamiento en forma hexadecimal.

² ERROR CONTROL CODING, Lin Shu, Appendix C. Polinomios Generadores de Códigos Primitivos Binarios BCH de longitud de hasta $n = 2^{10} - 1$, presentados en forma octal.

Por ejemplo, para el código (63,45), el polinomio generador en forma hexadecimal (Anexo II.1) es:

7 8 2 C F

expandiendo esto en código binario, se tiene

0111 1000 0010 1100 1111

El polinomio generador es:

$$g(X) = X^{10} + X^{17} + X^{16} + X^{15} + X^9 + X^7 + X^6 + X^3 + X^2 + X + 1$$

Utilizando un programa auxiliar, *COE_HEXA.BAS*, se puede realizar el proceso indicado anteriormente, es decir únicamente reagrupar los coeficientes de los polinomios generadores. Este programa una vez ejecutado almacena los resultados en el archivo *TIPO_COD.TBL* (Anexo II.1), y por lo tanto ya no es necesario repetirlo. Como información, el listado de este programa en QBasic se encuentra en el Anexo I.1.

Para un código (n,k) o su dual $(n,n-k)$ se puede calcular la distribución de ancho creando todas las palabras binarias de longitud k , $n-k$ para el dual, para luego codificarlas y determinar el ancho de cada una de estas palabras código, es decir contabilizar el

número de 1's que posee dicha palabra código. Se obtiene luego el número de palabras que tienen el mismo ancho i , A_i o B_i .

Esto no es complicado pero si muy extenso si se trata de realizarlo manualmente, por lo que para facilitar el cálculo con los diferentes códigos, se ha desarrollado un programa en computador, ANCH_BLQ.BAS, que permite este cálculo. El diagrama de flujo se lo presenta en la figura 2.1 y su listado en QBasic en el Anexo I.2.

Es necesario indicar que se utiliza el cálculo a partir del código dual cuando para un código (n, k) , el valor de $n-k$ es menor que k . De darse este caso, el programa calcula el polinomio generador del código dual.

La secuencia que sigue el programa de la figura 2.1 es la siguiente:

Previamente son almacenados en los vectores $N()$, $K()$, $T()$ y $G1\$(())$ cada uno los valores de n , k , t y los coeficientes del polinomio generador representados como una sola palabra, estos elementos se los toma del archivo TIPO_COD.TBL.

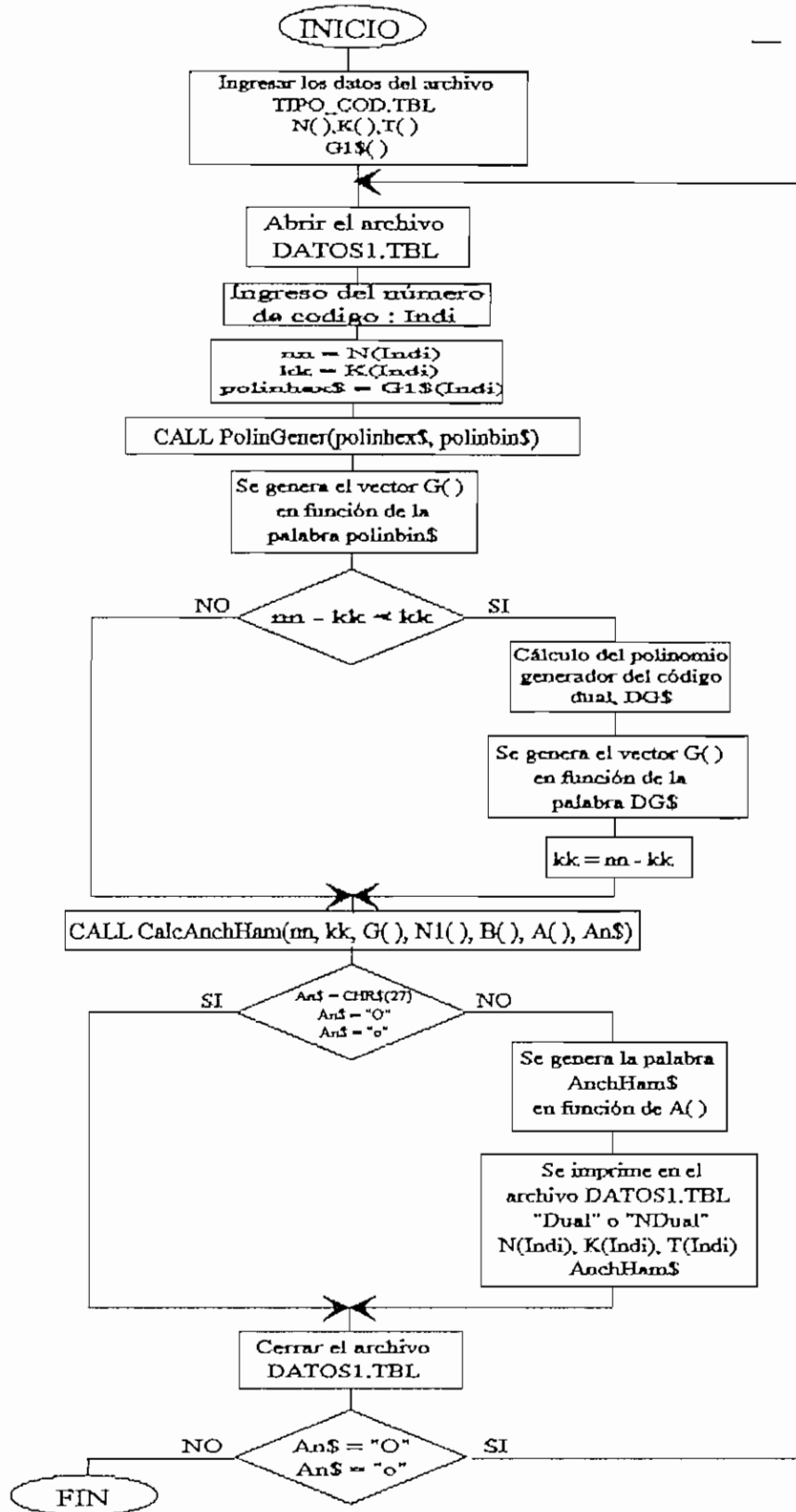
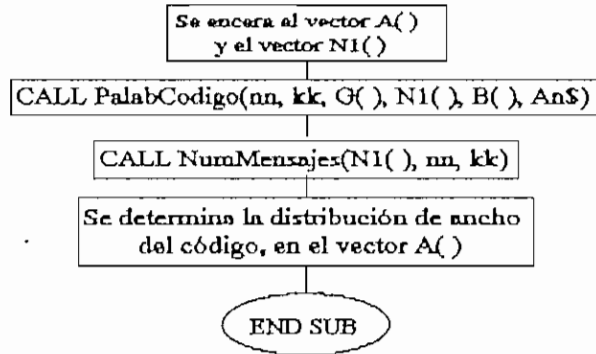
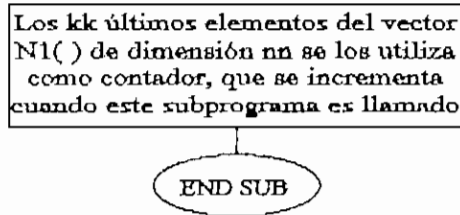


FIGURA 2.1 DIAGRAMA DE FLUJO DEL PROGRAMA QUE PERMITE CALCULAR LA DISTRIBUCION DE ANCHO DE CODIGO.

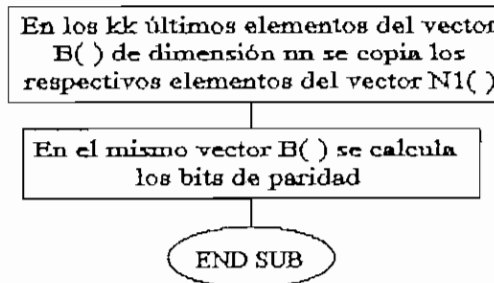
SUB CalcAnchHam(nn, kk, G(), N1(), B(), A(), An\$)



SUB NumMensajes(N1(), nn, kk)



SUB PalabCodigo(nn, kk, G(), N1(), B(), An\$)



SUB PolinGener(polinhex\$, polinbin\$)

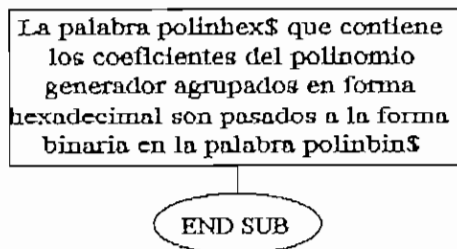


FIGURA 2.1 CONTINUACION...

Se tiene en cuenta la ubicación de los parámetros de cada código en los respectivos vectores, por ejemplo $N(i)$, $K(i)$, $T(i)$, $G1\$(i)$ donde i representa la ubicación de los parámetros n , k , t y los coeficientes del polinomio generador para un determinado código en el archivo TIPO_COD. Esto permite que la utilización del programa pueda interrumpirse en determinado código y luego se pueda continuar desde el siguiente código o cualquier otro.

Se requiere de tres subprogramas principales que son:

- SUB CalcAnchHam
- SUB PalabCodigo
- SUB NumMensajes

cuyas características se describen a continuación.

Subprograma CalcAnchHam.—

Este subprograma determina el ancho de Hamming de las palabras código y a la vez el número de palabras que tienen el mismo ancho de Hamming. Se inicia con la palabra mensaje donde sus bits son todos 0.

Utiliza los otros dos subprogramas en forma simultánea, primero el subprograma PalabCodigo y en forma consecutiva NumMensajes.

Los resultados son almacenados en el vector $A()$, para luego todo el vector ser agrupado en una sola palabra, $AnchHam\$$.

Subprograma PalabCodigo.-

En este subprograma se realiza la codificación en forma sistemática de las palabras de mensaje que son generadas en el subprograma $NumMensajes$. Es decir, utilizando el polinomio generador se calcula los bits de paridad de longitud $n-k$, que se juntan a los bits de mensaje.

Subprograma NumMensajes.-

Aquí se generan todas las posibles palabras mensaje de longitud k o $n-k$ para el código dual, que se van a codificar. El número total de palabras de mensaje generados es 2^k (2^{n-k} para el código dual).

La característica principal de esta subrutina es su estructura, ya que simula un contador de bits, de esta manera se genera en forma sencilla y ordenada todas las posibles palabras de longitud k o $n-k$.

La determinación de la distribución de los anchos de Hamming se realiza en forma continua de todos los códigos que contiene el archivo $TIPO_COD.TBL$, pero

debido a la utilización prolongada de tiempo en computador por códigos cuya longitud de las palabras mensaje son muy largas, se ha probado para algunos códigos con valores pequeños de k o de $n-k$, hasta un máximo 16 bits, con los que se obtienen resultados en un tiempo razonable. Por ejemplo para el código (63,45) el tiempo de utilización del computador 386 de 40 MHz y coprocesador matemático, supera las 24 horas.

Cabe notarse que el programa ha sido desarrollado en una forma general para todos los Códigos Bloque Lineales, por lo que es posible su ejecución en un computador de alta velocidad de resolución.

Para los códigos BCH que corrigen 2 ó 3 errores, donde $n = 2^m - 1$, y m toma los siguientes valores³:

- para los códigos que corrigen 2 errores:

m impar mayor o igual a 3.

m par mayor o igual a 4.

- para los códigos que corrigen 3 errores:

m impar mayor o igual a 5.

m par mayor o igual a 6.

se ha desarrollado un programa, ANCH_BCH.BAS, en el que se utiliza relaciones matemáticas que han sido determinadas y tabuladas para los casos anteriores que

permiten calcular la distribución de ancho de su respectivo código dual. En el Anexo I.3 se presenta el listado de este programa en QBasic.

Los resultados de los programas ANCH_BLQ.BAS y ANCH_BCH.BAS son almacenados en los archivos DATOS1.TBL (Anexo II.2) y DATOS2.TBL (Anexo II.3). Utilizando el programa UNIFICA.BAS estos archivos son agrupados y ordenados en forma ascendente del valor de las longitudes de las palabras código n formándose grupos que contienen éste mismo valor y en los que también se ha realizado un ordenamiento en forma ascendente de acuerdo al número de errores que corrige t . El listado de este programa en QBasic se presenta en el Anexo I.4, mientras que los resultados son almacenados en el archivo TIP_COD1.TBL. La tabla 2.1 presenta algunos resultados que están en el archivo TIP_COD1.TBL.

Se puede apreciar que para cada código se tiene un orden de almacenamiento como se indica a continuación:

- Indicativo si se utilizó el dual "Dual" o no "NDual" para el cálculo de la distribución de anchos del código.
- Código bloque lineal (n, k, t) utilizado.
- Vector con la distribución de anchos de Hamming.

TABLA 2.1 DISTRIBUCION DE ANCHOS DE LOS CODIGOS
BLOQUE LINEALES.

Dual
7 4 1
1 0 0 0 7 0 0 0

Dual
15 11 1
1 0 0 0 0 0 0 0 15 0 0 0 0 0 0 0

NDual
15 7 2
1 0 0 0 0 18 30 15 15 30 18 0 0 0 0 1

NDual
15 5 3
1 0 0 0 0 0 0 15 15 0 0 0 0 0 0 1

Dual
31 26 1
1 0 31 0 0 0 0 0 0 0 0 0 0 0 0 0 0 0 0 0 0

Dual
31 21 2
1 0 0 0 0 0 0 0 0 0 0 0 0 0 31 0 0 0 527 0 0 0 186 0 0 0 0 0 0 0 0 0 0 0 0 0 0 0

Dual
31 16 3
1 0 0 0 0 0 0 0 465 0 0 0 8680 0 0 0 18259 0 0 0 5208 0 0 0 155 0 0 0 0 0 0 0 0 0

NDual
31 11 5
1 0 0 0 0 0 0 0 0 0 186 31 0 0 0 527 527 0 0 31 186 0 0 0 0 0 0 0 0 0 0 0 1

NDual
31 6 7
1 0 31 31 0 0 0 0 0 0 0 0 0 0 0 0 0 1

Los resultados de otros códigos que ha sido posible obtener su distribución de anchos, con cualquiera de los programas (ANCH_BLQ.BAS o ANCH_BCH.BAS), se encuentran tabulados en el Anexo II.4. Al igual que en los resultados presentados en la Tabla 2.1, se

mantienen el mismo orden de almacenamiento.

2.2.2 PROGRAMA PRINCIPAL.

Cuando ya se tiene determinado los valores de la distribución de ancho del código, se puede proceder al cálculo de la probabilidad de no detección de error $P_u(E)$ respecto la probabilidad de transición de un canal BSC p , utilizando las relaciones generales anteriormente indicadas y considerando el canal binario simétrico que se presenta en la figura 2.2.

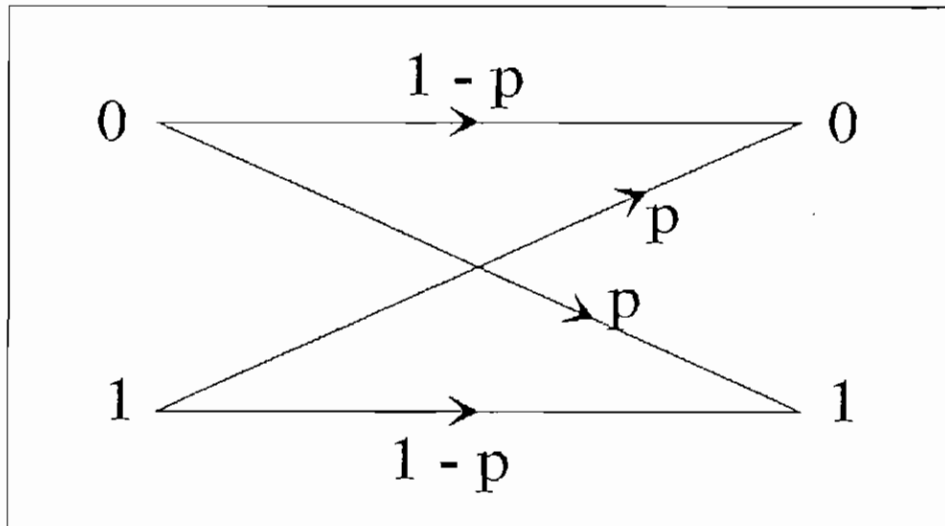


FIGURA 2.2 CANAL BINARIO SIMETRICO, BSC

Para mejor comprensión del comportamiento de $P_u(E)$, los resultados son obtenidos en forma gráfica.

Se ha desarrollado un programa general, denominado *PROGRAMA PRINCIPAL*. En este programa, se puede realizar la codificación en forma sistemática de un mensaje, para cualquier código bloque lineal, la obtención de la probabilidad de no detección de error $P_u(E)$ respecto de p y la obtención de la probabilidad de error en el mensaje $P(E)$ respecto de la probabilidad de error en los bits p (que representa el valor teórico de la *BER*), para el *BSC* de la figura 2.2. En el Anexo I.5, se detalla el listado en *QBasic* de éste programa.

La figura 2.3 presenta el diagrama de flujo del programa principal, en el que se puede apreciar la utilización de los datos de los anteriores programas.

En el diagrama de flujo de la figura 2.3, el programa presenta cuatro opciones, las mismas que se encuentran distribuidas en un *Menú Principal* que permiten una mejor utilización.

MENU PRINCIPAL

- 1 --> Tipos de Códigos (n, k)
- 2 --> Codificación Sistemática
- 3 --> Gráficos
- 4 --> Salir del programa

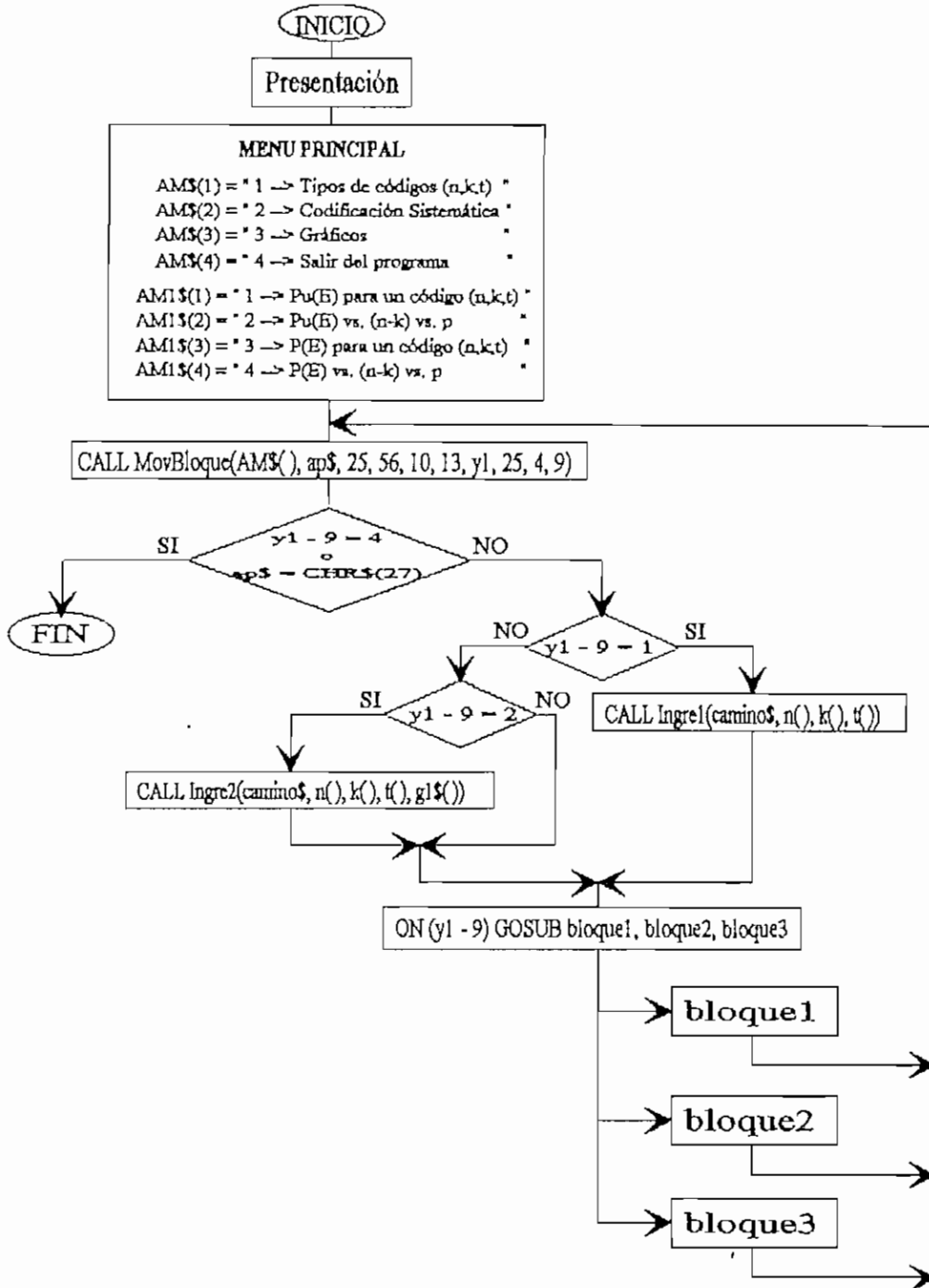
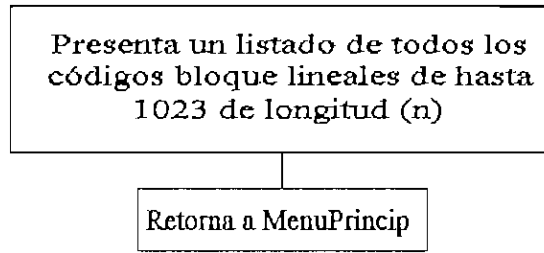
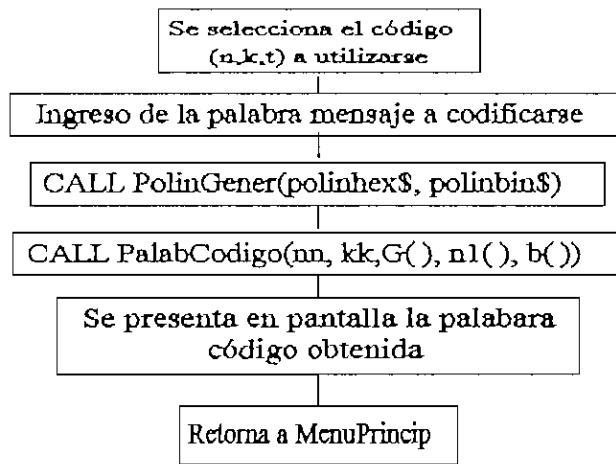


FIGURA 2.3 DIAGRAMA DE FLUJO DEL PROGRAMA PRINCIPAL.

SUBROUTINA bloque1



SUBROUTINA bloque2



SUBROUTINA bloque3

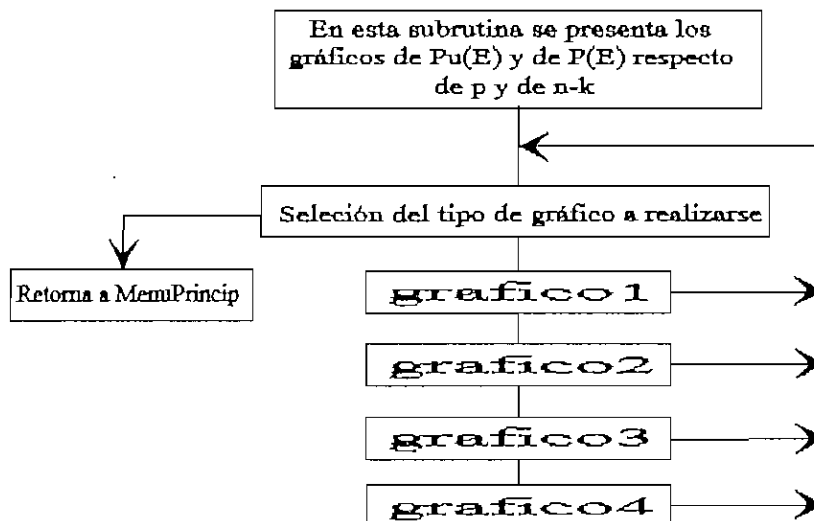
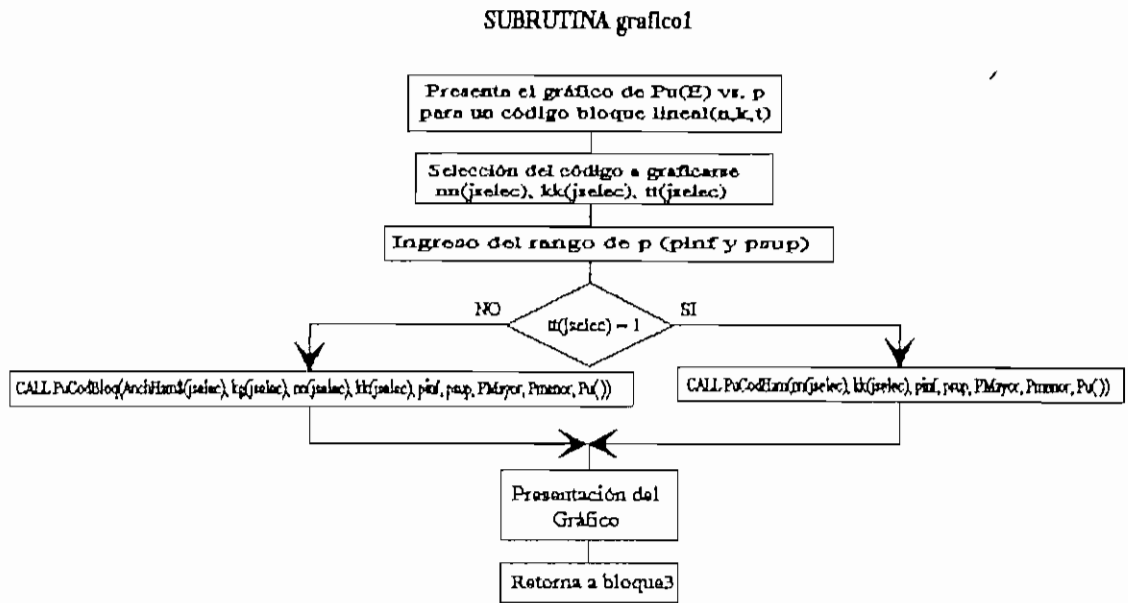
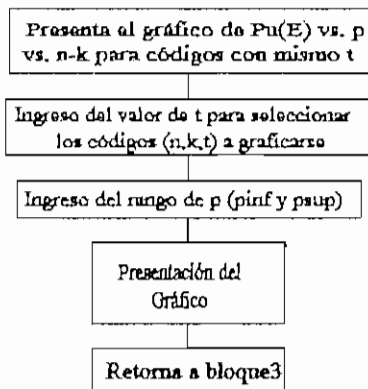


FIGURA 2.3 CONTINUACION...



SUBROUTINA grafico2



SUBROUTINA grafico3

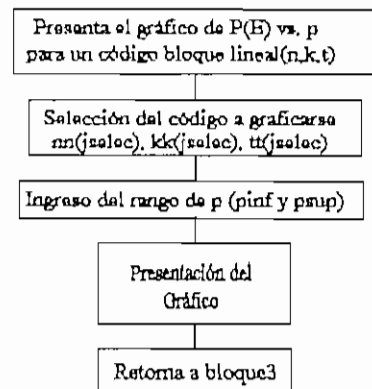
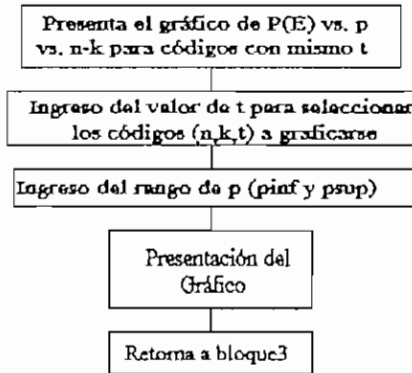
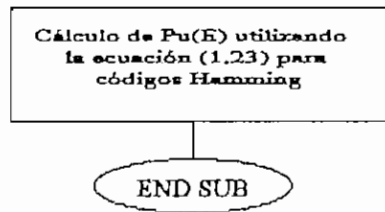


FIGURA 2.3 CONTINUACION...

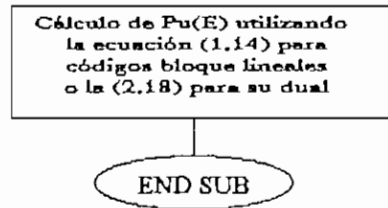
SUBROUTINA grafico4



SUB PuCodHam($nn, kk, plnf, psup, PMayor, PMenor, Pu()$)



SUB PuCodBloq($DistAnch$, dualid$, nn, kk, plnf, psup, PMayor, PMenor, Pu()$)



Los subprogramas: PolinGener() y PalabCodigo(), ya se indican en la figura 2.1

FIGURA 2.3 CONTINUACION...

Las tres primeras opciones del Menú Principal representan tres subrutinas principales del programa, dejando la cuarta opción para finalizar y salir.

1 --> Tipos de Códigos (n, k)

En esta subrutina se realiza la presentación del listado de los diferentes códigos existentes, el mismo que se encuentra dividido en tres páginas y ordenados en forma ascendente de n . Cada página cuenta con cuatro columnas de códigos (n, k, t) . Se debe recordar que son de longitud de hasta $n = 2^{10} - 1$

2 --> Codificación Sistemática

Realiza la codificación en forma sistemática utilizando cualquiera de los códigos enunciados en la opción anterior.

Los pasos a seguir en esta parte del programa son:

- Se escoge el tipo de código (n, k, t) a ser utilizado.

- El programa requiere la palabra a codificar, indicando en pantalla el número máximo de bits (1's o 0's) que debe tener la misma de acuerdo al código.

- Se utiliza un subprograma denominado *PalabCodigo* de la que se obtiene la palabra código final y se la presenta en la pantalla.

3 --> Gráficos

Debido a que se tiene varias opciones de gráficos, se presenta un submenú el cual ayuda a clasificarlas.

- $P_u(E)$ para un código (n, k, t) .

Se obtiene los gráficos de $P_u(E)$ vs. la probabilidad de transición del BSC, p . Se utiliza datos previamente calculados de los anchos de Hamming (ver 2.2.1) para algunos códigos que son posibles de calcular y que se encuentran almacenados en el archivo *TIP_COD1.TBL*.

Estos valores de anchos de Hamming son recuperados a un solo vector denominado *AnchHam\$()* cuya selección esta a la par con el código escogido para graficar su $P_u(E)$ vs. p .

Una vez seleccionado el código a graficarse se presenta un submenú en el que se detalla el código escogido y requiere el ingreso del rango de probabilidad de transición del BSC, p , en el que se va a graficar es decir:

$$0 \leq p_{inf} < p_{sup} \leq 1$$

donde:

p_{inf} : representa el valor de la probabilidad inicial para realizar el gráfico.

p_{sup} : representa el valor de la probabilidad final para realizar el gráfico.

Ingresados estos datos se procede a calcular, para cincuenta valores de p , comprendidos en el rango, $P_u(E)$ y que son almacenados en un vector, con el que se realiza el gráfico.

- $P_u(E)$ vs. $(n-k)$ vs. p .

En esta parte del programa se realiza gráficos en los que se agrupa las curvas que se obtienen de $P_u(E)$ vs. p para los códigos que corrigen el mismo número de errores t en función del valor de $n-k$. Se utiliza el mismo procedimiento indicado anteriormente, pero se incluye el agrupamiento, estos gráficos se lo presenta en un sistema tridimensional.

- $P(E)$ para un código (n, k, t) .

El programa incluye también los gráficos de la probabilidad de error en la palabra mensaje $P(E)$ como función de la probabilidad de error en los bits (probabilidad de transición del BSC) p , para un BSC.

La probabilidad de error en la palabra mensaje, $P(E)$, en un canal binario simétrico BSC (figura 2.2), utilizando códigos bloque lineales, en forma general se calcula utilizando la siguiente expresión:

$$P(E) = \sum_{i=t+1}^n \binom{n}{i} p^i (1-p)^{n-i}$$

(2.19)

donde:

- $P(E)$: Probabilidad de error en la palabra mensaje.
- p : Probabilidad de error en los bits (probabilidad de transición del canal binario simétrico)
- n : Longitud de la palabra código.

Para efectuar estos gráficos se utiliza los valores de las combinaciones $\binom{n}{i}$ para valores de $t+1 \leq i \leq n$. En

vista de que se trata de una combinación binomial, se calcula para valores de i que van desde 2 hasta el valor de la parte entera de $n/2$ con el programa auxiliar COMBINA.BAS. La tabla 2.2 presenta los resultados para los códigos con valores de n igual a 7, 15, 31, para los otros valores de n (63, 127, 255, 511 y 1023) incluyendo estos, son almacenados en el

archivo DATCOMBI.TBL. Este cálculo se lo ha realizado previamente para dar mayor agilidad a los resultados finales que interesa.

TABLA 2.2 VALORES DE LAS COMBINACIONES $\binom{n}{i}$

$i = 2, 3, \dots, n/2$, PARA VALORES DE n
7, 15 Y 31.

n	Valores de $\binom{n}{i}$ donde: $i = 2, 3, \dots, n/2$
7	21 35
15	105 455 1365 3003 5005 6435
31	465 4495 31465 169911 736281 2629575 7888725 20160075 44352165 84672315 141120525 206253075 265182525 300540195

Una vez seleccionado el código a graficarse se presenta un submenú en el que se detalla el código escogido y requiere el ingreso del rango de probabilidad p , en el que se va a graficar es decir:

$$0 \leq p_{inf} < p_{sup} \leq 1$$

donde:

p_{inf} : representa el valor de la probabilidad inicial para realizar el gráfico.

p_{sup} : representa el valor de la probabilidad final para realizar el gráfico.

Ingresados estos datos se procede a calcular, para cincuenta valores de p comprendidos en el rango, $P(E)$ y que son almacenados en un vector, con el que se realiza el gráfico.

— $P(E)$ vs. $(n-k)$ vs. p .

En igual forma que la opción 2 de gráficos, esta parte del programa agrupa las curvas de $P(E)$ vs. p para los códigos que corrigen el mismo número de errores t , en función de $n-k$. El procedimiento a seguirse es el mismo indicado anteriormente, pero se incluye el agrupamiento de las curvas, estos gráficos se lo presenta en un sistema tridimensional.

2.3 RELACION ENTRE $P_u(E)$, n , k , BER.

Considerando el sistema de la figura 2.2, se pueden obtener las siguientes relaciones tanto de la probabilidad de no detección de error $P_u(E)$, la probabilidad de error en la palabra mensaje $P(E)$ y los parámetros de los códigos.

Para determinar la relación que existe entre la probabilidad de no detección de error $P_u(E)$ con la longitud de la palabra código n , con la longitud de la palabra mensaje k y con la tasa de bits erróneos BER

para un canal binario simétrico BSC, utilizando códigos bloque lineales, figura 2.2. Se buscará primeramente la relación que hay entre $P_u(E)$ con n y k , luego la relación entre BER con n y k y como influyen la codificación en los sistemas de comunicación.

Relación de $P_u(E)$, n , k .

La probabilidad de no detección de errores para un canal binario simétrico BSC (figura 2.2), utilizando códigos bloque lineales, en forma general se calcula utilizando la ecuación (1.14):

$$P_u(E) = \sum_{i=1}^n A_i \cdot p^i \cdot (1-p)^{n-i}$$

donde:

$P_u(E)$: Probabilidad de no detección de errores.

A_i : Número de palabras código con ancho de Hamming i .

p : Probabilidad de transición del canal binario simétrico.

n : Longitud de la palabra código.

Mientras que para el cálculo de $P_u(E)$ con el código dual, se utiliza la ecuación (2.18):

Como se indicó anteriormente, se puede relacionar la BER como la probabilidad de error en los bits p para el caso de que un símbolo es igual a un bit.

Para sistemas M -arios, el cálculo de la probabilidad de error en los bits se explica más detenidamente en el Capítulo 3 (punto 3.1.1).

Es necesario también conocer, en un flujo de bits codificados con algún código bloque lineal, cual es la probabilidad de error en la palabra mensaje $P(E)$.

La p esta relacionada en forma directa con la relación señal a ruido, que para el caso de transmisión digital está representado por la razón de la energía en los bits E_b respecto de la densidad espectral de ruido N_0 . Al utilizar un código para corregir errores, lo que se obtiene es una variación de este valor, ya que E_b/N_0 se multiplica por un factor k/n .

La relación señal a ruido para la entrada del receptor se representa por E_b/N_0 que es la razón de energía del símbolo (o bit) E_b , sobre densidad espectral del ruido N_0 .

Consideremos un código (n, k) de corrección de t errores. En este caso, k bits de información se codifican en n bits. Se supondrá que se transmiten k bits de información en el mismo intervalo de tiempo mediante un sistema codificado y otro no codificado y que la potencia recibida P_r se mantiene igual para ambos sistemas. Ya que sólo se requieren k bits para ser transmitidos a través del sistema no codificado (contra n a través del sistema codificado), la velocidad de los bits R_b es menor para los sistemas no codificados por un factor de k/n en comparación con los codificados. De la ecuación (1.38) se tiene:

$$\frac{E_b}{N_0} = \frac{P_r}{R_b \cdot N_0} = \left(\frac{P_r}{N} \right) \left(\frac{B}{R_b} \right)$$

donde:

- P_r : Potencia de la señal recibida.
- R_b : Velocidad de transferencia de los bits.
- N_0 : Densidad de ruido ($N_0 = N/B$).

Este valor es mayor para el caso no codificado en comparación con el codificado por un factor n/k . Esto tiende a reducir la probabilidad de error en los bits para el caso no codificado. Sean p_c y p_u las probabilidades de error en los bits en los casos codificado y no codificado, respectivamente.

Para el caso no codificado una palabra de k bits se recibirá con error si uno cualquiera de los k bits se encuentra con error. Si $P(E)_e$ y $P(E)_u$ representan las probabilidades de error en el mensaje de los sistemas codificado y no codificado respectivamente, entonces:

$$\begin{aligned} P(E)_u &= 1 - P(k \text{ dígitos se reciben correctos}) \\ &= 1 - (1 - p_u)^k \\ &\approx k \cdot p_u \quad p_u \ll 1 \end{aligned}$$

(2.20)

Para un código (n, k) de corrección de t errores, el mensaje recibido tendrá error si más de t errores ocurren en n bits. Si $p(j, n)$ es la probabilidad de j errores en n bits, entonces:

$$P(E)_c = \sum_{j=t+1}^n p(j, n)$$

(2.21)

en virtud de que existen $\binom{n}{j}$ formas en las cuales

pueden ocurrir j errores en n dígitos.

$$p(j, n) = \binom{n}{j} p_c^j (1 - p_c)^{n-j}$$

(2.22)

$$P(E)_c = \sum_{j=t+1}^n \binom{n}{j} p_c^j (1 - p_c)^{n-j}$$

Para $p_c \ll 1$, el primer término de la suma de la ecuación anterior domina a todos los demás términos, y hay justificación para ignorar a todos, excepto el primer término. Por lo tanto,

$$P(E)_c = \binom{n}{t+1} p_c^{t+1} (1 - p_c)^{n-(t+1)}$$

$$P(E)_c \approx \binom{n}{t+1} p_c^{t+1} \quad p_c \ll 1$$

(2.23)

Para una transmisión con modulación B-PSK, ruido aditivo blanco gaussiano y que tiene valor típico de $R_b/B \approx 1$ bit/seg/Hz, se tiene^a:

$$p_u = Q \left[\sqrt{2 \left(\frac{S}{N} \right)} \right] = Q \left[\sqrt{2 \left(\frac{E_b}{N_0} \right) \left(\frac{R_b}{B} \right)} \right] = Q \left[\sqrt{2 \left(\frac{E_b}{N_0} \right)} \right]$$

(2.24)

ya que $\frac{E_b}{N_0}$ para el caso codificado es k/n veces el

caso no codificado,

$$p_c = Q \left(\sqrt{2 \left(\frac{k}{n} \right) \frac{E_b}{N_0}} \right)$$

(2.25)

^a Enciclopedia de la ELECTRONICA INGENIERIA Y TECNICA, tomo 6, pags 1581 - 1584.

Reemplazando (2.24) y (2.25) en las ecuaciones (2.20) y (2.23) respectivamente, se tiene:

$$P(E)_u = k Q \left(\sqrt{2 \frac{E_b}{N_0}} \right)$$

$$P(E)_c = \binom{n}{t+1} \left[Q \left(\sqrt{2 \left(\frac{k}{n} \right) \frac{E_b}{N_0}} \right) \right]^{t+1} \quad P_{ec} < 1$$

Se debe tener presente que:

$$Q(x) \approx \left(\frac{1}{x \sqrt{2\pi}} \right) e^{-x^2/2} \quad \text{para } x > 3$$

(2.26)

representa la función de error complementaria de argumento x .

2.4 INTERPRETACION DE RESULTADOS.

Los resultados que se analizan a continuación, se los obtiene del programa descrito en el punto 2.2.

Codificación en forma sistemática.

Utilizando el código (7,4) se puede obtener todas las palabras código de las palabras mensaje que se pueden formar con cuatro bits.

TABLA 2.3 CODIFICACION SISTEMATICA DEL CODIGO (7,4,1)

<i>Palabra mensaje</i>	<i>Palabra código</i>	<i>Ancho</i>
0 0 0 0	0 0 0 0 0 0 0	0
0 0 0 1	1 0 1 0 0 0 1	3
0 0 1 0	1 1 1 0 0 1 0	4
0 0 1 1	0 1 0 0 0 1 1	3
0 1 0 0	0 1 1 0 1 0 0	3
0 1 0 1	1 1 0 0 1 0 1	4
0 1 1 0	1 0 0 0 1 1 0	3
0 1 1 1	0 0 1 0 1 1 1	4
1 0 0 0	1 1 0 1 0 0 0	3
1 0 0 1	0 1 1 1 0 0 1	4
1 0 1 0	0 0 1 1 0 1 0	3
1 0 1 1	1 0 0 1 0 1 1	4
1 1 0 0	1 0 1 1 1 0 0	4
1 1 0 1	0 0 0 1 1 0 1	3
1 1 1 0	0 1 0 1 1 1 0	4
1 1 1 1	1 1 1 1 1 1 1	7

De igual manera se puede utilizar los otros códigos.

Para los códigos que no tienen una relación matemática directa para obtener la distribución de anchos del código, se utiliza estos resultados. Para el código (7,4,1) presentado en la tabla 2.3, se determina el ancho de cada palabra código contabilizando el número de 1's que tiene cada una y luego se determina el número de palabra código que tienen el mismo ancho, obteniéndose:

$$A_0 = 1$$

$$A_1 = A_2 = A_5 = A_6 = 0$$

$$A_3 = A_4 = 7$$

$$A_7 = 1$$

Se puede apreciar que en la palabra código, en forma sistemática, se mantiene la palabra mensaje y que los otros bits restantes $(n - k)$ son los de paridad.

Gráficos.

Los gráficos obtenidos corresponden a un canal BSC, que se indica en la figura 2.2. Teniendo en cuenta la capacidad de éste canal BSC que se determina con la ecuación:

$$C = 1 + p \log_2 p + (1 - p) \log_2 (1 - p) \tag{2.27}$$

donde:

- C : Capacidad del canal BSC, bits por símbolo.
- p : Probabilidad de transición del BSC.

Si analizamos esta ecuación, podemos notar que cuando $p = 1/2$, un símbolo de entrada genera cualquiera de las salidas con igual probabilidad, y la capacidad es cero. Mientras que si $p = 0$ o $p = 1$, la salida del canal está completamente determinada por la entrada, y la capacidad es 1 bit por símbolo.

La figura 2.4a presenta el gráfico de la probabilidad de no detección de errores $P_u(E)$ en función de la probabilidad de transición del BSC, p , para los valores de $0 \leq p \leq 1$ del código (7,4) que corrige un

solo error, $t = 1$. Como se puede apreciar en el gráfico, los valores $P_u(E)$ aumentan en una forma lenta hasta un valor aproximado de $p = 0.65$, a partir del cual la variación es más pronunciada produciéndose que la probabilidad de que el código no detecte errores aumente cuando el valor de la probabilidad de transición del BSC, p , esta próximo a 1. Ya que como se indicó en la capacidad del canal, cuando el valor de p es 0 o 1 la salida del canal esta determinada. Lo que nos indica que se tomará la salida como verdadera aunque sea una respuesta errónea. Se debe tener presente que una palabra código, por causa de los errores, puede transformarse en otra palabra código. Si el valor de p es 1 lo suficiente para cambiar una palabra código.

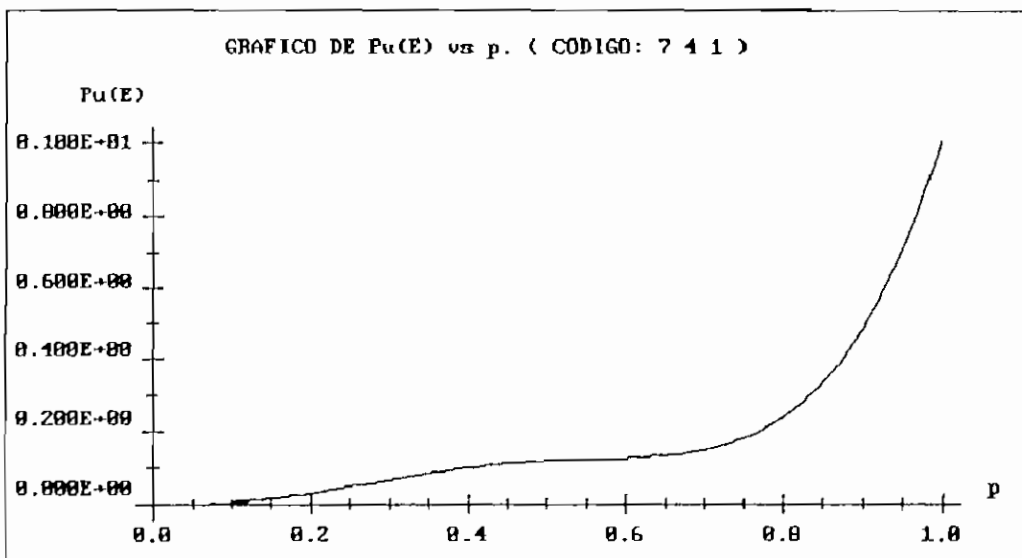
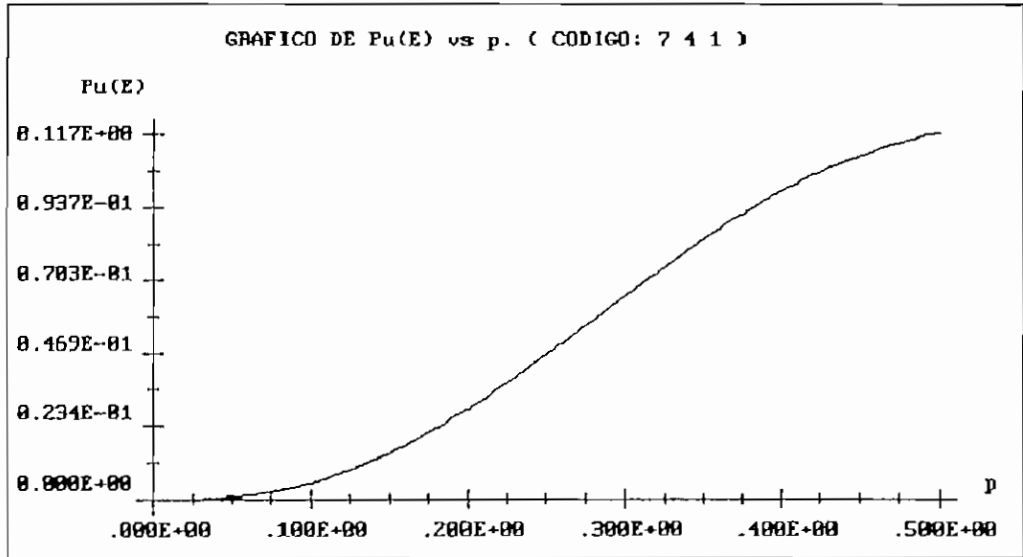
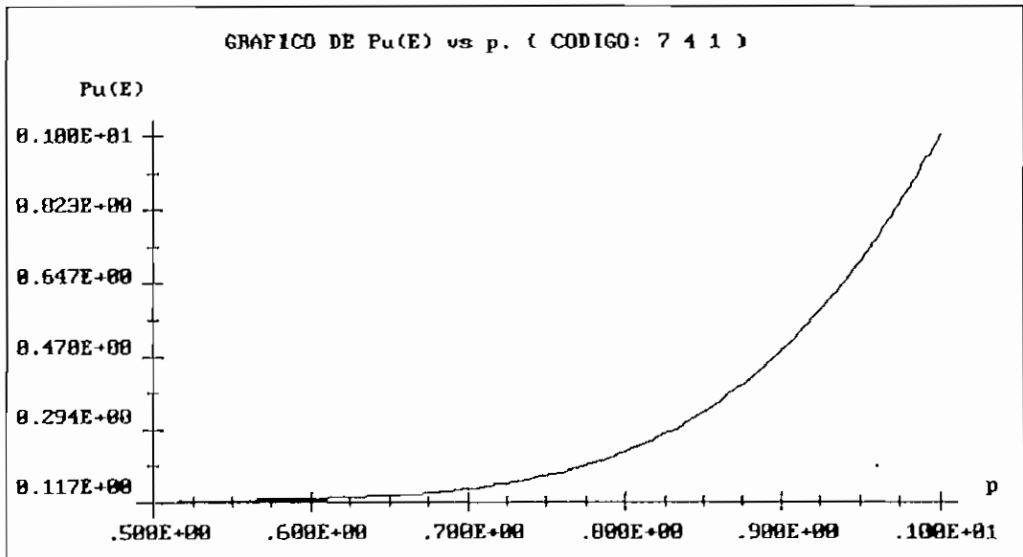


FIGURA 2.4a



(b)



(c)

FIGURA 2.4 $P_u(E)$ vs. p PARA EL CODIGO (7,4)

(a) $0 \leq p \leq 1$

(b) $0 \leq p \leq 0.5$

(c) $0.5 \leq p \leq 1$

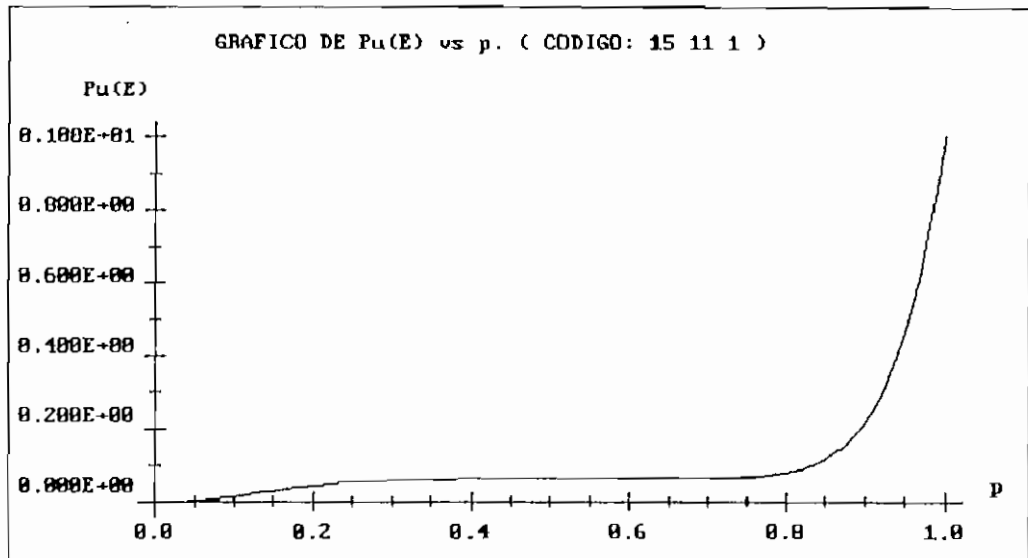
Las figuras 2.4b y 2.4c, se refieren al mismo código pero los rangos de graficación son diferentes. Para la figura 2.4b se tiene $0 \leq p \leq 0.5$ y para la figura 2.4c se tiene $0.5 \leq p \leq 1$. Permittiéndonos tener una visión más amplia de la variación de $P_u(E)$ respecto de p .

Incrementando el número de bits de paridad $n-k$ y el número de bits del mensaje k , por ejemplo el código (15,11) de la figura 2.5, n a 15 bits y k a 11 bits con $t = 1$, se tiene que la $P_u(E)$ disminuye y es de un valor mucho menor y casi estable en un amplio rango de p . La figura 2.5a presenta la variación de $P_u(E)$ respecto de p para un rango comprendido entre 0 y 1 del código (15,11).

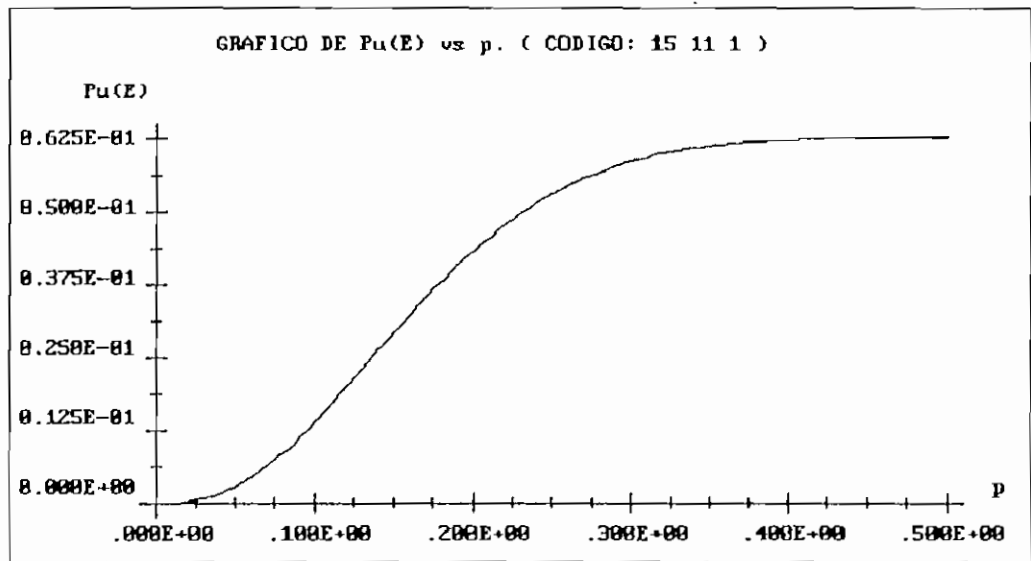
Se puede decir que este código es más confiable mientras el valor de p no este cercano a 1.

Las figuras 2.5b, 2.5c y 2.5d presentan, para el mismo código (15,11), diferentes rangos de p .

Si utilizamos el código (15,7), figura 2.6, que corrige dos errores $t = 2$, el valor de $P_u(E)$ disminuye en forma considerable si analizamos los mismos rangos de graficación del la figura 2.5. En este caso se disminuye la longitud de la palabra mensaje k a 7 bits



(a)



(b)

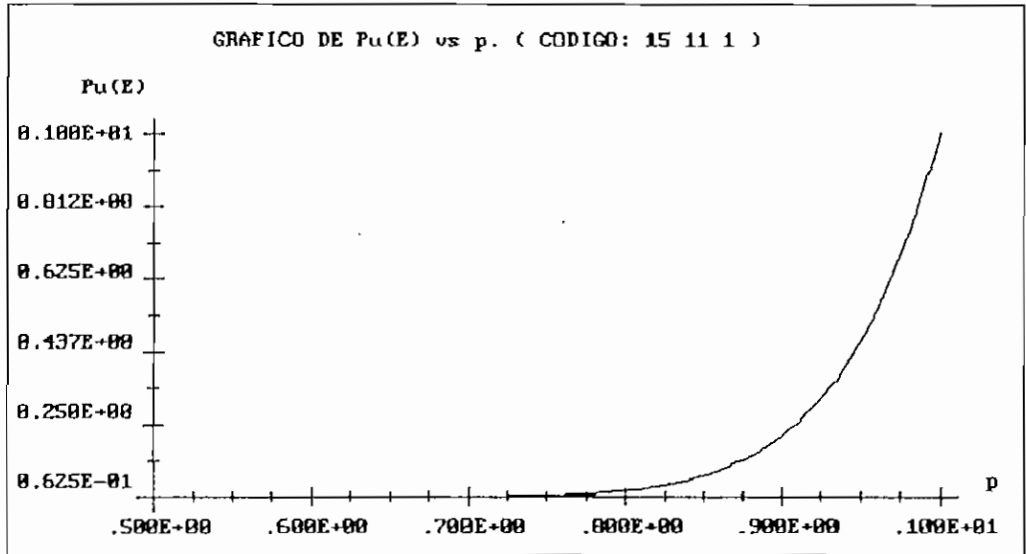
FIGURA 2.5 $P_u(E)$ vs. p PARA EL CODIGO (15,11)

(a) $0 \leq p \leq 1$

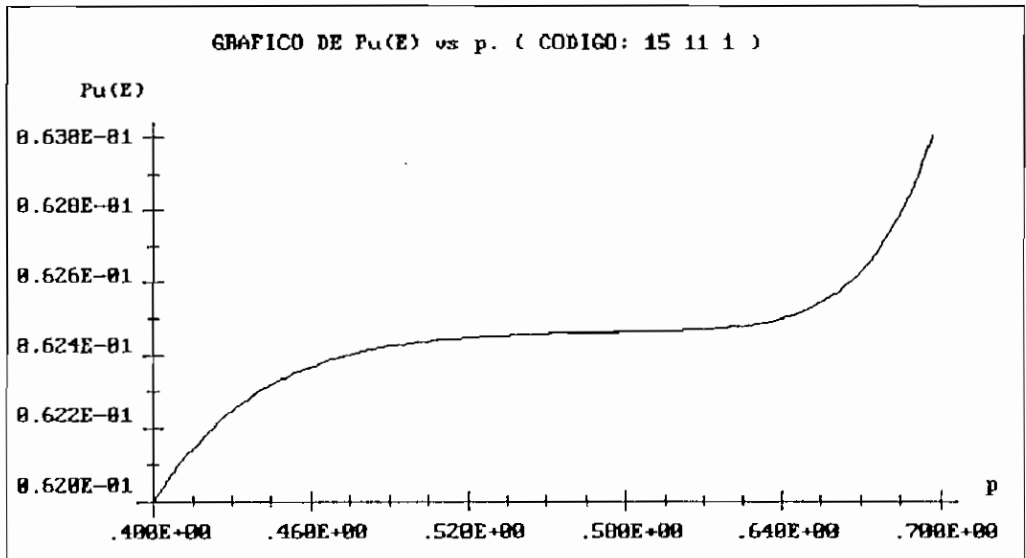
(b) $0 \leq p \leq 0.5$

(c) $0.5 \leq p \leq 1$

(d) $0.4 \leq p \leq 0.7$



(c)



(d)

FIGURA 2.5 CONTINUACION...

y manteniendo la longitud de la palabra código n en 15 se tiene que $n-k$ aumenta a 8. Por lo tanto en canales

binario simétricos BSC, si se tiene un grupo de códigos que tienen la misma longitud de la palabra código n y se desea disminuir la $P_u(E)$ se debe disminuir la longitud de la palabra mensaje k y por consiguiente aumenta el número de bits de paridad $n-k$.

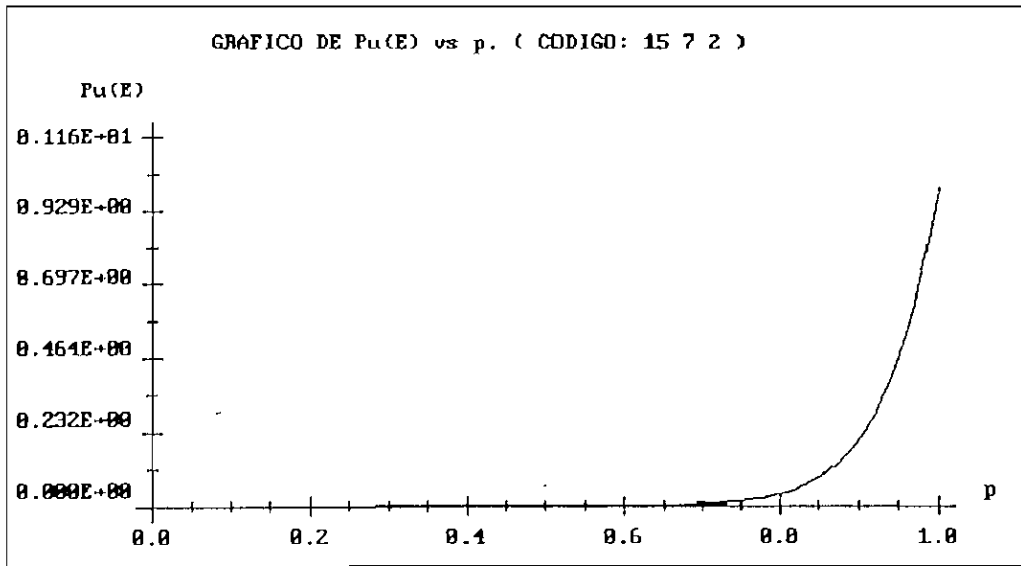


FIGURA 2.6a

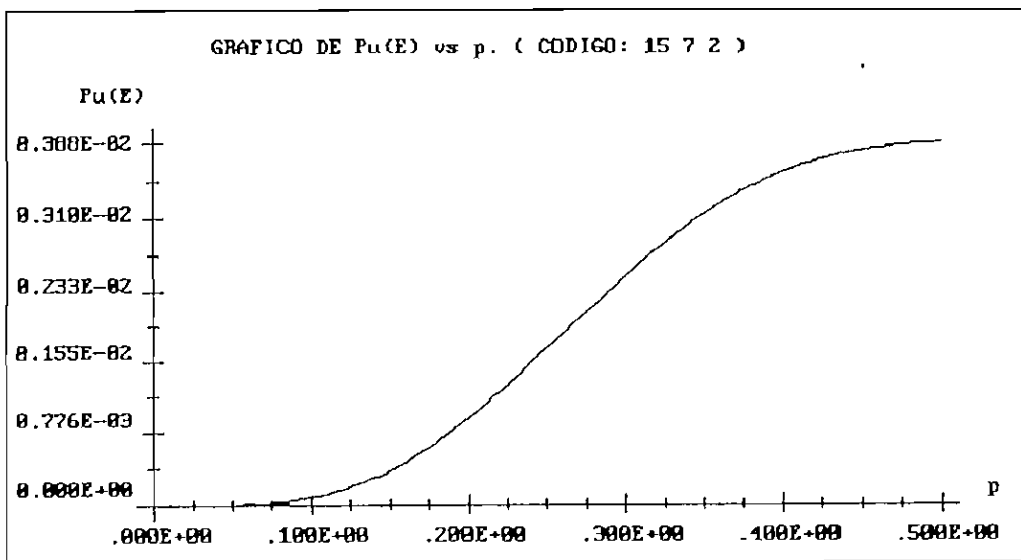
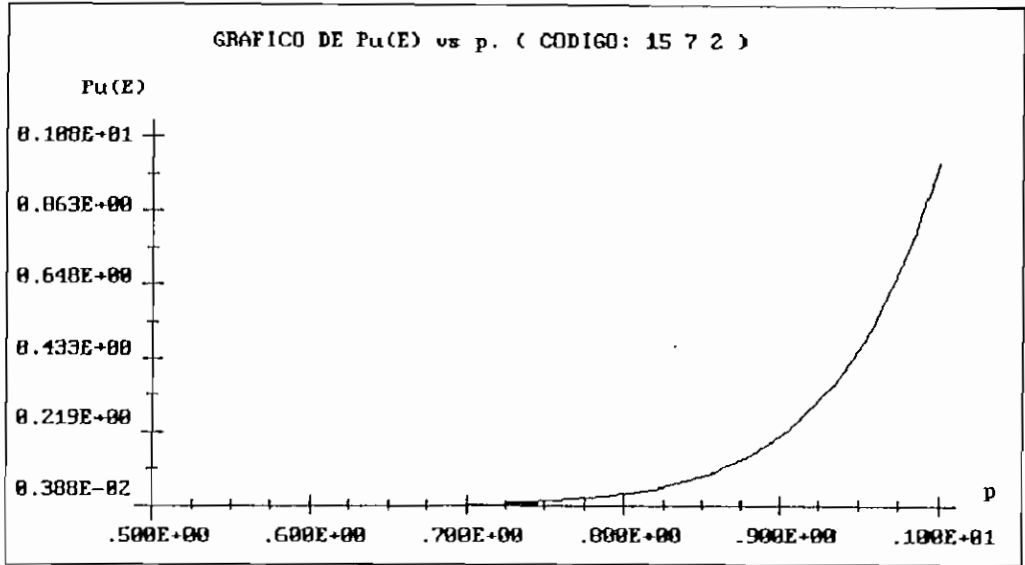
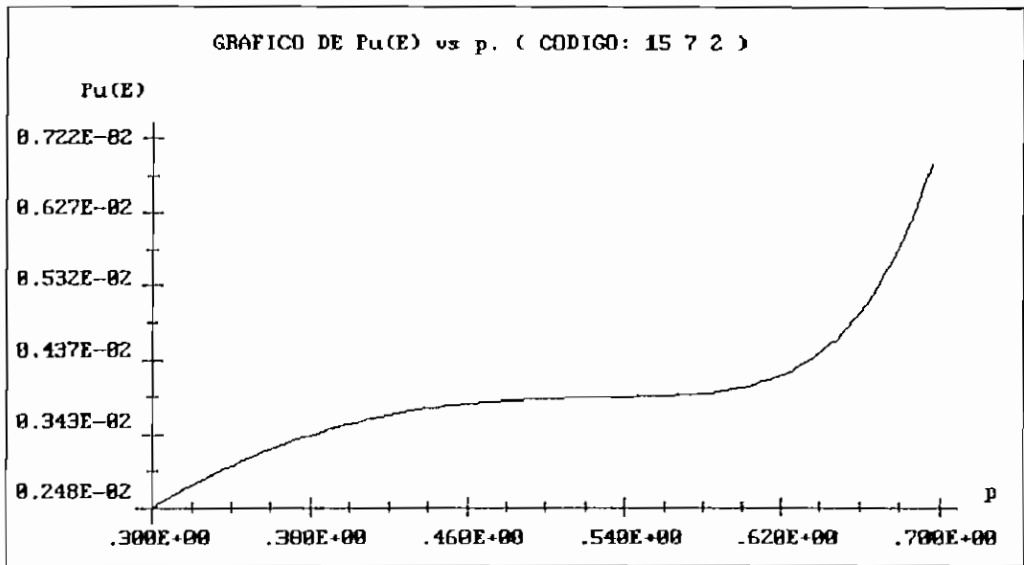


FIGURA 2.6b



(c)



(d)

FIGURA 2.6 Pu(E) vs. p PARA EL CODIGO (15,7)

(a) $0 \leq p \leq 1$

(b) $0 \leq p \leq 0.5$

(c) $0.5 \leq p \leq 1$

(d) $0.4 \leq p \leq 0.7$

Para valores inferiores de p no se cumple estrictamente lo indicado anteriormente. Por ejemplo, para los códigos con $t = 1$ y con valores de $p < 0.3$, se tiene que al cambiar del código (7,4) al (15,11) la $P_u(E)$ aumenta y de igual manera con los otros códigos en otros rangos, figura 2.7. En los puntos de cruce entre las curvas, se tiene que para un valor determinado de p , los códigos correspondientes a estas curvas dan el mismo valor de $P_u(E)$.

Para los códigos con $t = 2$ ésta variación se tiene cuando $p < 0.2$, figura 2.9. Mientras que para los códigos con $t = 3$ cuando $p < 0.16$, figura 2.10.

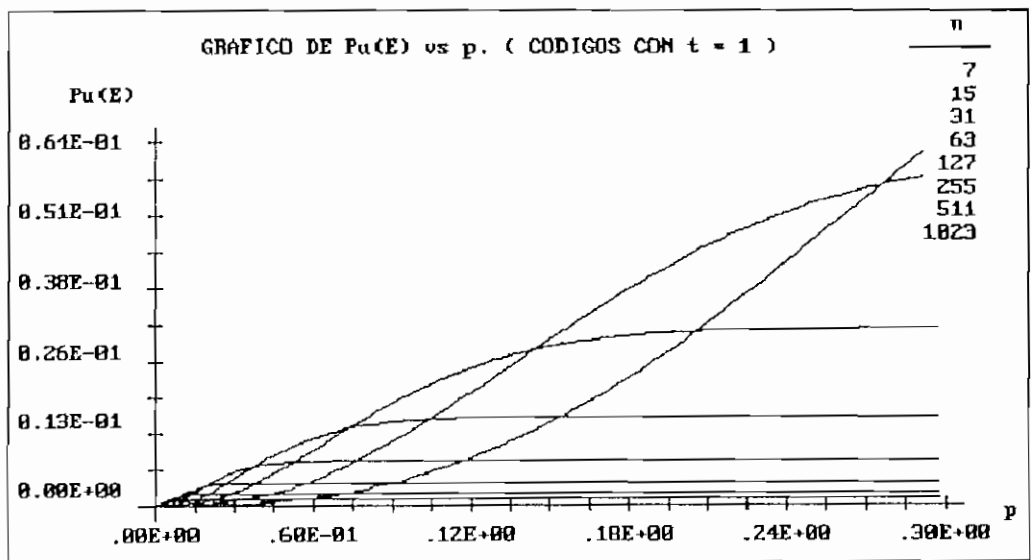


FIGURA 2.7 CODIGOS BLOQUE LINEALES CON $t = 1$
 $0 \leq p \leq 0.3$

Para comprender mejor lo indicado anteriormente, se ha realizado gráficos en los que se presenta la variación de $P_u(E)$ vs $n-k$ vs p para códigos bloque lineales en un canal BSC.

Para los códigos con $t = 1$ se tiene la figura 2.8 en la que se puede apreciar como varía $P_u(E)$ a medida que se incrementa la longitud de la palabra mensaje k y el número de bits de paridad $n-k$, para un rango de p igual al utilizado en la figura 2.7 ($0 \leq p \leq 0.3$). Los códigos graficados son desde el código (7,4) hasta el código (1023,1013), teniendo en cuenta que $t = 1$.

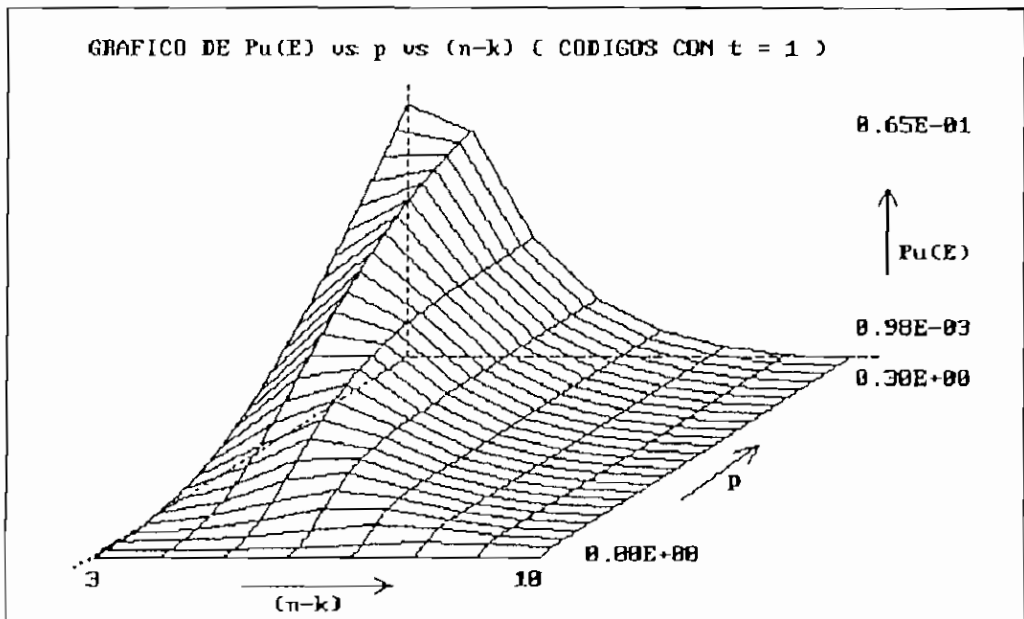


FIGURA 2.8 VARIACION DE $P_u(E)$ vs p vs $n-k$
CODIGOS CON $t = 1$ Y $0 \leq p \leq 0.3$

Se realiza una agrupación de curvas que se pueden obtener utilizando el programa desarrollado en 2.2, y graficándolas una a continuación de otra en función del número de bits de paridad $n-k$.

Las figuras 2.9 y 2.10 presentan la variación de $P_u(E)$ para los códigos con $t = 2$ y con $t = 3$, respectivamente. En los rangos de p que han sido realizadas estas figuras ($0 - 0.2$ para la figura 2.9 y $0 - 0.16$ para la figura 2.10) se puede apreciar como va cambiando el comportamiento de $P_u(E)$ al aumentar $n-k$ para ciertos valores de p .

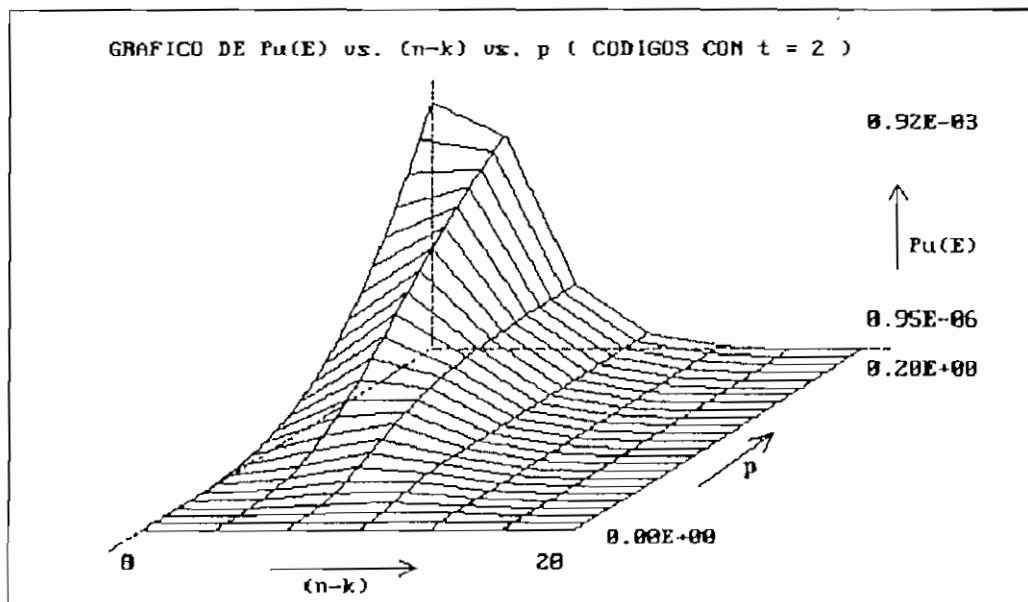


FIGURA 2.9 CODIGOS BLOQUE LINEALES CON $t = 2$
 $0 \leq p \leq 0.2$

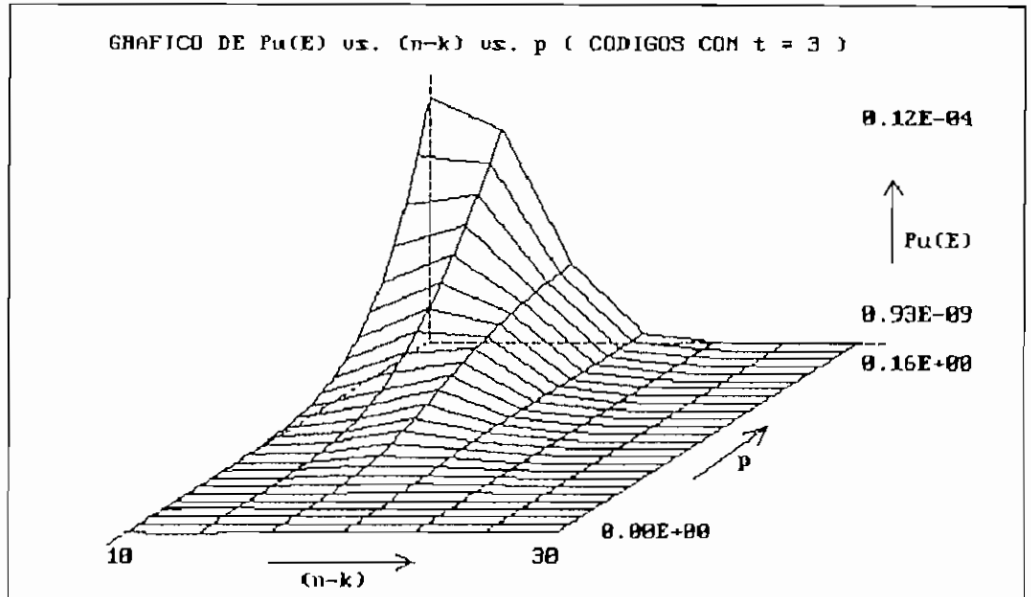


FIGURA 2.10 CODIGOS BLOQUE LINEALES CON $t = 3$
 $0 \leq p \leq 0.16$

Como resultados, también se obtienen gráficos de la probabilidad de error en la palabra mensaje $P(E)$. Si se transmite un flujo de bits que ha sido agrupado en palabras mensaje de longitud k y que estas a su vez han sido codificadas utilizando cualquiera de los códigos bloque lineales, a través de un canal binario simétrico BSC, se puede obtener la probabilidad de error en la palabras mensaje $P(E)$ en función de la probabilidad de error en los bits p (probabilidad de transición) que tenga este canal. Teniendo en cuenta que la probabilidad de error en los bits p equivale a la tasa de bits erróneos BER.

En el submenú de gráficos del programa principal (ver punto 2.2.2) se presenta esta opción. La figura 2.11 presenta la variación de $P(E)$ en función de p en el rango de 0 a 1 para el código (7,4). Mientras que la figura 2.12 para el rango de 0 a 10^{-3} .

Los equipos de comunicación normalmente incluyen alarmas para detectar una BER de 10^{-6} y de 10^{-3} . Por esta razón se realiza los gráficos con la variación de p hasta 10^{-3} . Estos gráficos nos permiten analizar los errores que se comenten en la palabra mensaje en función de la probabilidad de error en los bits p (que aquí representa la BER).

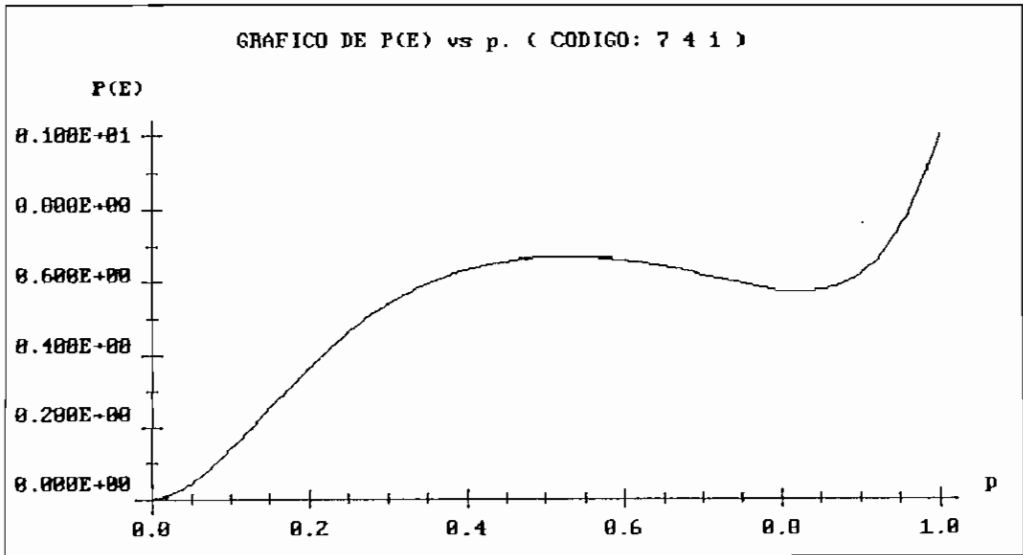


FIGURA 2.11 $P(E)$ vs. p PARA EL CODIGO (7,4)
 $0 \leq p \leq 1$

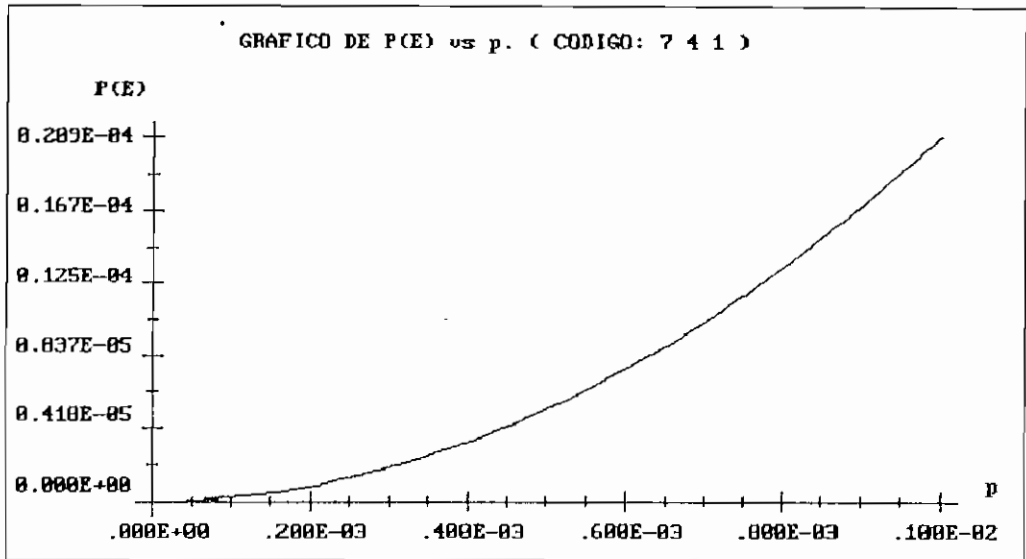


FIGURA 2.12 P(E) vs. p PARA EL CODIGO (7,4)

$$0 \leq p \leq 10^{-2}$$

En el punto 2.3 de este capítulo, se presenta como influye el tipo de código bloque lineal (n,k) en el cálculo de p, además de otros parámetros como la potencia de transmisión, ruido, tipo de modulación y velocidad de trasmisión de los bits, entre otros.

La figura 2.13 presenta la variación de la probabilidad de error en los bits, p (probabilidad de transición del BSC y que también representa el valor teórico de la BER), en función de E_b/N_0 para los códigos que corrigen un sólo error $t = 1$. Este gráfico esta realizado bajo las siguientes condiciones: que el canal tiene ruido aditivo blanco gaussiano y también

que se utiliza modulación BPSK. El rango de variación de E_b/N_0 es de -8 a 15 dB. Para realizar este figura se utiliza la ecuación 2.25 que la repetimos:

$$p = Q \left(\sqrt{2 \left(\frac{k}{n} \right) \frac{E_b}{N_0}} \right) \quad \text{Sistema Codificado}$$

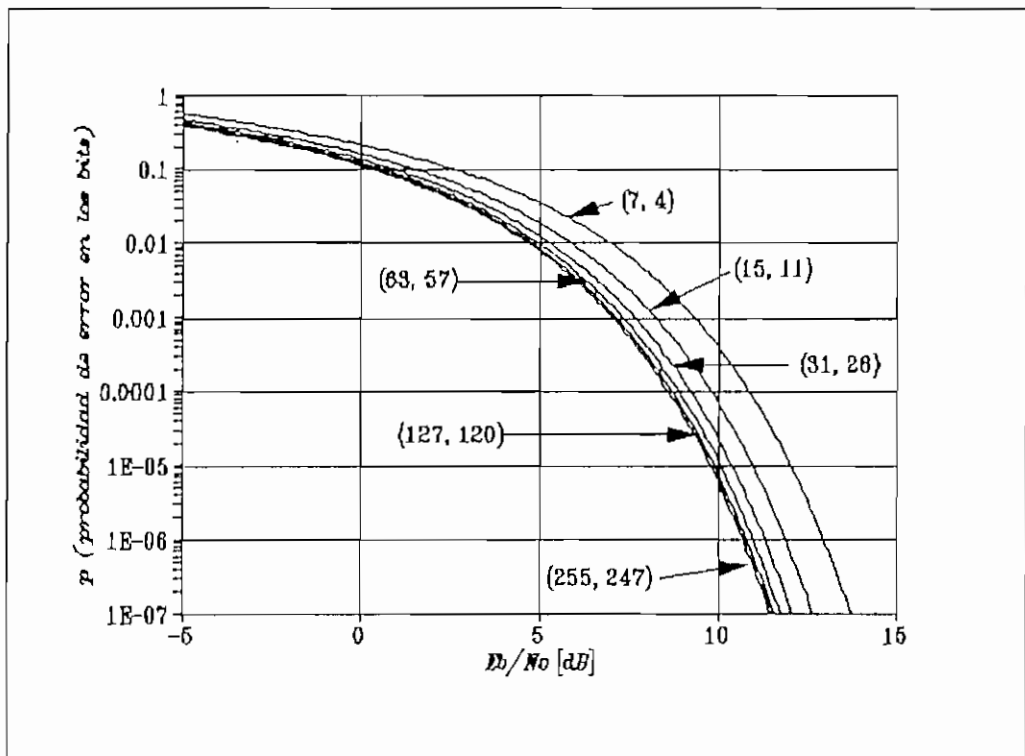


FIGURA 2.13 PROBABILIDAD DE ERROR EN LOS BITS EN FUNCION DE E_b/N_0 PARA SISTEMAS CODIFICADOS CON CODIGOS BLOQUE LINEALES Y MODULACION B-PSK.

La figura 2.14 presenta las curvas de p en función de

E_b/N_0 para el caso no codificado manteniendo las mismas condiciones y rango. Se utiliza la ecuación 2.24 que se repite a continuación:

$$p = Q \left(\sqrt{2 \frac{E_b}{N_0}} \right) \quad \text{Sistema no Codificado}$$

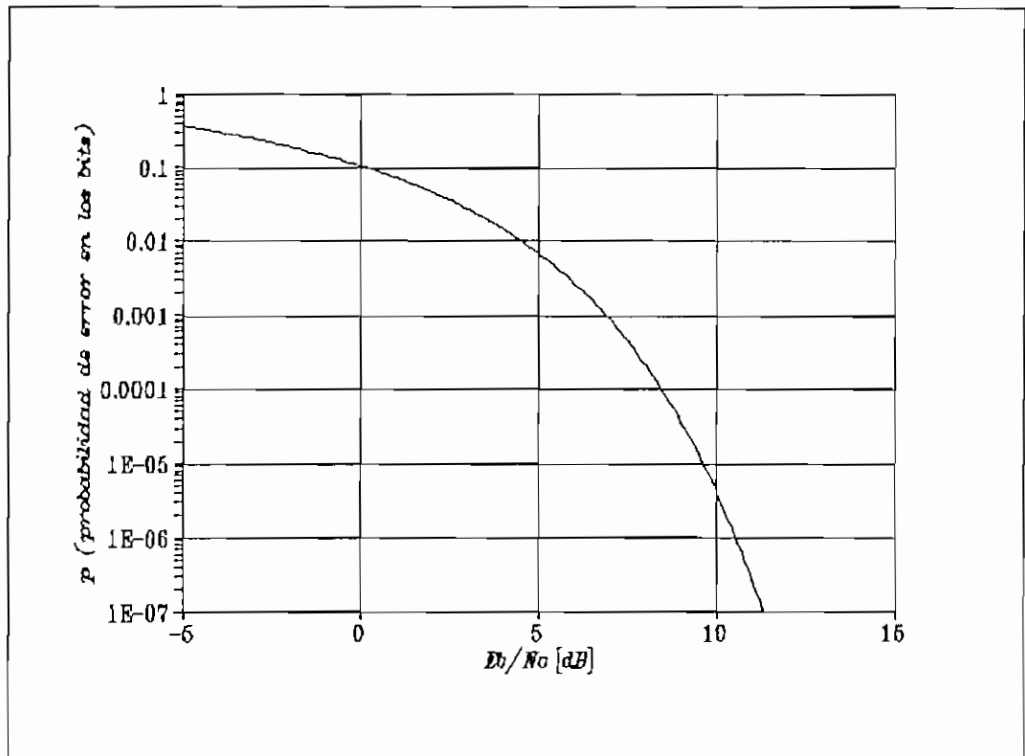


FIGURA 2.14 PROBABILIDAD DE ERROR EN LOS BITS EN FUNCION DE E_b/N_0 PARA SISTEMAS NO CODIFICADOS CON MODULACION B-PSK.

Si se compara entre las figuras 2.13 y 2.14, se puede ver que la probabilidad de error en los bits del

sistema codificado se ha degradado, por lo que debe ser posible detectar más bits durante el mismo intervalo y con la misma potencia disponible. La mejora en el rendimiento se ve en el cálculo de la probabilidad de error en la palabra mensaje, $P(E)$.

Por lo tanto, si se quiere mejora el rendimiento se puede seleccionar el código bloque lineal (n,k) que satisfaga los requerimientos de comunicación. Con el valor de E_b/N_0 y determinado el tipo de código a utilizarse, se puede calcular la probabilidad de no detección de errores, $P_u(E)$.

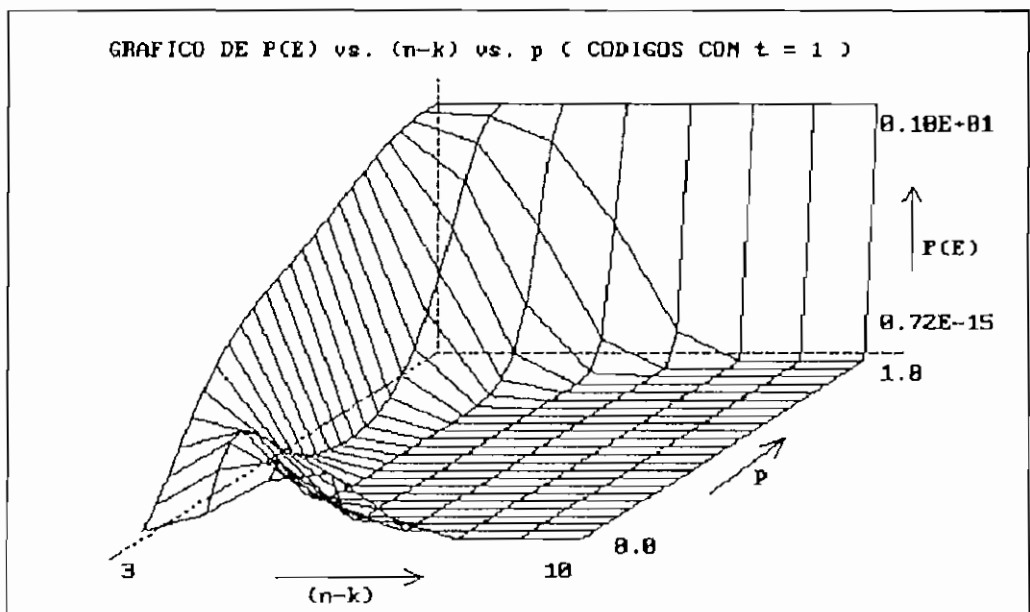


FIGURA 2.15 CODIGOS BLOQUE LINEALES CON $t = 2$

$$0 \leq p \leq 1$$

La figura 2.15 presenta la variación de $P(E)$ en función de $n-k$ y de p , para los códigos bloque lineales que corrigen un solo error, $t = 1$, se puede ver que a medida que se incrementa el valor de $n-k$ y se disminuye p el valor de $P(E)$ decrece, obteniéndose un mejor rendimiento de las palabras código a la salida del canal.

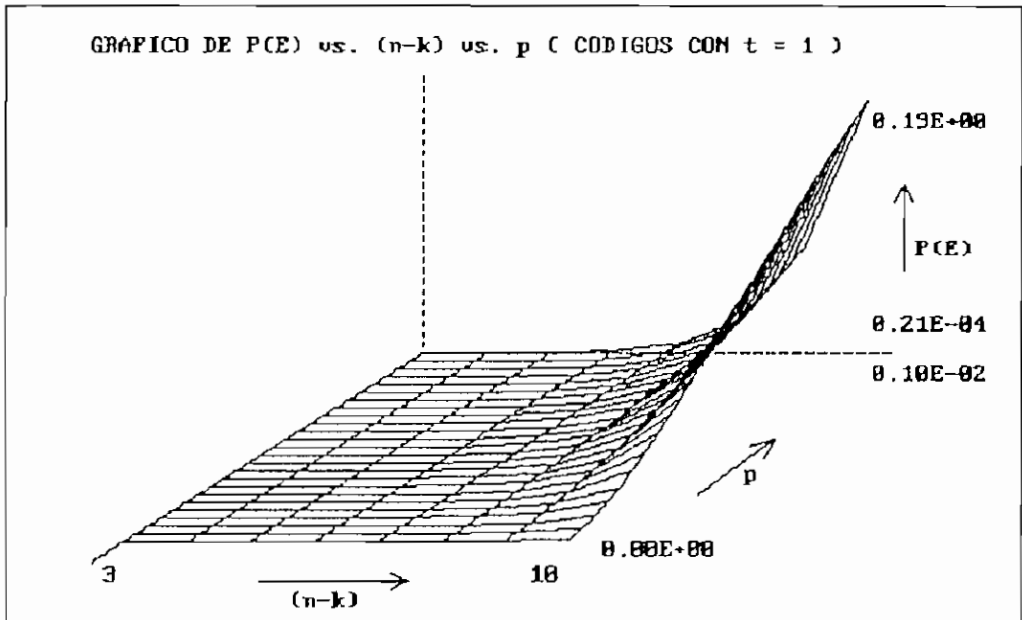


FIGURA 2.16 CODIGOS BLOQUE LINEALES CON $t = 2$

$$0 \leq p \leq 10^{-3}$$

Al igual que la probabilidad de no detección de error $P_u(E)$, la probabilidad de error en la palabras mensaje $P(E)$, para valores de p pequeños (próximos a cero) se tiene un comportamiento contrario al indicado

anteriormente. $P(E)$ aumenta al aumentar $n-k$ para un determinado valor de p . Figura 2.16.

Con la opción de gráficos del programa principal descrito en 2.2, se puede realizar los mismos análisis hechos en este punto, con los otros códigos bloque lineales.

CAPITULO III.

RELACION ENTRE LA BER, BITS DE CONTROL DE LOS CODIGOS BLOQUE LINEALES $(n-k)$ Y LA POTENCIA DE TRANSMISION.

A partir de mediados de los años setenta se empezaron a introducir centrales de conmutación digitales, la transmisión analógica dejó de ser la solución más económica. Por ese motivo fue desarrollada una primera generación de equipos de radioenlace digitales, que

utilizaban preferentemente las modulaciones Q-PSK y 16-QAM.

Sólo en casos especiales, o sea cuando la capacidad de transmisión de los equipos de radioenlace digitales de primera generación no era suficiente se continuaron implementando sistemas SSB-AM en conjunto con transmultiplexores.

En los años venideros, la decisión de desarrollar la red de telecomunicaciones digitales existentes, que son un conjunto de redes dedicadas a servicios especiales, hacia una red de servicios digitales integrados (RSDI), revestirá una gran importancia.

3.1 MODULACION PSK Y QAM MULTINIVEL.

A. MODULACION PSK.

La modulación por desplazamiento de fase PSK (Phase Shift Keying) es un caso especial de la modulación de fase PM (Phase Modulation), la cual es posible generar una señal PSK con un modulador lineal de producto configurado para modulación DSBSC (doble banda lateral con portadora suprimida). El espectro de la señal modulada resultante es sencillamente una traslación en

frecuencia del espectro de información digital a la banda de frecuencia portadora en RF.

En la modulación PSK binaria (BPSK), los dos pulsos básicos que se tiene en cuenta son $p'(t)\cos(\omega_c t)$ y

$$p'(t)\cos(\omega_c t + \pi) .$$

Se generaliza la idea para el caso M-ario (M-PSK) utilizando M pulsos con el k -ésimo pulso

$$p'(t)\cos\left[\omega_c t + \left(2\frac{\pi}{M}\right)k\right] .$$
 De esta forma, las fases de

pulsos sucesivos son cada $2\frac{\pi}{M}$ radianes, como se

puede apreciar en la figura 3.1.

Por la simetría de este sistema es evidente que si, debido al ruido de canal, la fase de cualquier pulso

se desvía más de $\frac{\pi}{M}$ radianes, se comete error.

Por lo tanto, la probabilidad de error en los símbolos p_e es la probabilidad de que la fase de cualquier pulso se desvíe más de $\frac{\pi}{M}$ radianes.

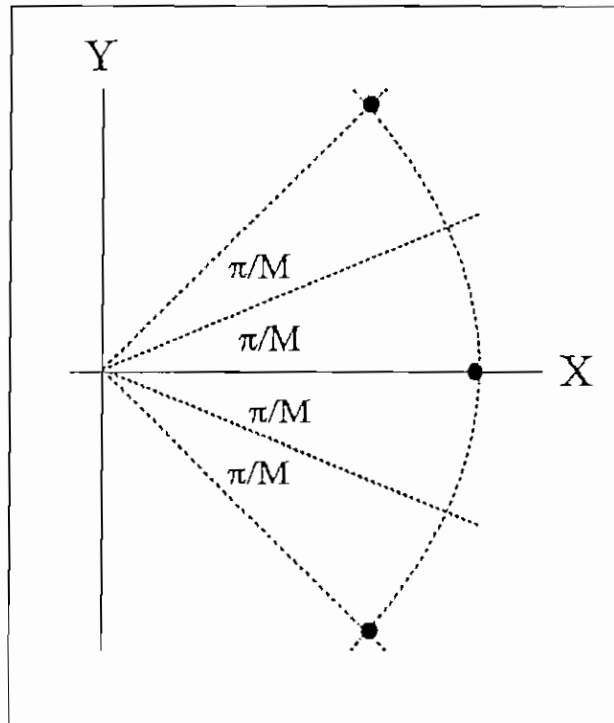


FIGURA 3.1 DIAGRAMA FASORIAL DE SEÑALES M-PSK

En el receptor se dispone de una referencia de fase coherente. La función básica del receptor es detectar la fase del pulso que se recibe. Esto puede hacerse mediante dos detectores de fase con referencias respectivas $\cos(\omega_c t)$ y $\sin(\omega_c t)$, junto con un circuito lógico para determinar la relación entre las dos componentes detectadas.

B. MODULACION QAM.

Las señales DBL ocupan el doble del ancho de banda que se requiere para las señales BLU. Esta desventaja se puede salvar transmitiendo dos señales DBL utilizando portadoras de la misma frecuencia pero en cuadratura de fase (figura 3.2a).

Las dos señales moduladas ocupan el mismo ancho de banda. Las dos señales de banda base pueden separarse en el receptor mediante detección sincronizada utilizando dos portadoras locales en cuadratura de fase. Esto se puede demostrar considerando la salida del multiplicador $X_1(t)$ del canal 1 (figura 3.2a):

$$X_1(t) = 2 [m_1(t) \cos(\omega_c t) + m_2(t) \sin(\omega_c t)] \cos(\omega_c t)$$

$$X_1(t) = m_1(t) + m_1(t) \cos(2\omega_c t) + m_2(t) \sin(2\omega_c t)$$

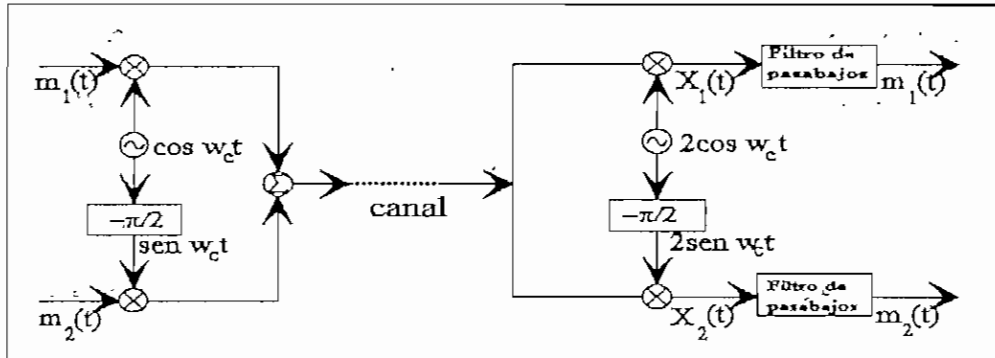
donde:

$m_1(t)$ y $m_2(t)$: Datos de entrada al modulador.

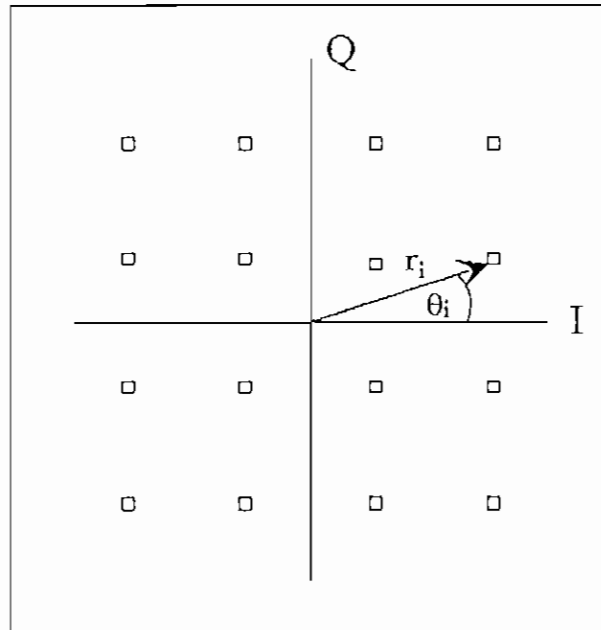
ω_c : Frecuencia de la portadora.

Los dos últimos términos son suprimidos por el filtro de pasabajos, dando por resultado la salida deseada $m_1(t)$. En forma similar, se puede demostrar que la

salida del canal 2 es $m_2(t)$. Este esquema se conoce como modulación de amplitud en cuadratura, (QAM), o multiplexión en cuadratura.



(a)



(b)

FIGURA 3.2 (a) SISTEMA QAM O MULTIPLEXION DE CUADRATURA

(b) QAM DE 16 PUNTOS ($M = 16$)

señal deseada en el canal 2 y una señal de interferencia en el canal 1. Podemos aumentar el índice de transmisión aun más mediante el uso de QAM M-aria. Un caso práctico con $M = 16$ utiliza los 16 pulsos (16 símbolos) siguientes.

$$p_i(t) = r_i p(t) \cos(\omega_c t + \theta_i) \quad i = 1, 2, \dots, 16$$

en donde $p(t)$ es un pulso de banda base con forma apropiada. Las elecciones de r_i y θ_i para 16 pulsos se muestran gráficamente en la figura (3.2 b).

Ya que $M = 16$, cada pulso puede transmitir la información de $\log_2 16 = 4$ dígitos binarios. Esto puede hacerse en la forma siguiente: existen 16 sucesiones posibles de cuatro dígitos binarios. Por lo tanto, un sólo pulso $r_i p(t) \cos(\omega_c t + \theta_i)$ transmite cuatro bits. De esta manera, una línea de transmisión normal que puede transmitir 2400 bits/seg podrá ahora transmitir a 9600 bits/seg.

— Sistemas de radioenlace digitales de primera generación.

Los sistemas digitales de primera generación trabajan preferentemente con las modulaciones Q-PSK y 16-QAM. El aprovechamiento de banda no se aproxima a los valores de los sistemas analógicos, ni siquiera a los

modulados en frecuencia. El aprovechamiento de banda RF de un sistema 16-QAM para 90 Mbits/seg. (2 x DS3) con 21 circuitos de voz por MHz. (o de un sistema DRS 140/6700 con 22.5 circuitos de voz por MHz.) llega a sólo 2/3 del valor obtenido en un sistema FM 1800/2600.

Los sistemas con modulación Q-PSK son todavía más desfavorables en este sentido. Recientemente se consiguió desarrollar por primera vez un sistema operante con modulación 64-QAM, cuyo aprovechamiento de banda RF de 32 circuitos de voz por MHz. supera ligeramente la marca del sistema FM 1800/6200. La discriminación de canal adyacente necesaria fue alcanzada con una conformación de espectro mucho más progresiva, sin tener que recurrir a valores extremos de discriminación de polarización cruzada. En su concepción básica, el sistema de 64-QAM, no difiere significativamente de los sistemas 16-QAM conocidos.

— Sistemas de radioenlace digitales de segunda generación.

Los sistemas de radioenlace digitales de segunda generación se caracterizan por el empleo de procedimiento, casi siempre adaptivos, entre varios componentes de sistema, o varios sistemas, con el fin

de optimizar la transmisión. Por este motivo, los sistemas disponen de una inteligencia superior a la de sistemas de primera generación. Podemos entonces concluir que estos sistemas cumplirán con los objetivos de calidad y de disponibilidad del CCIR también con modulaciones de grado superior, es decir con 256-QAM.

Hoy por hoy, las redes de radioenlaces operan básicamente con sistemas analógicos o con sistemas digitales de primera generación. El aprovechamiento de las bandas de RF tradicionales, inferior a los 11 GHz, debe girar en torno de los 20 a 25 circuitos de voz por MHz. incluyendo en la consideración la alta incidencia de sistemas de baja y mediana capacidad, con su eficiencia espectral inferior.

La importancia de los radioenlaces continuará creciendo si se consigue alcanzar dos metas principales: por un lado mantener la competitividad del medio de transmisión y por otro lado, brindar las capacidades de transmisión necesarias. Una segunda generación de sistemas digitales de radioenlace con modulaciones de más niveles y con procesos adaptivos, así como la explotación de las bandas superiores a los 11 GHz, permitirán realizar las capacidades de

transmisión que serán requeridas también en el futuro. Con respecto a la competitividad con otros medios de transmisión, ella será incrementada con la aplicación sistemática de los avances de la tecnología de circuitos integrados semidedicados VLSI; de la tecnología de componentes en microonda monolíticos e integrados; de la tecnología SAW (Surface Acoustic Wave); de la tecnología de base cerámica para resonadores y filtros; y finalmente de la tecnología GaAs para microondas.

3.1.1 DETERMINACION DE LA BER PARA SISTEMAS DE TRANSMISION DE DATOS CON MODULACION PSK Y QAM MULTINIVEL.

En circuitos de transmisión se generan varios tipos de errores que causan errores en los bits. En sistemas de microondas los ruidos que causan problemas principales son aquellos cuya generación es constante y cuya tensión eléctrica varía al azar. El ruido térmico es representativo de estos.

3.1.1.1 DEMODULACION.

La demodulación es un proceso en el cual, la información trasladada en la banda de onda portadora

mediante modulación, se traslada otra vez en la banda base.

Existen dos métodos de demodulación principales:

- El método en el cual la componente variable contenida en la onda modulada se detecta directamente. Es un método de demodulación que no requiere la referencia de fase para demodular la onda modulada y se llama detección no coherente.

- En el método en el cual, se comparan la onda modulada con una onda no modulada, detectando la parte de diferencia entre ellas. Este método requiere una onda portadora de referencia cuya fase ya está conocida para lograr la onda portadora originaria antes del proceso de modulación y se llama detección coherente.

3.1.1.2 BER DE LA SEÑAL DE DOS NIVELES.

El tren de impulsos unipolares (con niveles A y 0 , donde $A > 0$) y el de impulsos bipolares (con niveles $A/2$ y $-A/2$) de NRZ se pueden considerar iguales uno a otro excepto por el nivel de decisión ($A/2$ para el unipolar, 0 para el bipolar).

Para un tren de impulsos unipolares, figura 3.3, considerando que "marca" y "espacio" (marca para 1 y espacio para 0) se generan igualmente y considerando que el nivel de decisión es $A/2$, la tasa media de bits erróneos p se expresa por¹:

$$p = \frac{1}{2} \operatorname{erfc} \left(\frac{A}{2\sqrt{2}\sigma} \right)$$

(3.11)

donde:

- p : Tasa media de bits erróneos.
- A : Tensión de cresta de impulso.
- σ : tensión eficaz de ruido.

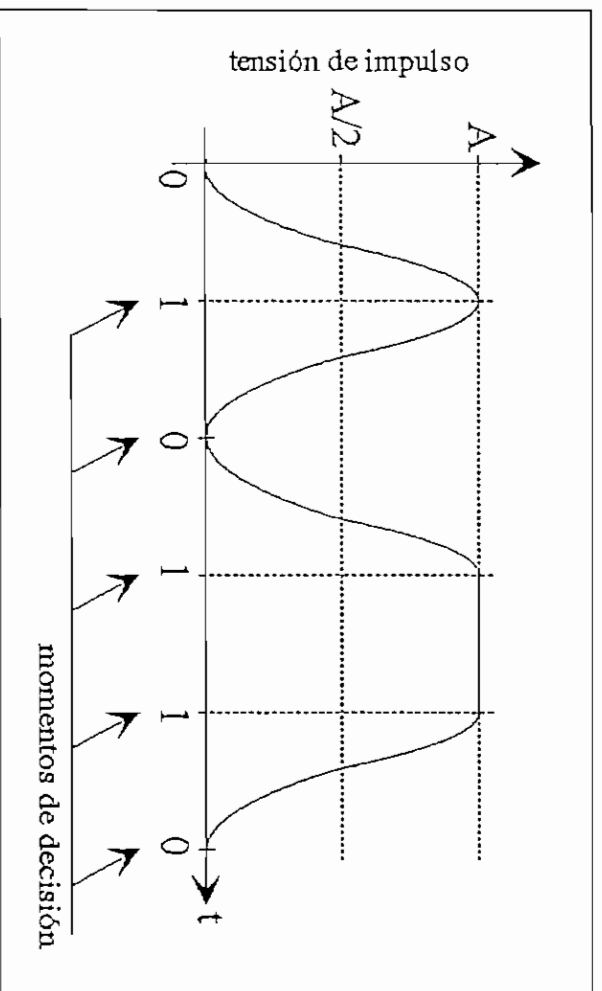


FIGURA 3.3 FORMA DE ONDA DE IMPULSOS UNIPOLARES

¹ TRANSMISION DIGITAL POR MICROONDA, IETEL, pag. 29.

Además, la función $\text{erfc}(x)$ se define como la función de error complementaria, que para x es grande es²:

$$\text{erfc}(x) \approx \frac{1}{x \sqrt{\pi}} \exp(-x^2) \quad (3.2)$$

Se sabe además que la BER se decide por la relación entre la tensión de cresta del impulso A y la tensión efectiva de ruido σ . Por lo general, la BER se representa por la función de la relación entre la potencia de la señal y la del ruido (S/N).

En este caso la potencia del ruido se expresa mediante el valor efectivo σ^2 y la de la señal se expresa por la potencia correspondiente a la tensión de cresta A en lugar del valor efectivo.

3.1.1.3 SISTEMAS CON MODULACION PSK.

Al demodular una onda PSK bivalente (2-PSK) por el detector coherente, se tiene presente que en la señal PSK siempre existe una onda de señal por eso a la entrada del detector se suministran una onda de señal y ruido independiente de marca o espacio. Si la onda portadora de referencia esta completamente sincronizada con la onda de señal recibida, a la

salida del detector aparece una componente del ruido cuya fase es la misma que la onda portadora de referencia. La distancia entre dos elementos de código, entre marca y espacio es $2A$ que es el doble de la señal de impulsos unipolarés. La señal 2-PSK requiere justamente la mitad de la amplitud de esta señal (un cuarto de potencia) para lograr la misma tasa de errores, p .

$$p = \frac{1}{2} \operatorname{erfc}(\sqrt{\rho}) \approx \frac{1}{2\sqrt{\pi\rho}} \exp(-\rho) \quad (3.3)$$

con

$$\rho = \frac{A^2}{2\sigma^2} \quad (3.4)$$

donde:

ρ : Relación señal a ruido

$A^2/2$: Potencia de la señal correspondiente al valor de cresta A .

σ^2 : Potencia de ruido (distribución gaussiana).

Para un sistema PSK M -ario los símbolos están colocados a intervalos fijos en una circunferencia de

radio A (amplitud de la señal) en el plano de fase como se muestra en la figura 3.4.

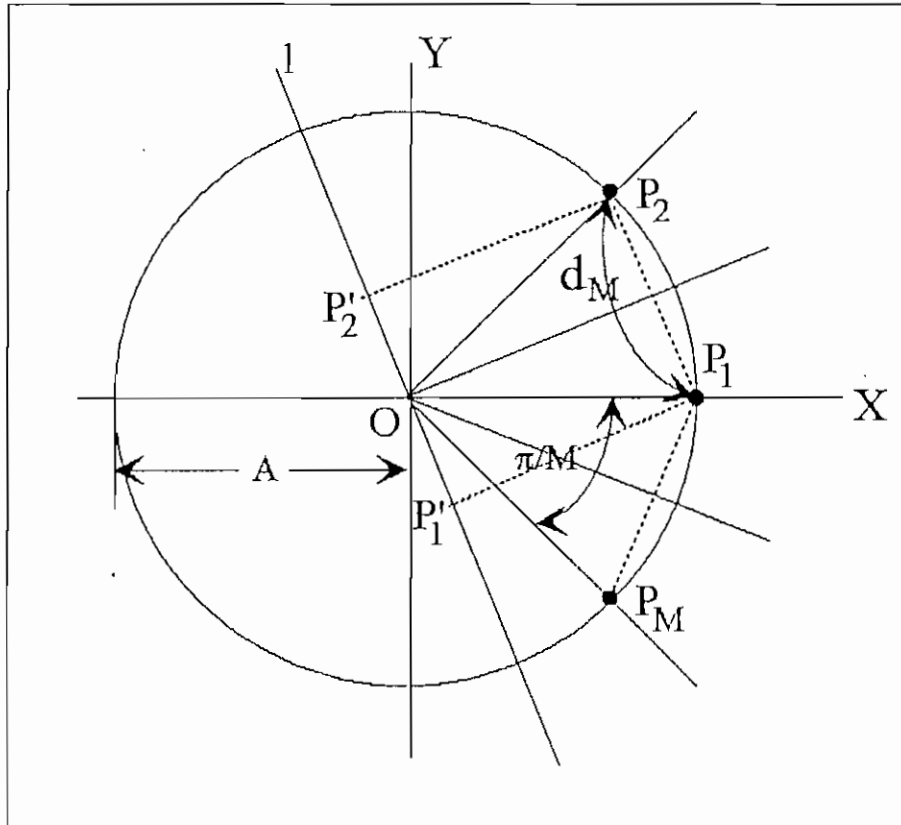


FIGURA 3.4 DIAGRAMA FASORIAL DE SEÑALES M-PSK

Si la S/N es grande, la tasa de errores del sistema depende de los errores entre los símbolos que están a la distancia más corta uno del otro. Para el símbolo P_1 basta lograr la tasa de errores relacionada con los símbolos P_2 y P_M que están adyacentes al P_1 . La distancia más corta d_M , es el largo de un lado del M -ésimo polígono equilátero:

$$d_M = 2 A \sin \left(\frac{\pi}{M} \right)$$

(3.5)

En el caso de que a la señal se añade un ruido gaussiano cuya distribución de fase es uniforme, para lograr una señal de salida del detector que hace máxima la distancia entre los del símbolos adyacentes ($P_1 P_2$) basta detectar la señal de entrada coherentemente utilizando una onda portadora de referencia cuya fase es paralela a la línea $P_1 P_2$.

La probabilidad p_{s1} de que el símbolo P_1 se tome erróneamente por P_2 se representa por³:

$$P_{s1} = \int_{d_M/2}^{\infty} \frac{1}{\sqrt{2\pi} \sigma} \exp \left(- \frac{x^2}{2 \sigma^2} \right) dx$$

(3.6)

De la ecuación (3.5) y (3.6) se tiene:

$$p_{s1} = \frac{1}{2} \operatorname{erfc} \left(\frac{d_M}{2 \sqrt{2} \sigma} \right) = \frac{1}{2} \operatorname{erfc} \left(\sqrt{\rho} \sin \frac{\pi}{M} \right)$$

(3.7)

La probabilidad de que el símbolo P_1 se tome por P_M , es el mismo resultado de la ecuación (3.7), pero en este caso, como onda portadora de referencia hay que seleccionar una onda cuya fase es paralela a la línea

³ TRANSMISION DIGITAL POR MICROONDA, IETEL, pag. 64.

$P_1 P_M$. Por tanto considerando que respecto a un símbolo existen dos símbolos que están simétricamente ubicados a ambos lados de él a la distancia más corta, utilizando la ecuación (3.7) la tasa de símbolos erróneos del sistema PSK M-ario se expresa por:

$$p_s \approx 2 p_{s1} = \text{erfc} \left(\sqrt{\rho} \sin \frac{\pi}{M} \right) \quad (M > 2) \tag{3.8}$$

3.1.1.4 SISTEMAS CON MODULACION QAM.

En sistemas QAM tanto la amplitud como la fase llevan información simultáneamente, sin embargo solamente la onda QAM de 16 niveles (16-QAM) o de más altos niveles satisface esta condición, la figura 3.5 muestra la asignación de los símbolos de una onda portadora recibida. La tasa de símbolos erróneos de la onda 16-QAM se logra mediante el mismo método de cálculo que en el caso de la onda PSK multivalente, siendo A la amplitud máxima de la señal recibida.

La distancia más corta entre los símbolos dados d se expresa por:

$$d = (\sqrt{2/3}) A \tag{3.9}$$

Por tanto la tasa de símbolos erróneos p_s que se

generan entre dos símbolos se representan por la siguiente ecuación aproximada⁴:

$$p_{e0} = \int_{d/2}^{\infty} \frac{1}{\sqrt{2\pi} \sigma} \exp\left(-\frac{x^2}{2\sigma^2}\right) dx = \frac{1}{2} \operatorname{erfc}\left(\frac{d}{2\sqrt{2}\sigma}\right) \quad (3.10)$$

$$p_{e0} = \frac{1}{2} \operatorname{erfc}\left(\frac{A}{6\sigma}\right) = \frac{1}{2} \operatorname{erfc}\left(\frac{1}{3} \sqrt{\frac{\rho}{2}}\right) \quad (3.11)$$

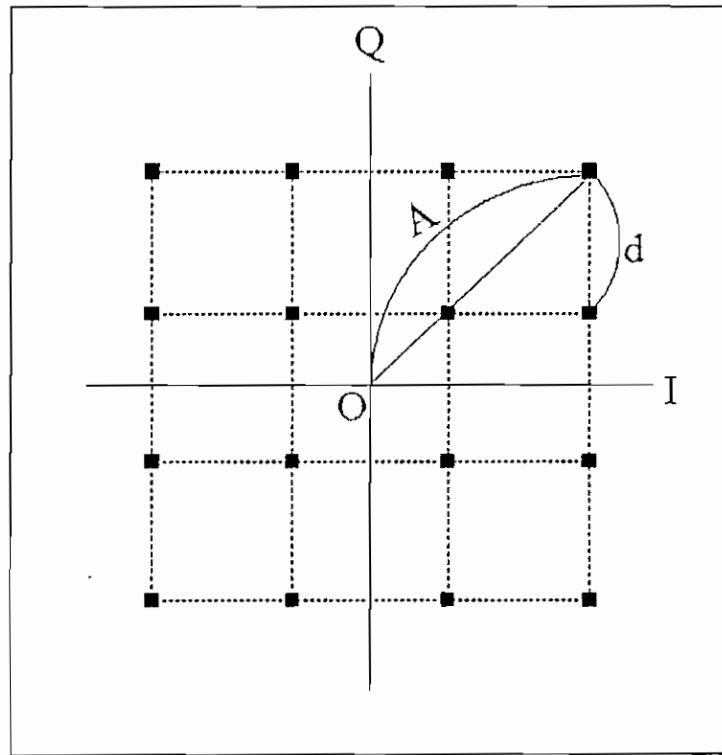


FIGURA 3.5 DIAGRAMA FASORIAL PARA LA SEÑAL 16-QAM

Como la onda 16-QAM toma tres niveles de amplitud, la

⁴ TRANSMISION DIGITAL POR MICROONDA, IETEL, pag. 72.

potencia media se expresa por:

$$\frac{1}{2} \left[\frac{1}{4} A^2 + \frac{1}{2} \left(\frac{\sqrt{5}}{3} \right)^2 A^2 + \frac{1}{4} \left(\frac{1}{3} \right)^2 A^2 \right] = \frac{5}{18} A^2 \quad (3.12)$$

entonces la relación señal a ruido para la potencia media obtenida con (3.12) se expresa por:

$$P_s = \frac{5 A^2}{18 \sigma^2} = \frac{5 d^2}{4 \sigma^2} = \frac{5}{9} \rho \quad (3.13)$$

Utilizando las ecuaciones (3.11) y (3.13) se tiene:

$$P_{e0} = \frac{1}{2} \operatorname{erfc} \left(\sqrt{\frac{P_s}{10}} \right) \quad (3.14)$$

Según la posición del símbolo defiere el número de símbolos que están a la distancia d desde el símbolo contemplado, por lo que varía la tasa de símbolos erróneos conforme a la posición del símbolo. La tasa de símbolos erróneos media p_e se expresa por:

$$P_e = \frac{1}{16} (4 * 2P_{e0} + 8 * 3P_{e0} + 4 * 4P_{e0}) = 3P_{e0} \quad (3.15)$$

Reemplazando la ecuación (3.11) en (3.15) se tiene:

$$P_e = \frac{3}{2} \operatorname{erfc} \left(\sqrt{\frac{P_s}{10}} \right) = \frac{3}{2} \operatorname{erfc} \left(\frac{1}{3} \sqrt{\frac{\rho}{2}} \right) \quad (3.16)$$

La 16-QAM es un método de modulación que se emplea ampliamente hoy en día en sistemas de radioenlace digitales de alta eficiencia. Igualmente en el caso de 64-QAM y la 256-QAM, en las cuales el número de los símbolos aumenta bastante en comparación con el aumento de la información a transmitirse.

En cuanto a la señal QAM M-ario que tiene asignación de símbolo reticular como se muestra en la figura 3.6,

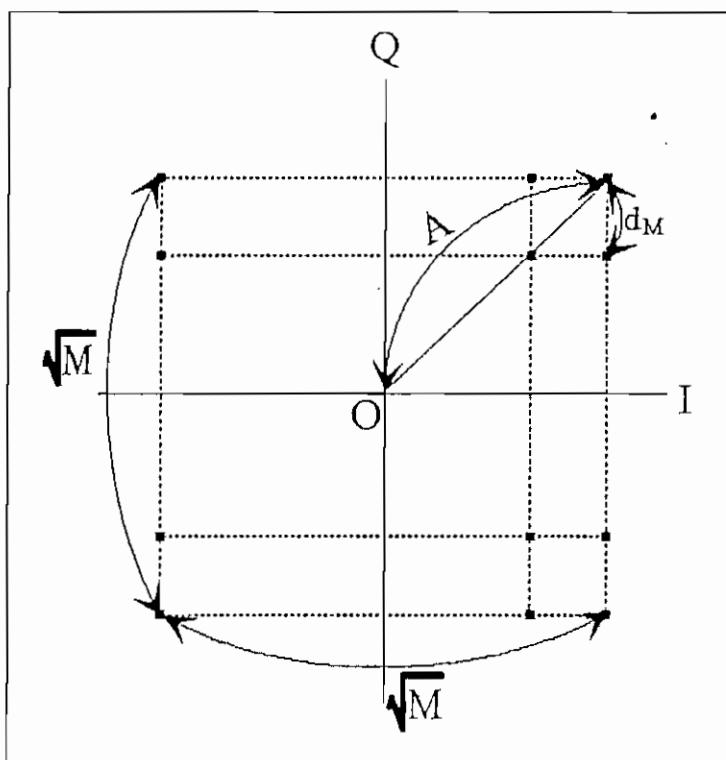


FIGURA 3.6 DIAGRAMA FASORIAL DE SEÑALES M-QAM

la distancia más corta entre dos símbolos d_M se expresa por:

$$d_M = \frac{\sqrt{2} A}{\sqrt{M} - 1}$$

(3.17)

$$P_{s0} = \frac{1}{2} \operatorname{erfc} \left[\frac{\sqrt{2} p}{2(\sqrt{M} - 1)} \right]$$

(3.18)

Existe tres tipos de probabilidades p_{s0} , por lo que:

$$P_s = \frac{1}{M} (4 * 2P_{s0} + 4 * (\sqrt{M} - 2) * 3P_{s0} + (\sqrt{M} - 2)^2 * 4P_{s0})$$

(3.19)

Obteniéndose:

$$P_s = \frac{4(\sqrt{M} - 1)}{\sqrt{M}} P_{s0}$$

(3.20)

La calidad de transmisión de un radioenlace debe apreciarse por medio de la tasa de errores respecto a trenes de impulsos bivalentes (BER), por tanto hay que examinar la relación entre la tasa de símbolos erróneos y la BER.

En caso de que m -trenes de impulsos bivalentes se transmiten por utilizando códigos de M -símbolos donde $M = 2^m$, una de las m -combinaciones de "1" y "0" representa un símbolo, lo que significa que un símbolo tiene la información de m -bits. Si un símbolo sufre

error, el número de errores que se generan en los trenes de impulsos bivalentes después de la demodulación oscila entre 1 y m .

Para el caso general de señalización M -aria, la probabilidad de tomar una decisión incorrecta se ha denominado probabilidad de error en los símbolos, o sencillamente p_s . A menudo es conveniente especificar el rendimiento de los sistemas por medio de la probabilidad de error en los bits p , incluso cuando las decisiones se tomen con base en los símbolos para los cuales $m > 1$. Para señales ortogonales, p_s y p están relacionadas como sigue:

$$p = \frac{2^{m-1}}{2^m - 1} p_s$$

(3.21)

Para esquemas no ortogonales tales como la señalización M -PSK, suele utilizarse una codificación de binario a M -ario tal que las sucesiones binarias correspondientes a símbolos adyacentes (defasamientos) difieran sólo en una posición de bit; uno de tales códigos es el de Gray.

Cuando ocurre un error M -ario en los símbolos, es más probable que solamente uno de los m bits de entrada este equivocado.

Para tales señales:

$$p = \frac{P_s}{\log_2 M} = \frac{1}{m} P_s \quad \text{para } P_s < 1$$

(3.22)

Los símbolos Gray son los que hacen mínima la BER y se emplean ampliamente en transmisión digital por microondas.

En la PSK M-ario existen varios métodos en cuanto a la correspondencia entre fases de onda portadora y símbolos.

Los más representativos son los símbolos binarios naturales y los símbolos de Gray. Una correspondencia entre símbolos y fases se muestra en la tabla 3.1.

Para el caso en que se comparan dos símbolos cuyas fases correspondientes están adyacentes una a otra en una circunferencia, en cuanto a los símbolos binarios naturales existen algunos casos en que más de dos bits son distintos entre dos símbolos adyacentes.

Por otra parte en cuanto a los símbolos de Gray sólo un bit es distinto entre cualesquier dos símbolos adyacente.

Es decir para una tasas de símbolos erróneos dada, la asignación de fases conforme a los símbolos de Gray realiza la tasa de bits erróneos menor que la conforme a los símbolos binarios naturales.

TABLA 3.1 CORRESPONDENCIA ENTRE FASE Y SIMBOLO BINARIO NATURAL Y SIMBOLO DE GRAY MODULACION 8-PSK.

fase	Símbolo bin. natural			Símbolo de Gray		
	tren 1	tren 2	tren 3	tren 1	tren 2	tren 3
0	0	0	0	0	0	0
$\pi/4$	0	0	1	0	0	1
$\pi/2$	0	1	0	0	1	1
$3\pi/4$	0	1	1	0	1	0
π	1	0	0	1	1	0
$5\pi/4$	1	0	1	1	1	1
$3\pi/2$	1	1	0	1	0	1
$7\pi/4$	1	1	1	1	0	0

Para el sistema QAM, también se satisface la condición de Gray, es decir, entre cualesquier par de símbolos adyacentes (a la distancia más corta) sólo un bit es distinto, figuras 3.7 y 3.8.

		Q			
01	11	01	11		
	01		11		
00	10	00	10		
				I	
01	11	01	11		
	00		10		
00	10	00	10		

FIGURA 3.7 CODIGO POR ASIGNACION BINARIA, 16-QAM.

		Q			
00	10	10	00		
	01		11		
01	11	11	01		
				I	
01	11	11	01		
	00		10		
00	10	10	00		

FIGURA 3.8 CODIGO POR ASIGNACION DE GRAY, 16-QAM.

3.1.2 RELACION ENTRE LA BER Y LA POTENCIA DE TRANSMISION.

Al evaluar el rendimiento de un sistema la cantidad más importante no es la potencia recibida P_r , sino la relación señal a ruido SNR . Esto se debe a que la restricción fundamental del sistema es la capacidad de detectar la señal, con una probabilidad de error en los bits p aceptable, en presencia de ruido. El valor de cresta de la envolvente de señal queda mantenido casi igual a la amplitud de la onda no modulada aunque una parte de la potencia de las ondas laterales incluidas en la señal se pierde debido al filtro de pasabanda, por lo cual se puede considerar que la relación señal a ruido expresada en la ecuación (3.4) es igual a la relación portadora a ruido, se habla de una razón de potencia sobre ruido de la portadora (C/N o CNR), como la S/N (P_r/N) de interés particular.

$$\frac{P_r}{N} = \frac{EIRP (G_r/T_e)}{L_p L_{o\alpha} L_{o1} K B}$$

(3.23)

Como se trata de valores teóricos, los valores reales medidos son algunos dB. mayores. En realidad la diferencia entre el valor teórico C/N para una BER determinada y el valor de C/N medido es, la figura de ruido NF de receptor.

En sistemas analógicos, el ancho de banda del ruido suele ser mayor que el de la señal, y P_r/N es el parámetro principal para medir la detectabilidad de la señal y la calidad del funcionamiento. Sin embargo, en los receptores digitales suelen utilizarse correlacionadores o filtros de acoplamiento (compensación) en los que el ancho de banda de la señal y la del ruido se consideran iguales. En vez de considerar la potencia del ruido de entrada, un planteamiento común para los enlaces digitales es sustituir la potencia del ruido por la densidad del ruido ya que la potencia de ruido $N = N_0B$, donde B es el ancho de banda equivalente de ruido; de la ecuación (3.23) se obtiene:

$$\frac{P_r}{N_0} = \frac{EIRP (G_r/T_e)}{L_p L_{o\theta} L_{o1} K}$$

(3.24)

Considerando las ecuaciones anotadas en el punto 3.1.1 de este capítulo, el parámetro ρ correspondiente a la relación señal a ruido SNR (P_r/N) expresado en la ecuación (3.23), son posibles de obtener las siguientes relaciones:

$$\rho = \frac{S}{N} = \frac{P_r}{N} = \frac{P_r}{N_0 B} = \left(\frac{E_b}{N_0} \right) \left(\frac{R_b}{B} \right)$$

(3.25)

donde:

- P_r : Potencia de la señal recibida en la entrada del detector.
- N_0 : Densidad espectral de ruido.
- S : Potencia promedio de la señal de modulación.
- N : Potencia de ruido.
- R_b : Velocidad de transferencia de datos.
- B : Ancho de banda de la señal

Como se puede analizar en el capítulo 1 (punto 1.4), para sistemas de radioenlaces digitales, la relación E_b/N_0 a más de otros parámetros, depende en forma directa de la potencia de transmisión P_t por medio del $EIRP = P_t G_t$.

3.1.3 INTERPRETACION DE RESULTADOS.

La señalización M -aria se describió como un esquema de modulación o codificación que procesa m bits a la vez. El sistema dirige al modulador para que elija uno de sus $M = 2^m$ ondas de forma para cada sucesión de m bits, donde M es el tamaño de conjunto de símbolos y m es el número de dígitos binarios que representa cada

símbolo. La señalización M -aria sola, para el caso en que $m > 1$, puede considerarse un procedimiento de codificación de la onda de forma que afecta el rendimiento del sistema.

Para los sistemas con modulación M -PSK se puede obtener la probabilidad de error en los bits p en función de la relación E_b/N_0 ; considerando las ecuaciones (3.2), (3.22), (3.24) y (3.25), las ecuaciones (3.3) y (3.8) toman las siguientes formas:

a) Para modulación B-PSK.

$$p = \frac{\frac{1}{2} \exp \left[- \left(\frac{E_b}{N_0} \right) \left(\frac{R_b}{B} \right) \right]}{\sqrt{\pi \left(\frac{E_b}{N_0} \right) \left(\frac{R_b}{B} \right)}}$$

(3.26)

b) Para modulación M -PSK, con $M > 2$.

$$p = \frac{\frac{1}{m} \exp \left[- \left(\frac{E_b}{N_0} \right) \left(\frac{R_b}{B} \right) \sin^2 \left(\frac{\pi}{M} \right) \right]}{\sqrt{\pi \left(\frac{E_b}{N_0} \right) \left(\frac{R_b}{B} \right) \sin \left(\frac{\pi}{M} \right)}}$$

(3.27)

De igual manera, para sistemas con modulación M -QAM se puede obtener p en función de la relación E_b/N_0 a

partir de las ecuaciones (3.16) y (3.20) pero en este caso se utiliza la ecuación (3.21) en lugar de la (3.22), se tiene:

a) Para modulación 16-QAM.

$$p = \frac{9 \left(\frac{2^{m-1}}{2^m - 1} \right)}{\sqrt{2 \pi \left(\frac{E_b}{N_0} \right) \left(\frac{R_b}{B} \right)}} \exp \left[\frac{- (E_b/N_0) (R_b/B)}{18} \right] \quad (3.28)$$

b) Para modulación M-QAM, con $M > 16$.

$$p = \frac{4 (\sqrt{M} - 1)^2 \left(\frac{2^{m-1}}{2^m - 1} \right)}{\sqrt{2 M \pi \left(\frac{E_b}{N_0} \right) \left(\frac{R_b}{B} \right)}} \exp \left[\frac{- (E_b/N_0) (R_b/B)}{2 (\sqrt{M} - 1)^2} \right] \quad (3.29)$$

Las señales ortogonales manifiestan una p mejorada a expensas del ancho de banda a medida que m aumenta; las señales no ortogonales manifiestan eficiencia de ancho de banda mejorada (R_b/B) a expensas de la potencia o del rendimiento de p . La relación R_b/B se mide en bits por segundo por hertz (bits/seg/Hz); para la señalización binaria, el valor típico de la eficiencia de ancho de banda es aproximadamente 1 bit/seg/Hz. Sin embargo, los sistemas de manipulación por desplazamiento de fases múltiples (M-PSK) y de

modulación de amplitud en cuadratura (QAM) a menudo presentan eficiencias de ancho de banda de 3 bits/seg/Hz o más.

Utilizando las ecuaciones (3.26), (3.27), (3.28) y (3.29) se realizan las figuras 3.9 y 3.10 en las que se presenta la variación de p (BER) en función de la relación señal a ruido (S/N o ρ), ecuación (3.25), para varios valores de M en las modulaciones M -arias de PSK y QAM respectivamente. Sistemas no codificados.

En la figura 3.9 se muestran las curvas de las tasas de bits erróneos para varios valores de niveles en cuanto a la detección coherente M -PSK, mientras que la figura 3.10 presenta las curvas para M -QAM. Según se aumenta el número de niveles aumenta también la S/N requerida para lograr una tasa de errores dada. Sin embargo también aumenta la magnitud de información contenida en un símbolo, por tanto en caso de que la velocidad de información es fija, la modulación multivalente requiere de menor velocidad de transmisión de símbolos que la bivalente. La velocidad de transmisión de símbolos es uno de los parámetros que deciden la forma de la envolvente de espectro de la onda portadora.

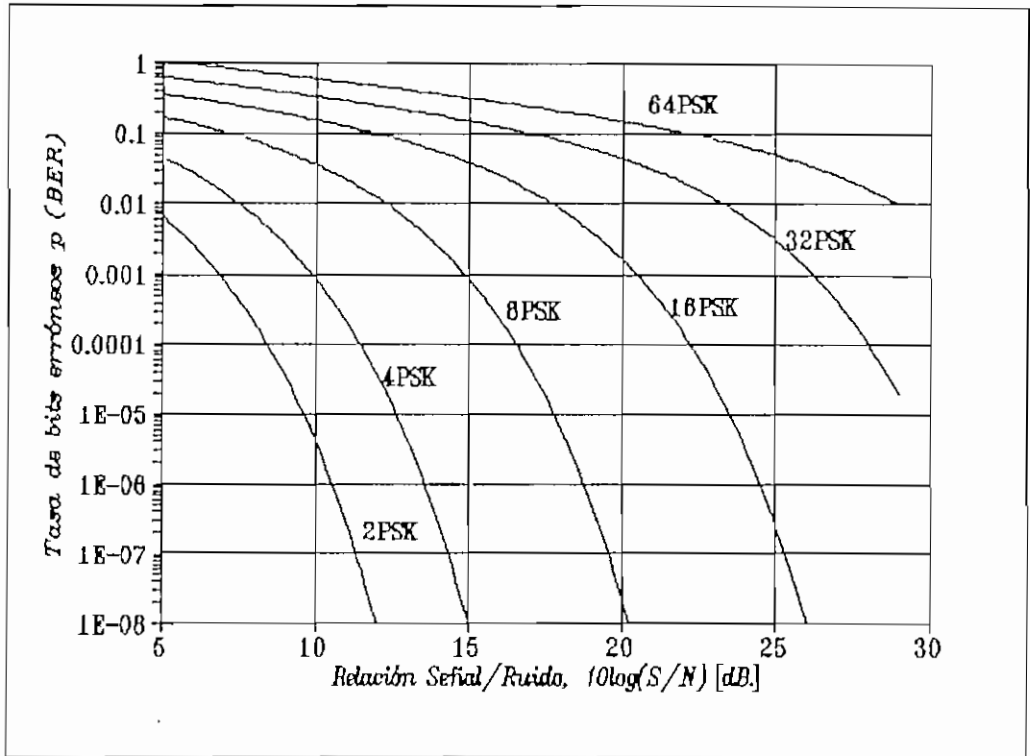


FIGURA 3.9 TASA DE BITS ERRONEOS PARA DIVERSOS MODOS DE DETECCION COHERENTE PSK (ANCHURA DE BANDA ES CONSTANTE).

Se puede apreciar en la figura 3.9 que si se tiene una BER = 10⁻³, para mejorarla a un valor de BER = 10⁻⁶ es necesario realizar un incremento en la relación señal a ruido S/N. La tabla 3.2 resume el valor a incrementarse en la relación S/N para mejorar la BER desde el valor que correspondiente a la BER = 10⁻³ al valor que corresponde a la BER = 10⁻⁶ para los sistemas no codificados M-PSK y M-QAM.

TABLA 3.2 INCREMENTO A LA S/N PARA VARIAR LA BER DE 10^{-3} A 10^{-6} .

Tipo de modulación	Incremento de la S/N
M-PSK	5.5 dB.
M-QAM	5.0 dB.

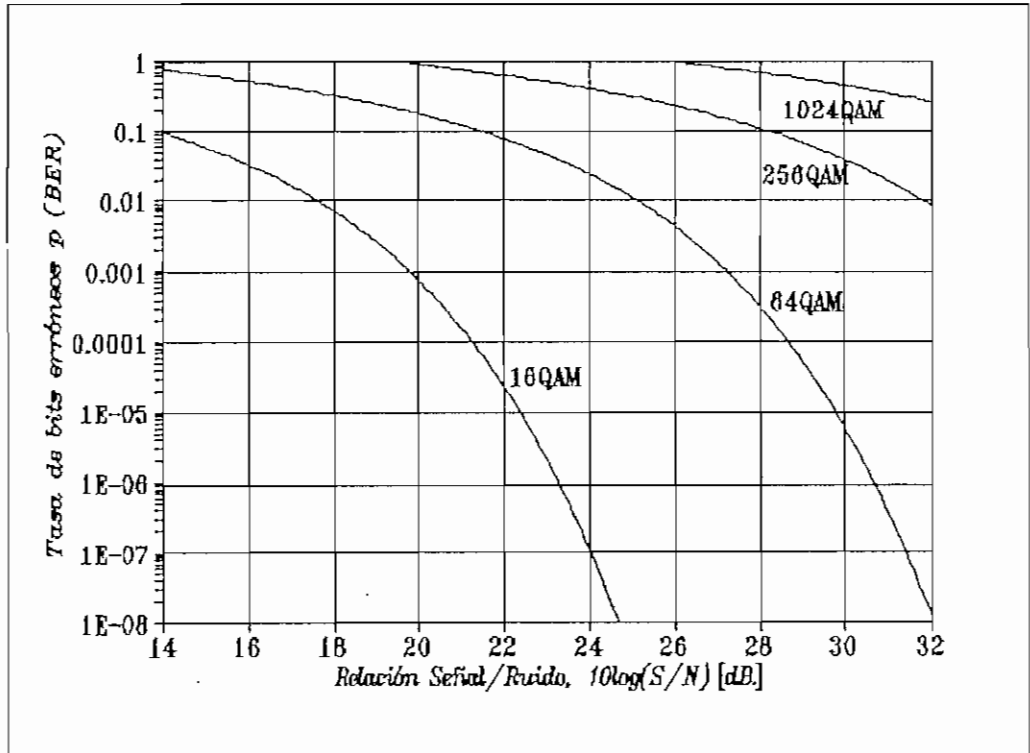


FIGURA 3.10 TASA DE BITS ERRONEOS PARA DIVERSOS MODOS DE DETECCIÓN COHERENTE QAM (ANCHURA DE BANDA ES CONSTANTE).

Para esta variación de la BER, se tiene un incremento

3.2 RELACION ENTRE LA BER, BITS DE PARIDAD DE LOS CODIGOS BLOQUE LINEALES Y POTENCIA DE TRANSMISION.

Si analizamos las ecuaciones presentadas en el punto 1.4 del capítulo 1, las ecuaciones del punto 2.3 del capítulo 2 y las ecuaciones presentadas en el punto 3.1.3 de este capítulo, podemos darnos cuenta que existen varios parámetros que pueden ser variados para obtener mejoras en el radioenlace.

La figura 3.11 presenta un enlace de comunicaciones, en el que se puede apreciar la localización de los diferentes parámetros que se han estado estudiando. La obtención de cada uno de ellos ha sido plenamente determinado con las respectivas ecuaciones que ya están presentadas. Por el objetivo de este trabajo, consideraremos variables únicamente a los siguientes parámetros:

- k : Longitud de la palabra mensaje a ser codificada con los códigos bloque lineales.
- n : Longitud de la palabra código, de los códigos bloque lineales.
- p : Probabilidad de error en los bits (valor teórico de la BER).
- P_t : Potencia de transmisión.

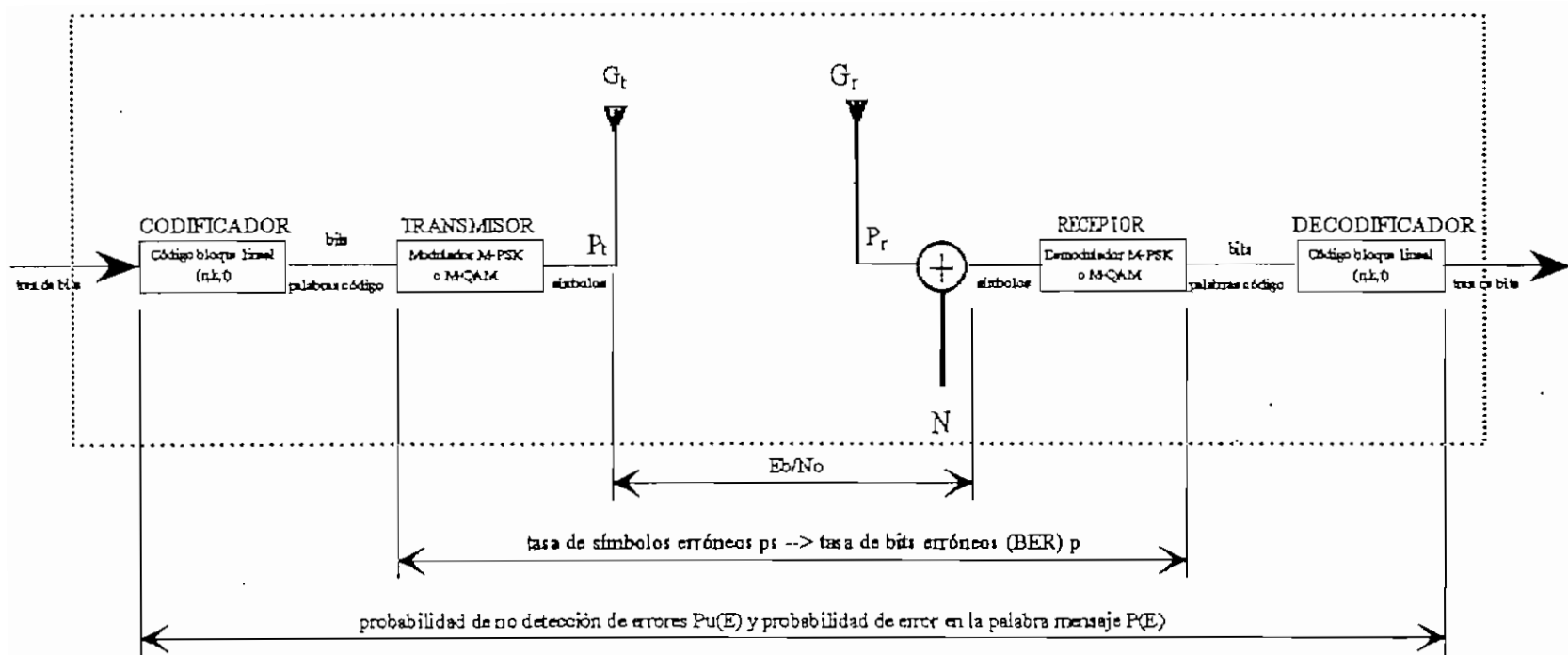


FIGURA 3.11 MODELO SIMPLIFICADO DE UN ENLACE DE COMUNICACIONES

Mientras que los demás parámetros los consideraremos fijos. También se considerará los resultados para las modulaciones 4-PSK, 8-PSK, 16-PSK, 16-QAM, 64-QAM que son los tipos de modulación más utilizados en la práctica; ya que teóricamente se puede tener una gran variedad de modulación M-aria.

En el punto 2.3 del capítulo 2, se realiza un análisis de la relación de la BER con los parámetros n y k de los códigos bloque lineales para el caso de una modulación B-PSK. Se indica que al utilizar un código bloque lineal, la relación E_b/N_0 varía con respecto al sistema no codificado en un factor k/n .

Este mismo criterio podemos utilizar para los sistemas con modulación M-arios. De las ecuaciones (3.24) y (3.25) podemos obtener la relación E_b/N_0 como se indica a continuación:

$$\frac{E_b}{N_0} = \frac{P_r}{R_b N_0}$$

(3.30)

En el sistema codificado el factor k/n incide inversamente en la velocidad de transmisión de los bits R_b . Teniendo en cuenta que $n > k$, la velocidad de transmisión de los bits aumentaría en un factor n/k .

Se debe tener presente que en las ecuaciones indicadas en el punto 3.1.3 de este capítulo, la relación E_b/N_0 se refiere al caso no codificado.

Utilizando las ecuaciones (3.27) para M -PSK y (3.29) para M -QAM, para sistemas codificados se obtienen las siguientes ecuaciones:

a) Para sistemas con modulación M -PSK, $M > 2$.

$$p = \frac{\frac{1}{m} \exp \left[- \left(\frac{k}{n} \right) \left(\frac{E_b}{N_0} \right) \left(\frac{R_b}{B} \right) \sin^2 \left(\frac{\pi}{M} \right) \right]}{\sqrt{\pi \left(\frac{k}{n} \right) \left(\frac{E_b}{N_0} \right) \left(\frac{R_b}{B} \right) \sin \left(\frac{\pi}{M} \right)}} \quad (3.31)$$

b) Para sistemas con modulación M -QAM, $M \geq 16$.

$$p = \frac{4 (\sqrt{M} - 1)^2 \left(\frac{2^{M-1}}{2^M - 1} \right)}{\sqrt{2 M \pi \left(\frac{k}{n} \right) \left(\frac{E_b}{N_0} \right) \left(\frac{R_b}{B} \right)}} \exp \left[\frac{- \left(\frac{k}{n} \right) \left(\frac{E_b}{N_0} \right) \left(\frac{R_b}{B} \right)}{2 (\sqrt{M} - 1)^2} \right] \quad (3.32)$$

Utilizando las ecuaciones (3.25) y (3.31) se obtienen las figuras 3.12, 3.13 y 3.14 en las que se presenta la variación de p (BER) en función de la relación S/N , utilizando codigos bloque lineales que corrigen un

solo error ($t = 1$), en sistemas que tienen modulación 4-PSK, 8-PSK y 16-PSK respectivamente.

Si comparamos la figura 3.9, que presenta curvas de la probabilidad de error en los bits (BER) para sistemas no codificados en función de la relación S/N para modulación M -PSK, con las figuras 3.12, 3.13 y 3.14 que son la misma clase de curvas pero para sistemas codificado; se puede ver que en los sistemas codificados, en sus respectivo tipo de modulación, la probabilidad de error en los bits se degenera ya que para los mismos valores de S/N la BER aumenta. Esto se debe a que la velocidad de transmisión de los bits a

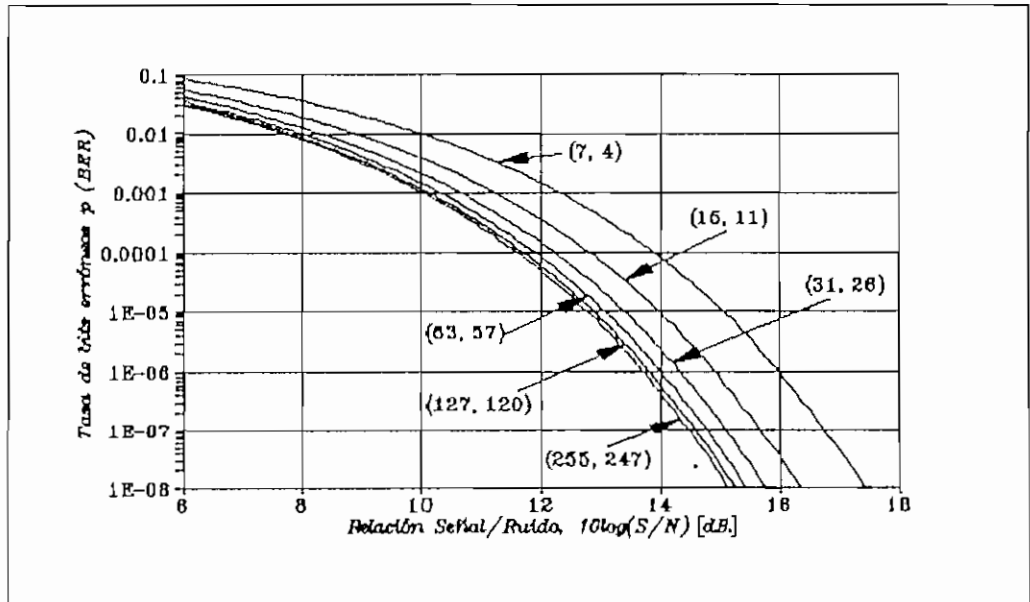


FIGURA 3.12 BER vs. S/N PARA 4-PSK.

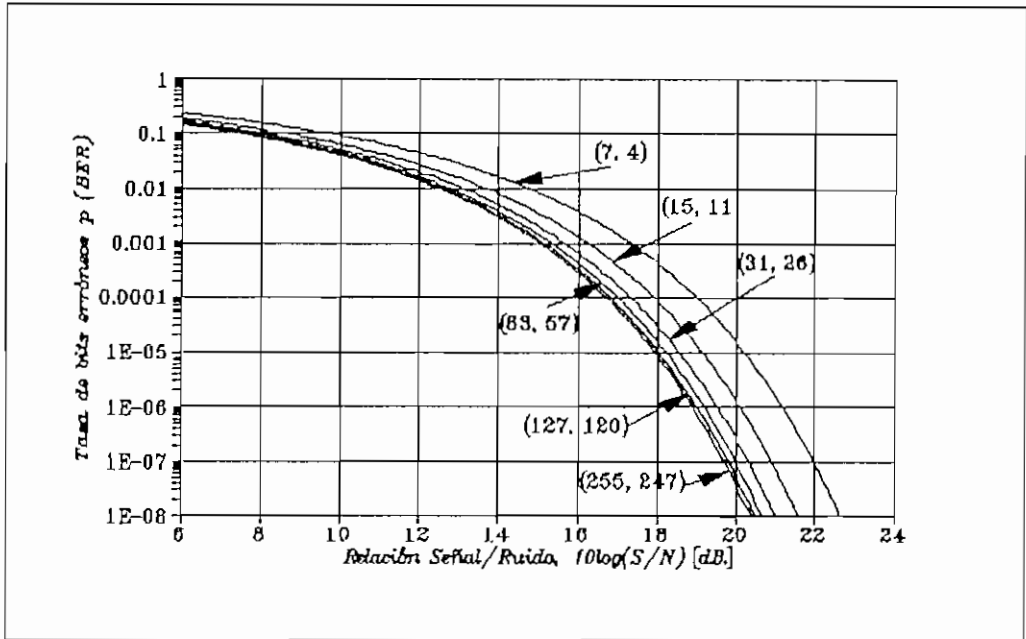


FIGURA 3.13 BER vs. S/N PARA 8-PSK.

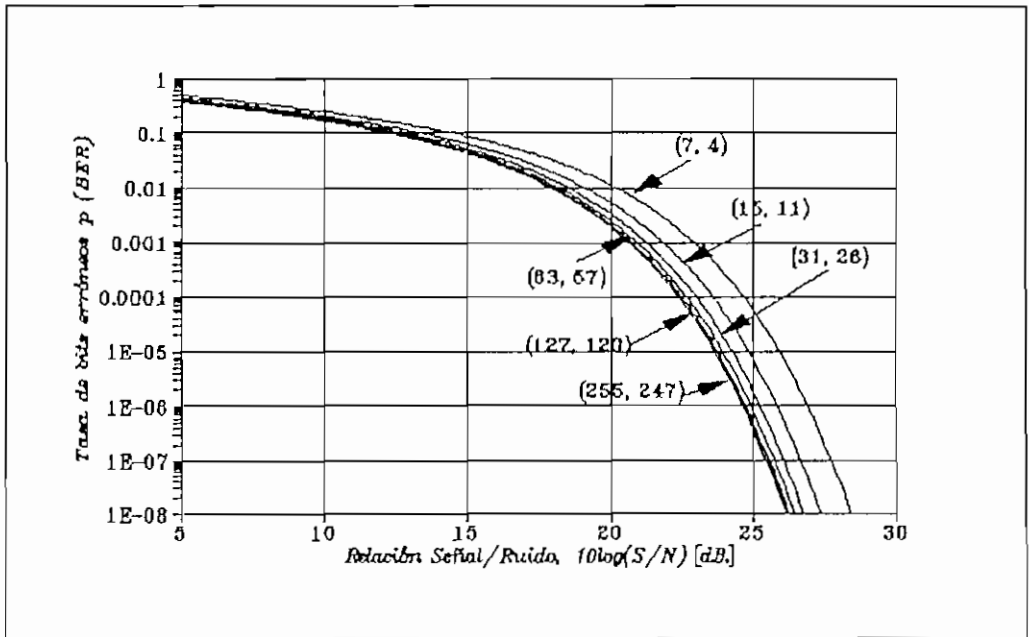


FIGURA 3.14 BER vs. S/N PARA 16-PSK.

variado en un factor n/k para los sistemas codificados, debe ser posible detectar más bits en el mismo intervalo y con la misma potencia disponible. Es por eso que para sistemas codificados se debe realizar el análisis con la probabilidad de error en el mensaje (bits de información) $P(E)$, que será equivalente a la *BER-Información* (*BER* de los bits de información).

Considerando únicamente la variación de la Potencia de transmisión P_t (por lo tanto S/N) se puede apreciar, en las curvas de las figuras 3.12, 3.13 y 3.14 para modulación 4, 8 y 16-PSK respectivamente, que el valor del incremento de la S/N es igual que para los sistemas no codificados y además es independiente del código bloque lineal utilizado y del número de niveles de la modulación, para obtener una mejora de la *BER* de 10^{-3} a 10^{-6} . Es decir, el incremento es 5.5 dB.

Para sistemas codificados con modulaciones 16-QAM y 64-QAM se tiene las figuras 3.15 y 3.16 respectivamente, obtenidas con las ecuaciones (3.25) y (3.32). En ellas se presentan curvas que relacionan la *BER* con S/N utilizando códigos bloque lineales que corrigen un solo error ($t = 1$). Si comparamos estas figuras con la figura 3.10, se tiene la misma conclusión que para la modulación M -PSK. Es decir, hay

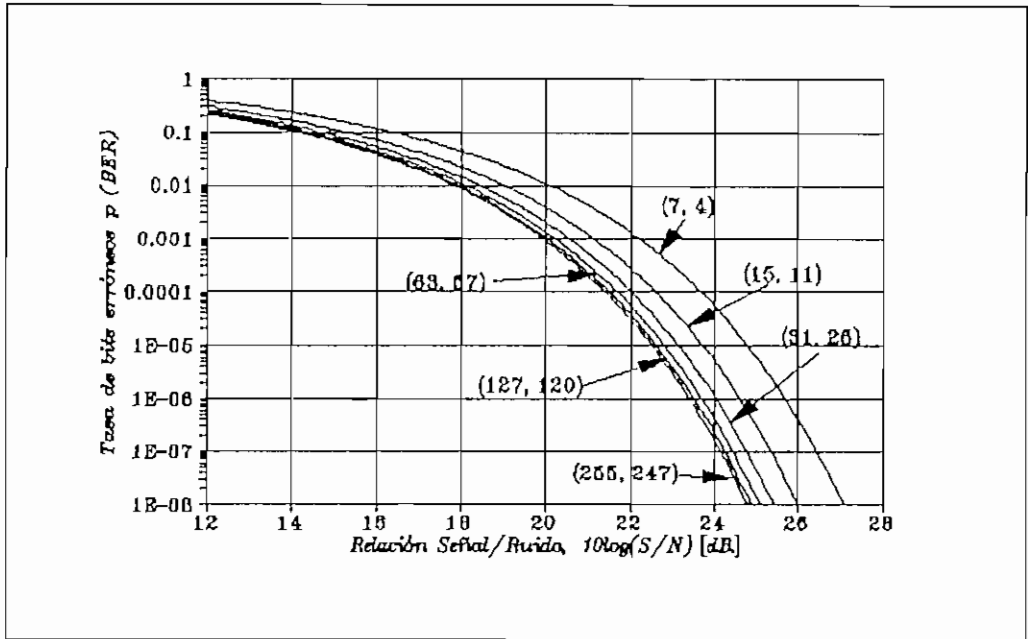


FIGURA 3.15 BER vs. S/N PARA 16-QAM.

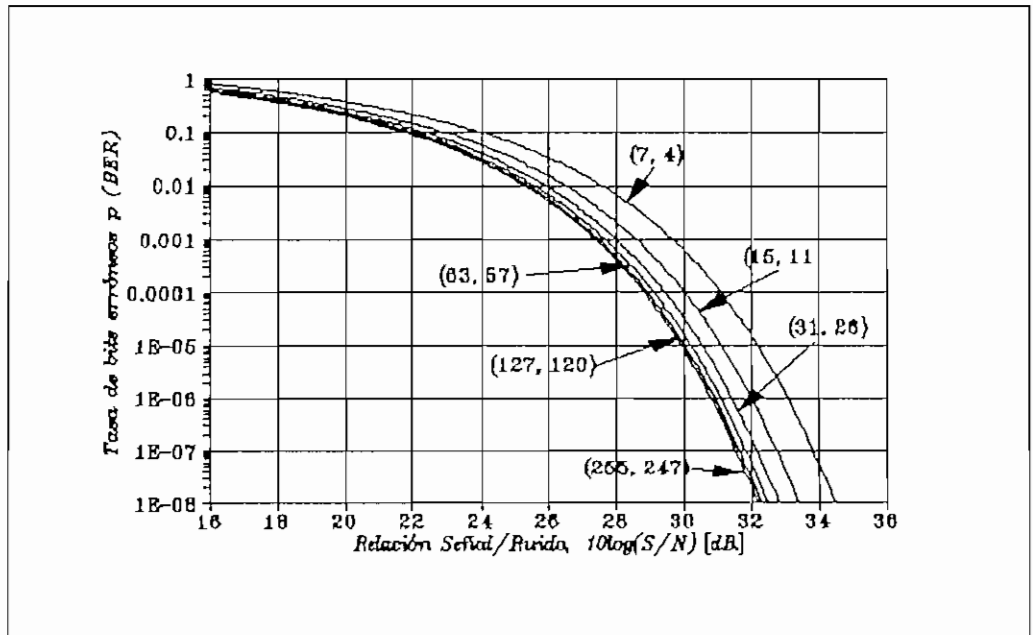


FIGURA 3.16 BER vs. S/N PARA 64-QAM.

una degradación en el valor de p debido al incremento de la velocidad de transmisión de los bits.

Realizando las mismas consideraciones hechas para los sistemas codificados M -PSK, se tiene que para los sistemas codificados M -QAM, de las figuras 3.15 y 3.16 de las modulaciones 16 y 64-QAM respectivamente, el valor que se incrementa a la relación S/N para obtener una mejora de la BER de 10^{-3} a 10^{-6} es igual al valor obtenido en los sistemas no codificados, es decir es de 5.0 dB. Este valor es independiente del código bloque lineal utilizado y del número de niveles de la modulación. En las figuras 3.15 y 3.16 se puede apreciar este valor, para la variación de la BER.

La mejora del rendimiento debido a la codificación se presenta a la salida del decodificador (si es un sistema codificado) o a la salida del receptor (si es un sistema no codificado). Por lo que para sistemas codificados es necesario calcular la probabilidad de error en la palabra mensaje $P(E)$ (BER-Información) y la probabilidad de no detección de errores $P_u(E)$.

La parte encerrada con línea segmentada en la figura 3.11, representará el canal binario simétrico, al cual ingresa un tren de bits (1's y 0's), internamente son

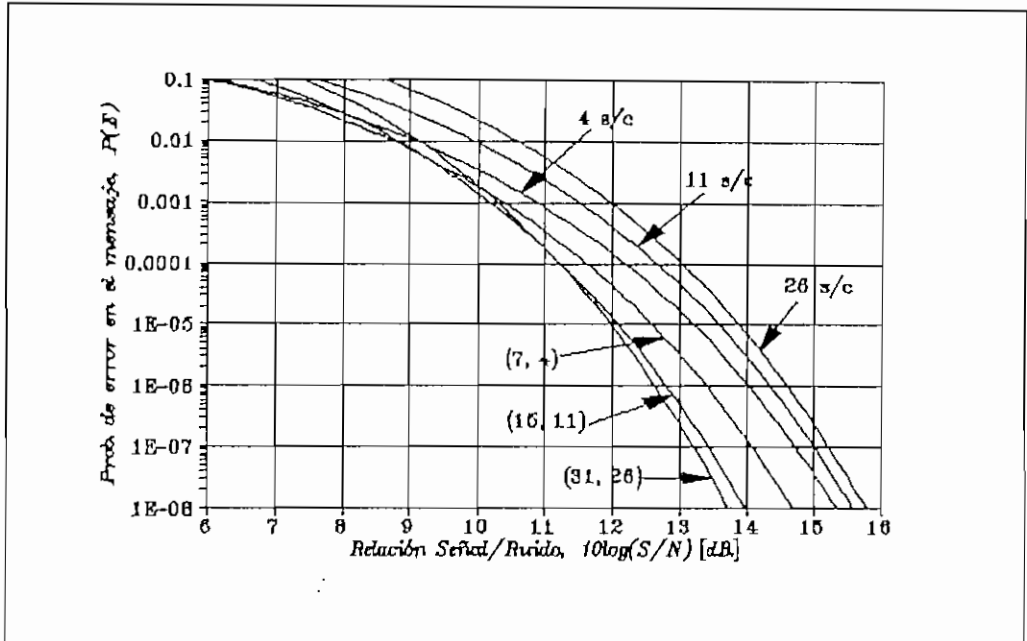


FIGURA 3.17 $P(E)$ vs. S/N PARA 4-PSK.

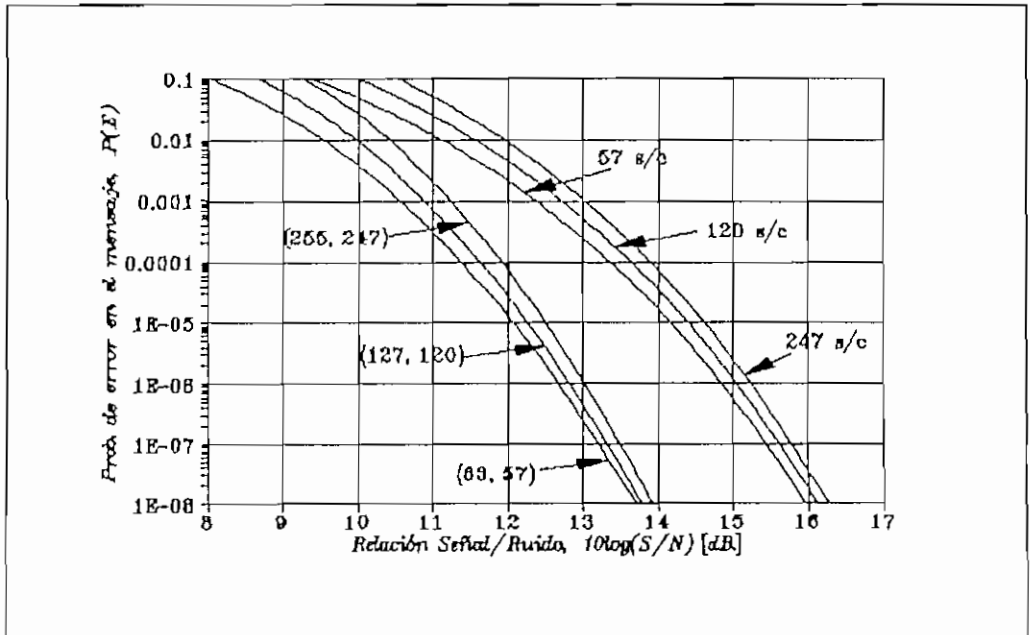


FIGURA 3.18 $P(E)$ vs. S/N PARA 4-PSK.

agrupado en palabras mensaje de k bits los cuales son enviados primero al codificador y luego al transmisor (en el caso de sistemas codificados) o directamente al transmisor (en el caso no codificado). Es decir que a la salida del canal obtendremos el tren de bits en grupos de k bits. La probabilidad de transición de este canal es la probabilidad de error en los bit (tasa de bits erróneos) p .

Las figuras 3.17 y 3.18 presentan curvas de la probabilidad de error en la palabra mensaje $P(E)$ respecto a la relación S/N , para los sistemas codificados y no codificados que utilizan modulación 4-PSK. Los sistemas codificados utilizan los códigos bloque lineales que corrigen un solo error ($t = 1$).

Cualquiera que sea el tipo de sistema, codificado o no codificado, al transmisor ingresa un tren de bits. Para comparar la $P(E)$ en los dos sistemas se considerará que al canal ingresan en grupos de k bits.

Por ejemplo, si tenemos una $P(E) = 10^{-4}$ enviando palabras mensaje de 26 bits y se desea disminuir este valor manteniendo constante los demás parámetros del enlace como la $S/N = 13$ dB., si utilizamos el código bloque lineal (31,26) que corrige un solo error, se

puede apreciar que la se obtiene una disminución considerable, $P(E) = 2 \cdot 10^{-7}$. Figura 3.17.

La figura 3.17 presenta curvas para valores de k de 4, 11 y 26 bits y la figura 3.18 para 57, 120 y 247 bits.

Las figuras 3.19 y 3.20 presenta las curvas para modulación 8-PSK y las figuras 3.21 y 3.22 para modulación 16-PSK, tanto para sistemas codificados como para no codificados de la probabilidad de error en la palabra mensaje $P(E)$ en función de la relación S/N . Se presenta curvas para diferentes longitudes de la palabra mensaje k . Las siglas s/c representan a los sistemas no codificados.

Para el otro sistema de modulación (M -ario), se tiene las figuras 3.23 y 3.24 para la modulación 16-QAM y las figuras 3.25 y 3.26 para la modulación 64-QAM.

Todas las curvas presentadas de $P(E)$, tanto para sistemas codificados como para los no codificados, respecto de la relación S/N son obtenidas previo el cálculo de la tasa de bits erróneos p (indicado en el punto 3.1.3 de este capítulo). El respectivo valor de p se aplica a la ecuación (2.20) para el caso no codificado o a la (2.23) para el caso codificado.

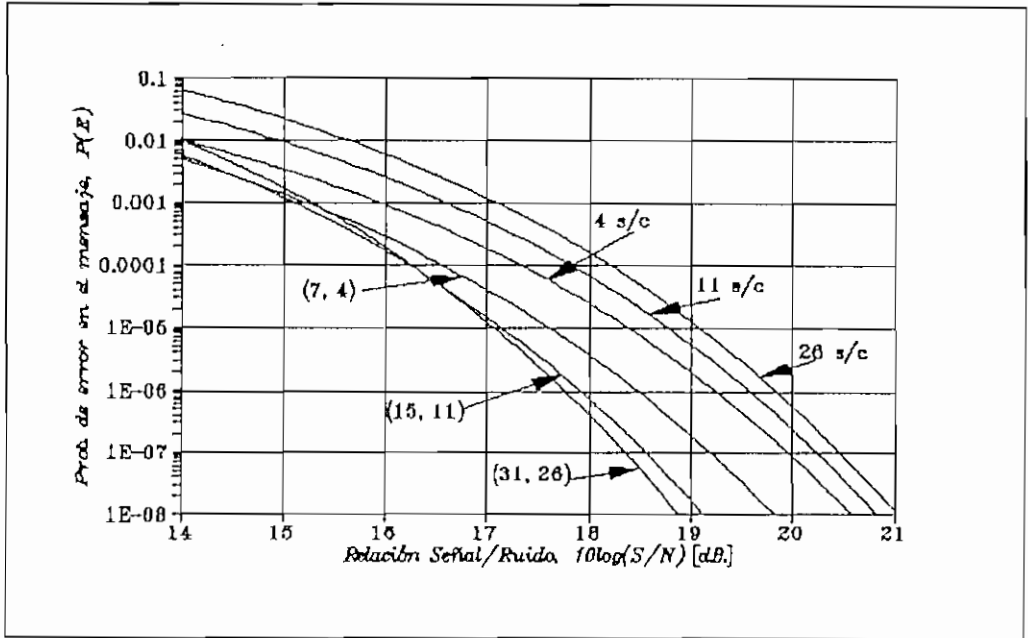


FIGURA 3.19 $P(E)$ vs. S/N PARA 8-PSK.

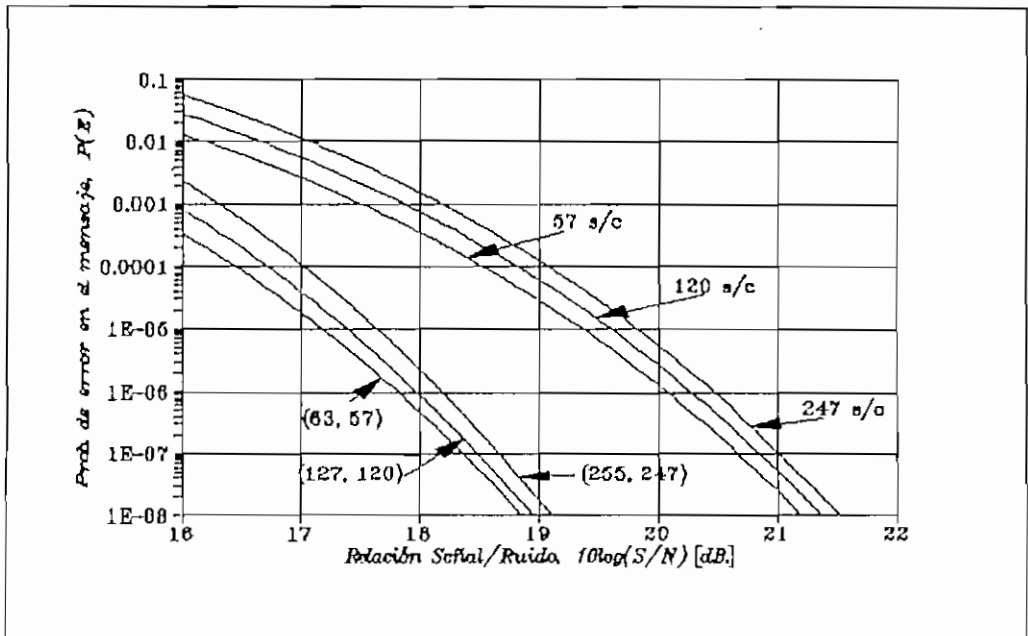


FIGURA 3.20 $P(E)$ vs. S/N PARA 8-PSK.

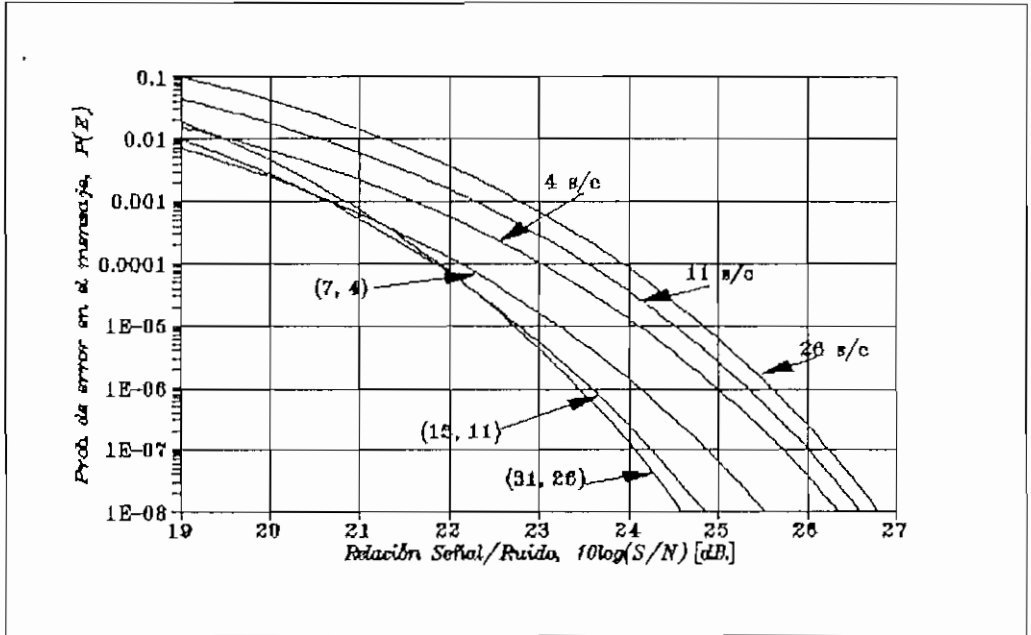


FIGURA 3.21 $P(E)$ vs. S/N PARA 16-PSK.

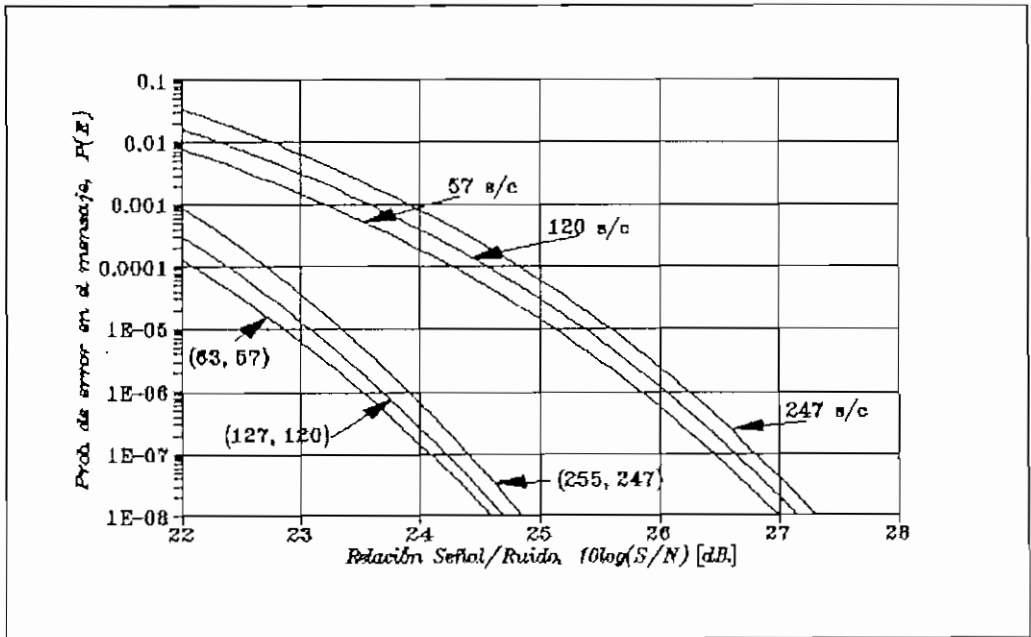


FIGURA 3.22 $P(E)$ vs. S/N PARA 16-PSK.

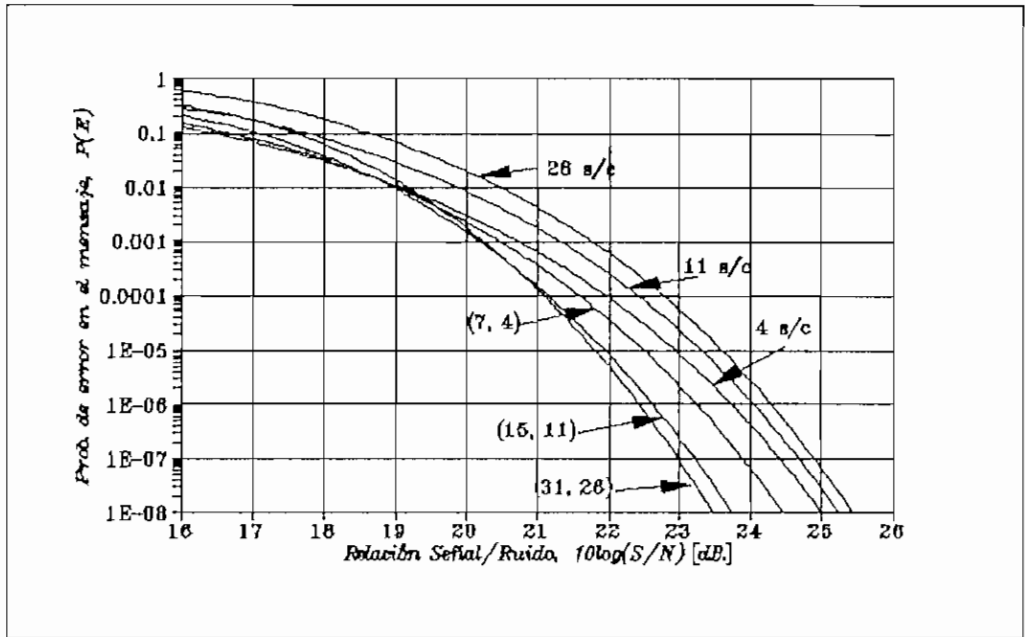


FIGURA 3.23 $P(E)$ vs. S/N PARA 16-QAM.

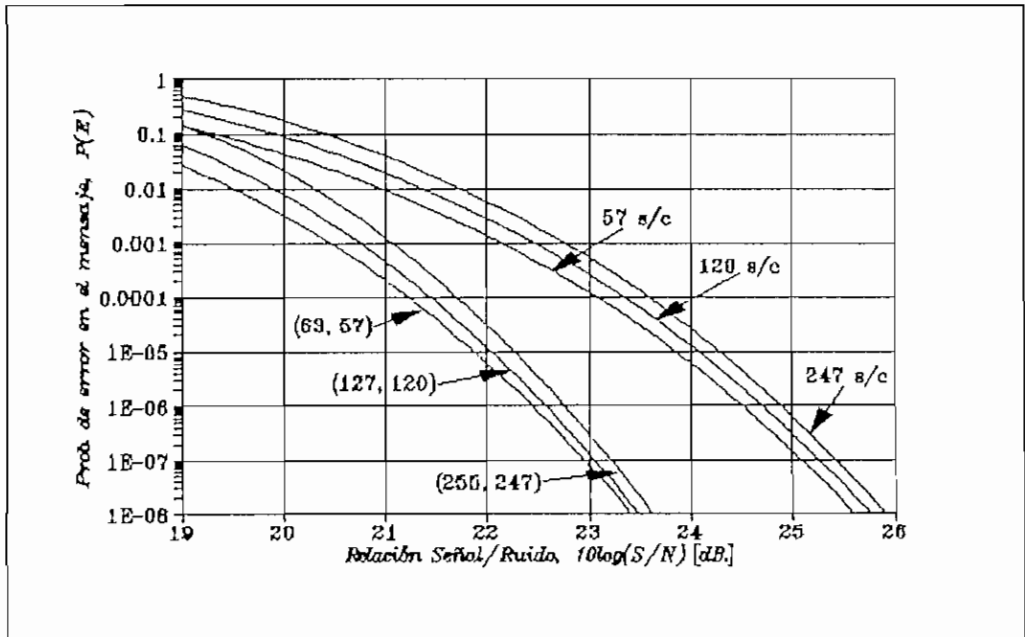


FIGURA 3.24 $P(E)$ vs. S/N PARA 16-QAM.

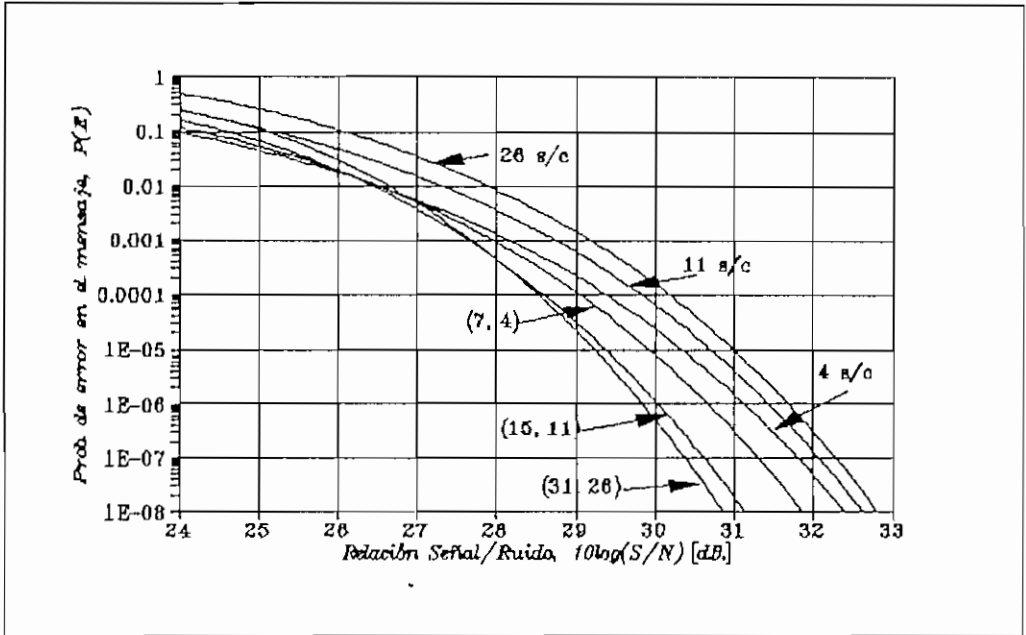


FIGURA 3.25 $P(E)$ vs. S/N PARA 64-QAM.

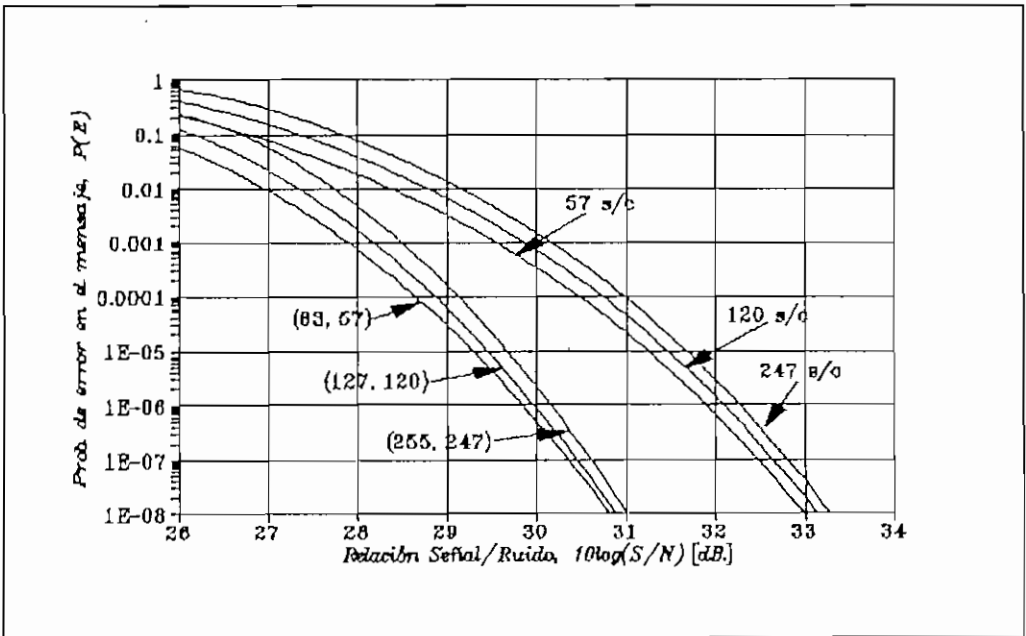


FIGURA 3.26 $P(E)$ vs. S/N PARA 64-QAM.

En base a estas curvas se puede analizar mejor la relación que existe entre el código bloque lineal y la potencia de transmisión para obtener una variación en la tasa de bits erróneos p y con esta a su vez la mejora de la probabilidad de error en la palabra mensaje $P(E)$, en un enlace de comunicación.

Si consideramos un sistema no codificado M -PSK y utilizando la figura 3.9, obtenemos la tabla 3.3 con los valores de la relación S/N para varios valores de la tasa de bits erróneos BER .

TABLA 3.3 VARIACION DE LA S/N RESPECTO DE LA BER
PARA MODULACIONES 4-PSK, 8-PSK Y 16-PSK

BER	Relación señal a ruido S/N		
	4-PSK	8-PSK	16-PSK
2×10^{-4}	11.0	16.0	21.6
1×10^{-4}	11.5	16.6	22.3
4×10^{-5}	12.0	17.1	22.8
2×10^{-5}	12.4	17.5	23.2
1.5×10^{-5}	12.7	17.9	23.6
1×10^{-5}	13.0	18.2	23.9

Con estos valores de S/N podemos utilizar las figuras 3.17, 3.18, 3.19, 3.20, 3.21 y 3.22 para obtener los valores de la $P(E)$ para sistemas no codificados (s/c) si consideramos que para cada fila de la tabla 3.3 se

envía mensajes de longitud k igual a 4, 11, 26, 57, 120 y 247 respectivamente.

Los valores de la BER han sido escogidos para que con los valores obtenidos de S/N se obtenga el valor de $P(E) = 10^{-3}$, Como se puede apreciar en las figuras indicadas, tal como se presenta en la tabla 3.4.

TABLA 3.4 VARIACION DE LA S/N RESPECTO DEL MENSAJE PARA MODULACIONES 4-PSK, 8-PSK Y 16-PSK.

Longitud del mensaje	Relación señal a ruido S/N			$P(E)$ sistema no cod.
	4-PSK	8-PSK	16-PSK	
4	11.0	16.0	21.6	10^{-3}
11	11.5	16.6	22.3	10^{-3}
26	12.0	17.1	22.8	10^{-3}
57	12.4	17.5	23.2	10^{-3}
120	12.7	17.9	23.6	10^{-3}
247	13.0	18.2	23.9	10^{-3}

Estos resultados de $P(E)$ para sistemas no codificados son importantes obtenerlos ya que hay que compararlos con los respectivos valores al realizar la codificación teniendo en cuenta la misma longitud de la palabra mensaje tanto para el sistema no codificado como para el codificado.

De las curvas de las figuras 3.17, 3.18, 3.19, 3.20,

3.21 y 3.22 se obtiene la tabla 3.5, la cual presenta los valores de la $P(E)$ que se obtienen al codificar el flujo de bits con códigos bloque lineales que corrigen un solo error, si se tiene como referencia el valor de la $P(E)$ inicial de 10^{-3} para sistemas no codificados obtenidos en la tabla 3.4. Además, en esta tabla se puede apreciar que el valor de la S/N para cada caso se mantiene.

TABLA 3.5 VARIACION DE LA $P(E)$ CON LOS CODIGOS BLOQUE

Código Bloque Lineal (n,k) t = 1	Probabilidad de error en la palabra mensaje $P(E)$					
	4-PSK		8-PSK		16-PSK	
	$P(E)$	S/N	$P(E)$	S/N	$P(E)$	S/N
(7,4)	3×10^{-4}	11.0	3×10^{-4}	16.0	3×10^{-4}	21.6
(15,11)	4×10^{-5}	11.5	4×10^{-5}	16.6	4×10^{-5}	22.3
(31,26)	1×10^{-5}	12.0	1×10^{-5}	17.1	1×10^{-5}	22.8
(63,57)	3×10^{-6}	12.4	3×10^{-6}	17.5	3×10^{-6}	23.2
(127,120)	2×10^{-6}	12.7	2×10^{-6}	17.9	2×10^{-6}	23.6
(255,247)	1×10^{-6}	13.0	1×10^{-6}	18.2	1×10^{-6}	23.9

Se puede notar también que en las tablas 3.4 y 3.5, se tiene que para cada tipo de código se utiliza un valor de la S/N obtenido en la tabla 3.3.

Si se utiliza la modulación M -QAM y se realiza las mismas consideraciones utilizadas para M -PSK, se obtendrá las mismas conclusiones, es decir que para

determinado valor de $P(E)$ de un sistema no codificado, se obtiene una mejora de este valor al realizar la codificación, independientemente del valor de los niveles de la modulación, ya sea 16-QAM o 64-QAM.

En el siguiente punto de este capítulo, se presenta resultados para $P(E)$ considerando que se tiene un valor fijo de potencia de transmisión P_t y por lo tanto fija la relación S/N .

3.3 INTERPRETACION DE RESULTADOS Y FACTIBILIDAD DE IMPLEMENTACION PRACTICA.

Considerando el enlace presentado en la figura 3.11, es posible aplicar el objetivo planteado de este trabajo. Para lo cual se realizará los siguientes pasos:

- A) Cálculo del valor de la relación E_b/N_0 del radioenlace para valores determinados de la potencia de transmisión P_t , la velocidad de transmisión de los bits R_b , ganancias y pérdidas. De acuerdo a lo indicado en el punto 1.4 del capítulo 1.
- B) Una vez que se ha determinado el valor de E_b/N_0

y teniendo en cuenta el tipo de modulación utilizado en el radioenlace, se calculará el valor de la probabilidad de error en los símbolos p_s y a su vez la probabilidad de error en los bits p (BER). Las ecuaciones (3.26) y (3.27) para modulación PSK mientras que las ecuaciones (3.28) y (3.29) para modulación QAM permiten calcular ya el valor de p para los sistemas no codificados. Para sistemas codificados (con códigos bloque lineales) se utilizará las ecuaciones (3.31) para M-PSK ($M > 2$) y (3.32) para M-QAM ($M \geq 16$).

- C) *Determinación de la calidad del radioenlace.* Para los sistemas codificados será necesario calcular la probabilidad de no detección de errores $P_u(E)$ y la probabilidad de error en el mensaje $P(E)$, para lo cual se utilizará el programa desarrollado en el punto 2.2.2 del capítulo 2. Para los sistemas no codificados únicamente se calculará la probabilidad de error en los bits p (BER). Se puede realizar una comparación del valor de $P(E)$ para los dos sistemas, para lo cual se considerará que se va a transmitir k bits. en el caso no codificado se enviará estos bits al transmisor, mientras que para el codificado se enviará al codificador y se obtendrá n bits que

ingresarán al transmisor. Utilizando las ecuaciones (2.20) para el no codificado y (2.23) para el codificado se obtendrá la comparación entre estos dos sistemas.

Conocidos ya estos valores, se realizará el estudio de los ajustes que se crean necesarios. Para nuestro caso se considerará la posibilidad de variar la potencia de transmisión P_t y el código bloque utilizado (n,k) . Si es un sistema no codificado, primero se insertará un codificador.

Para mayor claridad de los resultados obtenidos, se presenta como ejemplo el enlace, que corresponde a un enlace ascendente satelital².

Datos:

$$P_t = 13.5 \text{ W (11.3 dBW)}.$$

$$G_t = 35.2 \text{ dB}.$$

$$\text{frecuencia} = 13.775 \text{ GHz. (banda Ku)}$$

$$\text{distancia} = 38.000 \text{ Km}$$

Pérdida en el espacio libre L_p

$$L_p \text{ (dB)} = 32.5 + 20 \log f \text{ (MHz)} + 20 \log d \text{ (Km)}$$

$$L_p = 206.8 \text{ dB}.$$

² Enciclopedia de la ELECTRONICA Ingeniería y Técnica, pags 1536 - 1538.

Pérdida por el direccionamiento de la antena = 0.5 dB.

Pérdida por la polarización de la antena = 0.2 dB.

Ganancia de la antena receptora de la Estación Espacial = 50.1 dB.

Temperatura de ruido del sistema receptor de la Estación Espacial, T_e (440°K) = 26.4 dB°K.

Constante de Boltzmann, K = -228.6 dBW/°K-Hz.

Pérdida en el circuito receptor de la Estación Espacial = 2.5 dB.

Velocidad de transferencia de los bits, R_b (22.22 Mb/s) = 73.5 dBHz.

Utilizando la ecuación (1.40) se tiene:

E_b/N_0 verdadero = 15.3 dB.

E_b/N_0 necesario para una BER (valor práctico) de 10^{-5}
= 12.3 dB.

Margen de desvanecimiento = 3 dB.

Considerando modulación Q-PSK y el valor verdadero de E_b/N_0 , calculamos la probabilidad de error en los bits p (valor teórico de la BER), ecuación (3.27) para el sistema no codificado. Se considera una eficiencia del ancho de banda $R_b/B = 3$ b/s/Hz.

$$p = 3.3391 * 10^{-24}$$

Para el sistema codificado se considerará el código

(63,57) que corrige un solo error. La ecuación (3.31) permite calcular el valor de p .

$$p = 4.4424 * 10^{-24}$$

La eficiencia del sistema, luego de agregar un codificador, se apreciará al calcular la probabilidad de error en el mensaje $P(E)$ para cada sistema.

Con el sistema no codificado, ecuación (2.20), $k = 57$:

$$P(E) = 1.9033 * 10^{-22}$$

Con el sistema codificado, ecuación (2.23), $n = 63$ y $k = 57$:

$$P(E) = 3.8543 * 10^{-40}$$

Comparando estos valores, se puede observar que la probabilidad de error en el mensaje ha mejorado por un factor de aproximadamente $5 * 10^{17}$, gracias al empleo de un código de bloques.

Si se desea obtener esta mejora sin utilizar un código de bloques, sino únicamente incrementando la potencia de transmisión. Con el valor de $P(E) = 3.8543 * 10^{-40}$

utilizando la ecuación (2.20) se obtiene el valor de $p = 6.7046 * 10^{-42}$ y de éste con la ecuación (3.27) se tiene $E_b/N_0 = 17.843$ dB.

Por lo tanto el incremento que se realizará a la potencia de transmisión anterior será de 2.543 dBW.

Consideremos también el siguiente ejemplo:

Datos:

$$P_r/N_0 = 43776$$

$$R_b = 4800 \text{ b/s.}$$

$$R_b/B = 1 \text{ b/s/Hz}$$

Modulación B-PSK y código bloque lineal (15,11).

Se tiene:

- Para el sistema no codificado:

$$p = 1.02 * 10^{-5}$$

$$P(E) = 1.12 * 10^{-4}$$

- Para el sistema codificado:

$$p = 1.36 * 10^{-4}$$

$$P(E) = 1.94 * 10^{-6}$$

En este ejemplo, la probabilidad de error en el mensaje ha mejorado en un factor de 58, con el código bloque.

Esta mejora se puede lograr sin utilizar el código bloque lineal, pero aumentando la potencia de 0.7 dBW. sobre el valor anterior.

Otro tipo de ejemplo sería en el cual se tenga la potencia de transmisión P_t fija, es decir también fijo el valor de la relación señal a ruido S/N . Consideremos que después de todos los cálculos de propagación con modulación 4-PSK se obtiene que $S/N = 13$ dB., por lo tanto con este valor se verificará si se es posible tener una mejora en el rendimiento del enlace utilizando codificación con códigos bloque lineales.

Cuando el enlace es no codificado, para $S/N = 13$ dB. la probabilidad en los bits $BER = 1 * 10^{-5}$ (figura 3.9).

Al utilizar códigos bloque lineales, para codificar la señal, se puede apreciar en la figura 3.11 que la probabilidad en los bits se degrada debido a que se

tiene un aumento en la velocidad de transmisión de los bits conforme el código utilizado.

La mejora en el rendimiento al utilizar la codificación se aprecia en la probabilidad de error en la palabra mensaje $P(E)$, comparando los valores que se obtiene tanto para el sistema codificado como para el sistema no codificado. Figuras 3.17 y 3.18.

Los resultados obtenidos para el valor de $S/N = 13$ dB. se presentan en la tabla 3.6 en la que se resume los valores de la probabilidad de error en la palabra mensaje $P(E)$ de los dos sistemas codificado y no codificado.

TABLA 3.6 VARIACION DE $P(E)$ AL UTILIZAR CODIFICACION

CODIGO BLOQUE (n, k) t = 1	MODULACION 4-PSK	
	$P(E)$ sin codif.	$P(E)$ con codif.
(7, 4)	2×10^{-5}	3×10^{-6}
(15, 11)	4×10^{-5}	5×10^{-7}
(31, 26)	1×10^{-4}	2×10^{-7}
(63, 57)	2×10^{-4}	2×10^{-7}
(127, 120)	4×10^{-4}	4×10^{-7}
(255, 247)	1×10^{-3}	1×10^{-6}

Cuando los valores de n y k son altos, se tiene un

Utilizamos los datos anteriores con modulación 16-PSK se tiene:

- Para el sistema no codificado:

$$p = 1.5 * 10^{-4}$$

$$P(E) = 2 * 10^{-3}$$

- Para el sistema codificado:

$$p = 1 * 10^{-3}$$

$$P(E) = 6 * 10^{-3}$$

Se tiene una mejora en un factor de 33.

Este ejemplo nos indica que los sistemas con modulación QAM son mejores que los sistemas PSK de igual número de niveles M-ario de modulación, bajo las mismas características del enlace.

Los resultados de estos ejemplos y las figuras presentadas en el punto anterior de este capítulo, nos permiten concluir que no se puede obtener una relación general entre el tipo de código bloque utilizado (o el

aumento de los bits de paridad) con el incremento de potencia en el transmisor para obtener una mejoría en el rendimiento de un enlace, disminuyendo la probabilidad de error que se pueda obtener a la salida.

Por la no linealidad de las curvas, el análisis se deberá realizar para condiciones iniciales conocidas, como:

- Relación E_b/N_0 , (Potencia de transmisión P_t)
- Tipo de modulación M -PSK o M -QAM.
- Eficiencia del ancho de banda R_b/B .

Para los sistemas codificados, se puede utilizar el programa desarrollado en el capítulo 2 para obtener el valor de $P(E)$ conocido el valor de p .

El estudio realizado, se lo puede implementar en forma práctica en enlaces donde los equipos transmisores tienen la potencia de transmisión fija, o con un rango de variación pequeño. Si se quiere disminuir los errores producidos en este tipo de enlaces, se tiene las siguientes alternativas:

- Incrementar la potencia si el equipo lo permite.

- Cambio del equipo si no tiene variación de la potencia con uno que si tenga (o uno que incluya codificación para el control de errores).
- Aumentar un codificador y decodificador externos en el enlace.

Con la última opción se necesita conseguir el codificador y decodificador de acuerdo a los resultados obtenidos al realizar el estudio que se indica en esta Tesis. Es posible que estos equipo no existan y se tenga que diseñarlos con los costos y tiempo que esto implica.

GLOSARIO DE TERMINOS UTILIZADOS.

- $P_u(E)$: Probabilidad de no detección de errores.
- $P(E)$: Probabilidad de error en la palabra mensaje.
- p : Probabilidad de transición del BSC.
· Probabilidad de error en los bits.
Tasa de bits erróneos, BER.
- n : Longitud de la palabra código.
- k : Longitud de la palabra mensaje.
- E_b : Energía en los bits.
- N_0 : Densidad de ruido.
- R_b : Velocidad de transmisión de los bits.
- B : Ancho de banda a la entrada del detector.

CAPITULO IV.

CONCLUSIONES.

4.1 CONCLUSIONES.

En un radioenlace, el margen de desvanecimiento se obtiene respecto de una referencia que presenta el fabricante del equipo. Esta puede ser nivel mínimo de la potencia de recepción P_r , relación E_b/N_0 , o cualquier que tenga que ver con la señal recibida respecto de la tasa de bits erróneos BER.

El margen de desvanecimiento nos permite determinar la confiabilidad del radioenlace.

Para calcular un enlace, se debe disponer de todos los parámetros necesarios para con estos determinar la relación S/N que interesa para realizar el estudio teórico de la tasa de bits erróneos.

Existe varias causas para que se produzcan errores en la transmisión digital, de las cuales la causa más predominante es el ruido blanco gaussiano.

Se debe tener presente que el Teorema de Shannon, algunas veces llamado teorema fundamental de la teoría de la información, establece que, para un canal discreto sin memoria (cada símbolo es perturbado por ruido, independientemente de los demás símbolos) con capacidad C y una fuente con velocidad positiva R_b , donde $R_b < C$, existe un código tal que la salida de la fuente puede transmitirse por el canal con una probabilidad de error arbitrariamente pequeña.

De este modo, el teorema de Shannon predice la transmisión esencialmente libre de error en presencia de ruido.

Por desgracia, este teorema solo menciona la existencia de códigos y no especifica la forma de construirlos.

Algunos resultados intermedios como el cálculo de la probabilidad de error en los bits, en sistemas codificados, dan una apariencia contradictoria sobre el objetivo de disminuir la tasa de errores. El objetivo de los sistemas codificados, es la disminución de los errores en la palabra mensaje $P(E)$, que equivale a la BER de los bits de información.

En la práctica es posible realizar estas variaciones en un mismo equipo ya que están diseñados para dar estas facilidades, como por ejemplo el ComStream PSK Digital Satellite Modem. Este modem trabaja con velocidades de 9.6 Kbps a 2.048 Mbps, con modulación B-PSK o Q-PSK, con codificación convolucional soporta códigos con tasa $1/2$ y $3/4$ y decodificación secuencial y también puede operar sin codificación.

En esta Tesis se puede comprobar que si se aumenta un codificador en el enlace, se disminuye la probabilidad de error en la palabra mensaje. Mientras el código tenga una longitud tal que la eficiencia k/n tienda a 1, disminuye más la probabilidad de error en la palabra mensaje (BER en los bits de información) sin necesidad de variar la potencia de transmisión. Esto se puede apreciar en las curvas para sistemas codificados.

Al utilizar un código bloque lineal (n,k) , se tiene ya el número de bits de control $n-k$ que se está utilizando y también la eficiencia k/n correspondiente a este código. Es este valor de eficiencia el que influye en la disminución de la probabilidad de error en la palabra mensaje $P(E)$.

Cuando se utiliza sistemas con modulación M -arios, mientras mayor es el número de niveles M de la modulación, se necesita aumentar la potencia (por lo tanto aumenta la relación S/N) ya que el número de bits por símbolo aumenta, para mantener la misma BER.

Cuando se utiliza códigos bloque lineales para disminuir los errores, se debe estudiar la probabilidad de error en la palabra mensaje $P(E)$, tanto para sistemas codificados como no codificados. Consideremos que se desea disminuir la $P(E)$ de 10^{-3} a 10^{-4} o a $4 \cdot 10^{-7}$, utilizando codificación, para lo que se debe tener en cuenta que se envía mensajes de longitud k bits. Las figuras 3.18, 3.20, 3.22, 3.24 y 3.26 permiten determinar el tipo de código, correspondiente para cada tipo de modulación, que satisface el requerimiento planteado y también la equivalencia en el incremento de la relación S/N que se necesitaría para obtener el mismo efecto sin

codificación manteniendo los mensajes de longitud k .

Modulación	S/N	P(E)	bits de mensaje k	Para obtener $P(E) = 10^{-4}$ se requiere	
				Incrementar S/N	Utilizar código
4-PSK	13.00	10^{-3}	247	2.25	(255, 247)
8-PSK	18.20	10^{-3}	247	2.50	(255, 247)
16-PSK	23.90	10^{-3}	247	2.40	(255, 247)
16-QAM	22.75	10^{-3}	247	2.10	(255, 247)
64-QAM	30.20	10^{-3}	247	2.10	(255, 247)

Modulación	S/N	P(E)	bits de mensaje k	Para $P(E) = 4 \cdot 10^{-7}$ se requiere	
				Incrementar S/N	Utilizar código
4-PSK	13.00	$4 \cdot 10^{-4}$	120	2.25	(127, 120)
8-PSK	18.20	$4 \cdot 10^{-4}$	120	2.50	(127, 120)
16-PSK	23.90	$4 \cdot 10^{-4}$	120	2.40	(127, 120)
16-QAM	22.75	$4 \cdot 10^{-4}$	120	2.10	(127, 120)
64-QAM	30.20	$4 \cdot 10^{-4}$	120	2.10	(127, 120)

Se debe tener presente que cada tipo de modulación tiene su propio valor de S/N donde se cumple esta variación. Utilizando estos valores de S/N, en las figuras 3.9 y 3.10, se obtiene $BER = 4 \cdot 10^{-6}$ fijo.

El tabla que se presenta a continuación, contiene la equivalencia entre un código bloque lineal y el incremento de la S/N (incremento de P_e) para disminuir la probabilidad $P(E)$, teniendo en cuenta un valor

inicial de la $S/N = 13$ dB. y modulación 4-PSK. Obviamente que para cada código utilizado se debe tener en cuenta la longitud k del mensaje.

$P(E)$ Inicial	bits de mensaje, k	Incremento de S/N para $P(E)$ final	Código (n, k) para $P(E)$ final	$P(E)$ final
$2 \cdot 10^{-3}$	4	0.7	(7,4)	$3 \cdot 10^{-6}$
$5 \cdot 10^{-3}$	11	1.5	(15,11)	$5 \cdot 10^{-7}$
$1 \cdot 10^{-4}$	26	2.0	(31,26)	$3 \cdot 10^{-7}$
$2 \cdot 10^{-4}$	57	2.1	(63,57)	$2 \cdot 10^{-7}$
$4 \cdot 10^{-4}$	120	2.25	(127,120)	$4 \cdot 10^{-7}$
$1 \cdot 10^{-3}$	247	2.25	(255,247)	$1 \cdot 10^{-6}$

Se debe tener presente que para el cálculo de la distribución de anchos de Hamming para códigos con valores grandes de n y k , se necesita gran cantidad de tiempo de utilización de un computador. O si se desea estos resultados, hay que recurrir a relaciones que proporcionan valores aproximados de esta distribución.

4.2 RECOMENDACIONES.

Se puede continuar con este estudio para otros sistemas de codificación, como los que utilizan códigos convolucionales. También para los diferentes tipos de diversidad en la recepción de la señal (diversidad de frecuencia, de espacio, etc.).

1.1 PROGRAMA COE_HEXA.BAS

Este programa permite presentar los polinomios geradores de los código BCH presentados en forma octal¹ a forma hexadecimal, pasándolos primeramente a forma binaria. los resultados son almacenados en el archivo TIPO_COD.TBL.

```
DECLARE SUB polingener (g!$, polin$)
DECLARE SUB polinhex (polinomio$, polin$)
DEFINT A-O, Q-Y
'
CLS
RESTORE Datos
OPEN 'A:\ARCH_TBL\TIPO_COD.TBL' FOR OUTPUT AS #1
FOR J = 1 TO 232
    g!$ = ""
    READ n, k, t, poli
    FOR dat = 1 TO poli
        READ datin$
        g!$ = g!$ + datin$
    NEXT dat
    CALL polingener(g!$, polin$)
    PRINT #1, n, k, t
    PRINT #1, polin$
NEXT J
CLOSE #1
'
END
'
```

Datos²:

"Aqui se debe ingresar los datos de n, k, t y del polinomio generador tal como se encuentran en el Anexo III"

¹ ERROR CONTROL CODING. Lin Shu, Appendix C. Polinomios Generadores de Códigos Primitivos Binarios BCH de ongitud de hasta $n = 2^{10} - 1$, presentados en forma octal.

² Se utiliza los valores de los coeficientes de los códigos BCH de hasta $2^{10} - 1$ de longitud de la palabra código, presentados en el Anexo III.

```
SUB polingener (gl$, polin$)
```

```
polinbin$ = ""
FOR i = 1 TO LEN(gl$)
  IF MID$(gl$, i, 1) = "0" THEN
    Binario$ = "000"
  ELSEIF MID$(gl$, i, 1) = "1" THEN
    Binario$ = "001"
  ELSEIF MID$(gl$, i, 1) = "2" THEN
    Binario$ = "010"
  ELSEIF MID$(gl$, i, 1) = "3" THEN
    Binario$ = "011"
  ELSEIF MID$(gl$, i, 1) = "4" THEN
    Binario$ = "100"
  ELSEIF MID$(gl$, i, 1) = "5" THEN
    Binario$ = "101"
  ELSEIF MID$(gl$, i, 1) = "6" THEN
    Binario$ = "110"
  ELSEIF MID$(gl$, i, 1) = "7" THEN
    Binario$ = "111"
  ELSE PRINT "Error, numero es mayor que 7"
  END IF
  polinbin$ = polinbin$ + Binario$
NEXT i
indi = 1: cont = 1
DO
  IF MID$(polinbin$, indi, 1) = "1" THEN EXIT DO
  indi = indi + 1: cont = cont + 1
LOOP
polinomio$ = MID$(polinbin$, cont, LEN(polinbin$) - cont + 1)
z = LEN(polinomio$) / 4
IF z - INT(z) = 0 THEN
  CALL polinhex(polinomio$, polin$)
ELSE
  polinomio$ = MID$("0000", 1, (1 + INT(z)) * 4 - LEN(polinomio$)) + polinomio$
  CALL polinhex(polinomio$, polin$)
END IF
END SUB
```

```
SUB polinhex (polinomio$, polin$)
```

```
polin$ = ""
FOR i = 1 TO LEN(polinomio$) STEP 4
  IF MID$(polinomio$, i, 4) = "0000" THEN
    hexa$ = "0"
  ELSEIF MID$(polinomio$, i, 4) = "0001" THEN
    hexa$ = "1"
  ELSEIF MID$(polinomio$, i, 4) = "0010" THEN
    hexa$ = "2"
  ELSEIF MID$(polinomio$, i, 4) = "0011" THEN
    hexa$ = "3"
```

```
ELSEIF MID$(polinomio$, i, 4) = '0100' THEN
    hexa$ = '4'
ELSEIF MID$(polinomio$, i, 4) = '0101' THEN
    hexa$ = '5'
ELSEIF MID$(polinomio$, i, 4) = '0110' THEN
    hexa$ = '6'
ELSEIF MID$(polinomio$, i, 4) = '0111' THEN
    hexa$ = '7'
ELSEIF MID$(polinomio$, i, 4) = '1000' THEN
    hexa$ = '8'
ELSEIF MID$(polinomio$, i, 4) = '1001' THEN
    hexa$ = '9'
ELSEIF MID$(polinomio$, i, 4) = '1010' THEN
    hexa$ = 'A'
ELSEIF MID$(polinomio$, i, 4) = '1011' THEN
    hexa$ = 'B'
ELSEIF MID$(polinomio$, i, 4) = '1100' THEN
    hexa$ = 'C'
ELSEIF MID$(polinomio$, i, 4) = '1101' THEN
    hexa$ = 'D'
ELSEIF MID$(polinomio$, i, 4) = '1110' THEN
    hexa$ = 'E'
ELSEIF MID$(polinomio$, i, 4) = '1111' THEN
    hexa$ = 'F'
END IF
polin$ = polin$ + hexa$
NEXT i
END SUB
```

1.2 PROGRAMA ANCH_BLQ.BAS

Programa para calcular la distribución de los códigos bloque utilizando los polinomios generadores del programa anterior realizando una codificación sistemática. También toma en cuenta la longitud de la palabra mensaje k respecto del número de bits de paridad $n-k$ para utilizar el código dual o no.

Si $n-k < k$ se utilizará el código dual, para lo que habra que calcular el polinomio generador de este código.

Los resultados son almacenados en el archivo DATOS1.TBL

```
DECLARE SUB CalcAnchHam (nn%, kk%, G%(1), N1%(1), B%(1), A%(1), An%)
DECLARE SUB NumMensajes (N1%(1), nn%, kk%)
DECLARE SUB PalabCodigo (nn%, kk%, G%(1), N1%(1), B%(1), An%)
DECLARE SUB PolinGener (polinhex%, polinbin%)
DEFINT A-Q, Y
DEFDBL A
DIM N(250), K(250), T(250), G1%(250), A(1025), B(1025), G(1025), N1(1025)
CLS
j = 1
OPEN "A:\ARCH_TBL\TIPO_COD.TBL" FOR INPUT AS #1
DO WHILE NOT EOF(1)
    INPUT #1, N(j), K(j), T(j)
    INPUT #1, G1%(j)
    j = j + 1
LOOP
CLOSE #1
otrocod:
INPUT "Ingresar el número de Código: "; Indi
```

```
COLOR 0, 15: PRINT " ** (ESCAPE) --> Termina " "
COLOR 0, 15: PRINT " ** (0) ó (a) --> Otro código " " : COLOR 7, 0
,
OPEN "A:\ARCH_TBLIDATOSI.TBL" FOR APPEND AS #1
DO WHILE Indi <= 232
    nn = N(Indi): kk = K(Indi)
    polinhex$ = G1$(Indi)
    CALL Polin Gener(polinhex$, polinbin$)
    j = LEN(polinbin$)
    FOR i = j TO 1 STEP -1
        G(i - j) = VAL(MID$(polinbin$, i, 1))
        j = j - 2
    NEXT i

    IF nn - kk < kk THEN
        Dual$ = "1": DG$ = "0"
        FOR Du = 1 TO nn - 1
            Dual$ = Dual$ + "0"
            IF Du <= kk THEN DG$ = DG$ + "0"
        NEXT Du

        Dual$ = Dual$ + "1":
        UIt = 0: UIt1 = nn + 1
        DO
            i = UIt1
            DO WHILE i >= 1
                IF MID$(Dual$, i, 1) = "1" THEN UIt = i: j = 1
                i = i - 1
            LOOP

            IF UIt = 0 THEN EXIT DO
            IA = UIt - nn + kk: j = 0
            MID$(DG$, IA, 1) = "1"

            DO WHILE j <= nn - kk
                IF G(j) = 1 THEN MID$(Dual$, IA + j, 1) = MID$(STR$(VAL(MID$(Dual$, IA + j, 1)))
XOR G(j)), 2, 1)
                j = j + 1
            LOOP
            UIt1 = UIt: UIt = 0
        LOOP

        j = kk + 1
        FOR i = 0 TO kk
            G(i) = VAL(MID$(DG$, j, 1))
            j = j - 1
        NEXT i
        kk = nn - kk
    END IF

CALL CalcAnchHam(nn, kk, G(), N1(), B(), A(), An$)
IF An$ = CHR$(27) OR An$ = "0" OR An$ = "a" THEN EXIT DO
```



```

    AnchHam$ = "1"
    FOR i = 1 TO nn
        AnchHam$ = AnchHam$ + STR$(A(i))
    NEXT i

    IF N(Indi) - K(Indi) < K(Indi) THEN
        PRINT #1, "Dual"
    ELSE
        PRINT #1, "NDual"
    END IF
    PRINT #1, N(Indi), K(Indi), T(Indi)
    PRINT #1, AnchHam$
    Indi = Indi + 1
LOOP
CLOSE #1
IF An$ = "0" OR An$ = "o" THEN GOTO otrocod
PRINT " Número del último código calculado: "; Indi - 1
END

SUB CalcAnchHam (nn, kk, G(), N1(), B(), A(), An$)
PRINT " --> CALCULANDO <-- "
FOR i = 1 TO nn
    A(i) = 0
    IF i >= nn - kk + 1 THEN N1(i - 1) = 0
NEXT i

DO
    CALL PalabCodigo(nn, kk, G(), N1(), B(), An$)
    CALL NumMensajes(N1(), nn, kk)

    Contad = 0: ContAux = 0
    FOR IJ = 0 TO nn - 1
        IF B(IJ) = 1 THEN Contad = Contad + 1
        IF B(IJ) = 1 AND IJ >= nn - kk THEN ContAux = ContAux + 1
    NEXT IJ
    A(Contad) = A(Contad) + 1
    LOOP UNTIL ContAux = kk OR An$ = CHR$(27) OR An$ = "0" OR An$ = "o"
END SUB

SUB NumMensajes (N1(), nn, kk)
    Num = nn - 1
    DO WHILE Num >= nn - kk AND N1(Num) = 1
        N1(Num) = 0
        Num = Num - 1
    LOOP

```

```

1      IF Num >= nn - kk THEN NI(Num) = 1
END SUB

SUB Palacodigo (nn, kk, G(), NI(), B(), An$)
1      Grado = nn - kk
      FOR i = 0 TO nn - 1
          B(i) = 0
          IF i >= nn - kk THEN B(i) = NI(i)
      NEXT i

      U11 = nn - 1
      DO
          DO WHILE B(U11) <> 1 AND U11 >= Grado
              U11 = U11 - 1
          LOOP
          IF U11 < Grado THEN EXIT DO
          IA = U11 - Grado: j = 0
          DO WHILE j <= Grado AND An$ <> CHR$(27) AND An$ <> "0" AND An$ <> "0"
              IF G(j) = 1 THEN B(IA + j) = B(IA + j) XOR 1
              j = j + 1
              An$ = INKEY$
          LOOP
          LOOP UNTIL An$ = CHR$(27) OR An$ = "0" OR An$ = "0"
      FOR Ind = nn - kk TO nn - 1
          B(Ind) = NI(Ind)
      NEXT Ind
END SUB

SUB Polingener (polinhex$, polibin$)
1      polibin$ = ""
      FOR i = 1 TO LEN(polinhex$)
          IF MID$(polinhex$, i, 1) = "0" THEN
              binario$ = "0000"
          ELSEIF MID$(polinhex$, i, 1) = "1" THEN
              binario$ = "0001"
          ELSEIF MID$(polinhex$, i, 1) = "2" THEN
              binario$ = "0010"
          ELSEIF MID$(polinhex$, i, 1) = "3" THEN
              binario$ = "0011"
          ELSEIF MID$(polinhex$, i, 1) = "4" THEN
              binario$ = "0100"
          ELSEIF MID$(polinhex$, i, 1) = "5" THEN
              binario$ = "0101"
          ELSEIF MID$(polinhex$, i, 1) = "6" THEN
              binario$ = "0110"
          
```

```
ELSEIF MID$(polinhex$, i, 1) = '7' THEN
    binario$ = '0111'
ELSEIF MID$(polinhex$, i, 1) = '8' THEN
    binario$ = '1000'
ELSEIF MID$(polinhex$, i, 1) = '9' THEN
    binario$ = '1001'
ELSEIF MID$(polinhex$, i, 1) = 'A' THEN
    binario$ = '1010'
ELSEIF MID$(polinhex$, i, 1) = 'B' THEN
    binario$ = '1011'
ELSEIF MID$(polinhex$, i, 1) = 'C' THEN
    binario$ = '1100'
ELSEIF MID$(polinhex$, i, 1) = 'D' THEN
    binario$ = '1101'
ELSEIF MID$(polinhex$, i, 1) = 'E' THEN
    binario$ = '1110'
ELSEIF MID$(polinhex$, i, 1) = 'F' THEN
    binario$ = '1111'
ELSE PRINT "Error, numero es mayor que F"
END IF
polinbin$ = polinbin$ + binario$
NEXT i
,
END SUB
```

1.3 PROGRAMA ANCH_BCH.BAS

Programa para calcular la distribución de anchos de los códigos dual BCH que corrigen doble y triple errores, utilizando relaciones derivadas por Kasami³.

Los resultados son almacenados en el archivo DATOS2.TBL

```
DECLARE SUB impar3 (n%, B#())
DECLARE SUB impar5 (n%, B#())
DECLARE SUB par4 (n%, B#())
DECLARE SUB par6 (n%, B#())
DEFINT A, C=0, Q-Z
DEFDBL B
DIM N(250), K(250), T(250), G1*(250), B(1030)

CLS
j = 1
OPEN "A:\ARCH_TBL\TIPO_COD.TBL" FOR INPUT AS #1
DO WHILE NOT EOF(1)
    INPUT #1, N(j), K(j), T(j)
    INPUT #1, G1*(j)
    j = j + 1
LOOP
CLOSE #1

j = 12
OPEN "A:\ARCH_TBL\DATOS2.TBL" FOR OUTPUT AS #1
DO WHILE j <= 232
    IF T(j) = 2 OR T(j) = 3 THEN
        nn = N(j): tt = T(j)
        FOR i = 0 TO nn
            B(i) = 0
        NEXT i

        n = LOG(nn + 1) / LOG(2)
        p = n / 2
        IF p - INT(p) = 0 THEN
            IF n >= 4 AND tt = 2 THEN
```

```
CALL par#4(n, B())
ELSEIF n >= 6 AND tt = 3 THEN
CALL par#6(n, B())
END IF
ELSE
IF n >= 3 AND tt = 2 THEN
CALL impar#3(n, B())
ELSEIF n >= 5 AND tt = 3 THEN
CALL impar#5(n, B())
END IF
END IF

AnchHau$ = ""
FOR i = 0 TO nn
AnchHau$ = AnchHau$ + STR$(B(i))
NEXT i

PRINT #1, "Dual"
PRINT #1, N(j), K(j), T(j)
PRINT #1, AnchHau$

END IF
j = j + 1
LOOP
CLOSE #1

END

SUB impar#3 (n, B())
'
aux = 0
B(aux) = 1
aux = 2 ^ (n - 1) - 2 ^ ((n + 1) / 2 - 1)
B(aux) = (2 ^ (n - 2) + 2 ^ ((n - 1) / 2 - 1)) * (2 ^ n - 1)
aux = 2 ^ (n - 1)
B(aux) = (2 ^ n - 2 ^ (n - 1) + 1) * (2 ^ n - 1)
aux = 2 ^ (n - 1) + 2 ^ ((n + 1) / 2 - 1)
B(aux) = (2 ^ (n - 2) - 2 ^ ((n - 1) / 2 - 1)) * (2 ^ n - 1)
'
END SUB

SUB impar#5 (n, B())
'
aux = 0
B(aux) = 1
aux = 2 ^ (n - 1) - 2 ^ ((n + 1) / 2)
B(aux) = 2 ^ ((n - 5) / 2) * (2 ^ ((n - 3) / 2) + 1) * (2 ^ (n - 1) - 1) * (2 ^ n - 1) / 3
aux = 2 ^ (n - 1) - 2 ^ ((n - 1) / 2)
B(aux) = 2 ^ ((n - 3) / 2) * (2 ^ ((n - 1) / 2) + 1) * (5 * 2 ^ (n - 1) + 4) * (2 ^ n - 1) / 3
aux = 2 ^ (n - 1)
B(aux) = (9 * 2 ^ (2 * n - 4) + 3 * 2 ^ (n - 3) + 1) * (2 ^ n - 1)
'
END SUB
```

```

aux = 2 ^ (n - 1) + 2 ^ ((n - 1) / 2)
B(aux) = 2 ^ ((n - 3) / 2) * (2 ^ ((n - 1) / 2) - 1) * (5 * 2 ^ (n - 1) + 4) * (2 ^ n - 1) / 3
aux = 2 ^ (n - 1) + 2 ^ ((n + 1) / 2)
B(aux) = 2 ^ ((n - 5) / 2) * (2 ^ ((n - 3) / 2) - 1) * (2 ^ (n - 1) - 1) * (2 ^ n - 1) / 3

```

END SUB

SUB par#4 (n, B())

```

aux = 0
B(aux) = 1
aux = 2 ^ (n - 1) - 2 ^ ((n + 2) / 2 - 1)
B(aux) = 2 ^ ((n - 2) / 2 - 1) * (2 ^ ((n - 2) / 2) + 1) * (2 ^ n - 1) / 3
aux = 2 ^ (n - 1) - 2 ^ (n / 2 - 1)
B(aux) = 2 ^ ((n + 2) / 2 - 1) * (2 ^ (n / 2) + 1) * (2 ^ n - 1) / 3
aux = 2 ^ (n - 1)
B(aux) = (2 ^ (n - 2) + 1) * (2 ^ n - 1)
aux = 2 ^ (n - 1) + 2 ^ (n / 2 - 1)
B(aux) = 2 ^ ((n + 2) / 2 - 1) * (2 ^ (n / 2) - 1) * (2 ^ n - 1) / 3
aux = 2 ^ (n - 1) + 2 ^ ((n + 2) / 2 - 1)
B(aux) = 2 ^ ((n - 2) / 2 - 1) * (2 ^ ((n - 2) / 2) - 1) * (2 ^ n - 1) / 3

```

END SUB

SUB par#6 (n, B())

```

aux = 0
B(aux) = 1
aux = 2 ^ (n - 1) - 2 ^ ((n + 4) / 2 - 1)
B(aux) = (2 ^ (n - 1) + 2 ^ ((n + 4) / 2 - 1)) * (2 ^ n - 4) * (2 ^ n - 1) / 960
aux = 2 ^ (n - 1) - 2 ^ ((n + 2) / 2 - 1)
B(aux) = 7 * (2 ^ (n - 1) + 2 ^ ((n + 2) / 2 - 1)) * 2 ^ n * (2 ^ n - 1) / 48
aux = 2 ^ (n - 1) - 2 ^ (n / 2 - 1)
B(aux) = 2 * (2 ^ (n - 1) + 2 ^ (n / 2 - 1)) * (3 * 2 ^ n + 8) * (2 ^ n - 1) / 15
aux = 2 ^ (n - 1)
B(aux) = (29 * 2 ^ (2 * n) - 4 * 2 ^ n + 64) * (2 ^ n - 1) / 64
aux = 2 ^ (n - 1) + 2 ^ (n / 2 - 1)
B(aux) = 2 * (2 ^ (n - 1) - 2 ^ (n / 2 - 1)) * (3 * 2 ^ n + 8) * (2 ^ n - 1) / 15
aux = 2 ^ (n - 1) + 2 ^ ((n + 2) / 2 - 1)
B(aux) = 7 * (2 ^ (n - 1) - 2 ^ ((n + 2) / 2 - 1)) * 2 ^ n * (2 ^ n - 1) / 48
aux = 2 ^ (n - 1) + 2 ^ ((n + 4) / 2 - 1)
B(aux) = (2 ^ (n - 1) - 2 ^ ((n + 4) / 2 - 1)) * (2 ^ n - 4) * (2 ^ n - 1) / 960

```

END SUB

I.4 PROGRAMA UNIFICA.BAS

Este programa permite unificar el contenido de los archivos DATOS1.TBL y DATOS2.TBL en el archivo TIP_COD1.TBL. Se tiene en cuenta si se ha realizado el cálculo con el código dual o no.

```
DIM N(250), K(250), T(250), AnchHam$(250), RP$(250)
CLS
j = 1
OPEN "A:\ARCH_TBL\DATOS1.TBL" FOR INPUT AS #1
DO WHILE NOT EOF(1)
    INPUT #1, RP$(j)
    INPUT #1, N(j), K(j), T(j)
    INPUT #1, AnchHam$(j)
    j = j + 1
LOOP
CLOSE #1

OPEN "A:\ARCH_TBL\DATOS2.TBL" FOR INPUT AS #1
DO WHILE NOT EOF(1)
    INPUT #1, RP$(j)
    INPUT #1, N(j), K(j), T(j)
    INPUT #1, AnchHam$(j)
    j = j + 1
LOOP
CLOSE #1

K = j - 1
FOR i = 1 TO K
    FOR j = i + 1 TO K
        IF N(i) > N(j) THEN
            AuxN = N(i): N(i) = N(j): N(j) = AuxN
            AuxK = K(i): K(i) = K(j): K(j) = AuxK
            AuxT = T(i): T(i) = T(j): T(j) = AuxT
            AuxRP$ = RP$(i): RP$(i) = RP$(j): RP$(j) = AuxRP$
            AuxAH$ = AnchHam$(i): AnchHam$(i) = AnchHam$(j): AnchHam$(j) = AuxAH$
        ELSEIF N(i) = N(j) THEN
            IF T(i) > T(j) THEN
                AuxT = T(i): T(i) = T(j): T(j) = AuxT
                AuxK = K(i): K(i) = K(j): K(j) = AuxK
                AuxRP$ = RP$(i): RP$(i) = RP$(j): RP$(j) = AuxRP$
                AuxAH$ = AnchHam$(i): AnchHam$(i) = AnchHam$(j): AnchHam$(j) = AuxAH$
            END IF
        END IF
    NEXT j
NEXT i
```

```
        END IF
    NEXT j
NEXT i
'
OPEN 'A:\ARCH_TBL\TIP_COD1.TBL' FOR OUTPUT AS #1
    j = 1
    DO WHILE j <= K
        PRINT #1, RP$(j)
        PRINT #1, N(j), K(j), T(j)
        PRINT #1, AnchHa$(j)
        j = j + 1
    LOOP
CLOSE #1
'
END
```


1.5 PROGRAMA CODIGOS.BAS

Programa que permite obtener la codificación en forma sistemática, cálculo (gráficos) de la probabilidad de no detección de errores $P_u(E)$ y de la probabilidad de error en la palabra mensaje $P(E)$ en función de la probabilidad de transición del canal binario simétrico p (probabilidad de error en los bits, BER).

```
'
' Programa Principal
'
DECLARE SUB cuadro1 (j1%, j2%, j3%, j4%, j5%, j6%)
DECLARE SUB Cuadro2 (i1%, i2%, j1%, j2%, codigo$, pinf!, psup!, tecla$)
DECLARE SUB DigitEscala (i%, j%, pl$)
DECLARE SUB Ingre1 (camino$, n%(), k%(), t%())
DECLARE SUB Ingre2 (camino$, n%(), k%(), t%(), g!$())
DECLARE SUB Ingre3 (camino$, nn%(), kk%(), tt%(), kg$(), AnchHam$())
DECLARE SUB Ingre4 (camino$, Ater$())
DECLARE SUB MovBloque (AM$(), ap$, xil%, xfl%, yil%, yfl%, y1%, y2%, y3%, y4%)
DECLARE SUB MovCursor (AM$, ap$, xi%, xf%, yi%, yf%, y%)
DECLARE SUB PalabCodigo (nn%, kk%, G%(), n1%(), b%())
DECLARE SUB PolinGener (polinhex$, polinbin$)
DECLARE SUB PuCodBlq (DistAnch$, dualid$, nn%, kk%, pinf!, psup!, PMayor!, PMenor!, Pu!())
DECLARE SUB PuCodHam (nn%, kk%, pinf!, psup!, PMayor!, PMenor!, Pu!())
DEFINT B-D, Q-Y
DEFDBL A
REM $STATIC
DIM g!(233), AnchHam$(40), Ater$(10)
DIM n(233), k(233), t(233), Pu(105), PE(105), nn(40), Acombi(1025)
DIM kk(40), tt(40), kg$(40), a(1025), b(1025), G(1025), n1(1025)
'
CLS
CALL cuadro1(0, 15, 9, 25, 54, 19)
LOCATE 11, 41: PRINT "CODIGOS BLOQUE LINEALES"
LOCATE 13, 31: PRINT "Codificación en forma sistemática y gráficos"
LOCATE 14, 31: PRINT "de la probabilidad de no detección de error"
LOCATE 15, 35: PRINT "utilizando códigos bloque lineales."
LOCATE 19, 31: PRINT "Realizado por: Luis A. Rivera S. - 1994"
COLOR 7, 0
camino$ = "": video = 12: pfact1 = 1: pfact2 = 1
'
DO
```

```

LOCATE 22, 1: PRINT STRING$(80, " ")
LOCATE 23, 1: PRINT STRING$(80, " ")
LOCATE 22, 2: PRINT "ARCHIVO DE DATOS: Drive ->"
LOCATE 23, 2: PRINT "                               Camino ->"
DO
    drive$ = INKEY$
LOOP UNTIL drive$ = "C" OR drive$ = "c" OR drive$ = "A" OR drive$ = "a" OR drive$ = "B" OR drive$
= "b"

LOCATE 22, 29: PRINT drive$
LOCATE 23, 29: INPUT "", direct$
DO
    salir$ = INKEY$
LOOP UNTIL salir$ = CHR$(27) OR salir$ = CHR$(13)
IF salir$ = CHR$(13) THEN EXIT DO
LOOP
camino$ = drive$ + ":" + direct$

AM$(1) = " 1 --> Tipos de Códigos (n,k,t) "
AM$(2) = " 2 --> Codificación Sistemática "
AM$(3) = " 3 --> Gráficos "
AM$(4) = " 4 --> Salir del Programa "

AMI$(1) = " 1 -> Pu(E) para un código (n,k,t) "
AMI$(2) = " 2 -> Pu(E) vs. (n-k) vs. p "
AMI$(3) = " 3 -> P(E) para un código (n,k,t) "
AMI$(4) = " 4 -> P(E) vs. (n-k) vs. p "

MenuPrincip:
CLS
k4 = 20: k5 = 40: k6 = 17: y1 = 10
GOSUB entrada

LOCATE 7, 33: PRINT "MENU PRINCIPAL"
mensaje$ = "Seleccione una opción con " + CHR$(24) + " " + CHR$(125)
mensaje1$ = "y presione <ENTER>"
LOCATE k6 - 1, k4 + 2: PRINT TAB(k4 + (k5 - LEN(mensaje$)) / 2); mensaje$
LOCATE k6, k4 + 2: PRINT TAB(k4 + (k5 - LEN(mensaje1$)) / 2); mensaje1$

CALL MovBloque(AM$(1), ap$, 25, 56, 10, 13, y1, 25, 4, 9)
IF y1 - 9 = 4 OR ap$ = CHR$(27) THEN GOTO Fin
IF y1 - 9 = 1 THEN
    CALL Ingre1(camino$, n(), k(), t())
ELSEIF y1 - 9 = 2 THEN
    CALL Ingre2(camino$, n(), k(), t(), g1$())
END IF
ON (y1 - 9) GOSUB bloque1, bloque2, bloque3

bloque1:
CLS

k4 = 17: k5 = 44: k6 = 17
GOSUB entrada

```

```
LOCATE 7, 21: PRINT "Listado de los Códigos Bloque Lineales"  
LOCATE 10, 24: PRINT "Se indica los tipos de códigos"  
LOCATE 11, 24: PRINT "bloque lineales (n, k, t), BCH"  
LOCATE 12, 25: PRINT "de longitud menor que 1023."  
LOCATE 14, 24: COLOR 15, 0: PRINT " -> Listado de los códigos (- ": COLOR 0, 15  
LOCATE 16, 24: PRINT "Presione <ENTER> para continuar"  
LOCATE 17, 24: PRINT "<ESC> regresa pantalla anterior"  
COLOR 7, 0
```

```
DO  
    ap$ = INKEY$  
LOOP UNTIL ap$ = CHR$(13) OR ap$ = CHR$(27)  
IF ap$ = CHR$(27) THEN  
    ERASE n, k, t  
    RETURN MenuPrincip  
END IF
```

```
CLS  
CALL cuadro1(15, 0, 1, 3, 73, 2)
```

```
LOCATE 2, 18: PRINT " * * C O D I G O S ( n , k , t ) * *"  
FOR i = 0 TO 3  
    CALL cuadro1(15, 0, 4, 20 * i + 1, 17, 21)  
    CALL cuadro1(15, 0, 4, 20 * i + 2, 15, 51)  
    LOCATE 5, 20 * i + 3: PRINT " n k t"  
NEXT i  
COLOR 7, 0
```

```
iaux = 0: Pagina = 1  
DO  
    FOR i = 7 TO 21  
        ival = i + iaux - 6  
        FOR j = 0 TO 3  
            LOCATE i, 20 * j + 2: PRINT "  
            IF ival <= 232 THEN  
                LOCATE i, 20 * j + 2: PRINT n(ival)  
                LOCATE i, 20 * j + 8: PRINT k(ival)  
                LOCATE i, 20 * j + 14: PRINT t(ival)  
            END IF  
            ival = ival + 15  
        NEXT j  
    NEXT i
```

```
COLOR 0, 15  
LOCATE 23, 2: PRINT " * * <ESC> Retorna pantalla anterior * *"  
LOCATE 23, 42: PRINT " * * [M] ó [N] -> Más Códigos * *"  
DO  
    control$ = INKEY$  
LOOP UNTIL control$ = "M" OR control$ = "N" OR control$ = CHR$(27)  
COLOR 7, 0  
IF control$ = CHR$(27) THEN EXIT DO
```

```
iaux = iaux + 60
Pagina = Pagina + 1
IF Pagina > 4 THEN Pagina = 1: iaux = 0
LOOP
GOTO bloque1

bloque2:
CLS
k4 = 17: k5 = 44: k6 = 17
GOSUB entrada

LOCATE 7, 29: PRINT "Codificación Sistemática"
LOCATE 10, 25: PRINT "Ingrese el código a utilizarce:"
LOCATE 12, 25: PRINT "long. del código, n : "
LOCATE 13, 25: PRINT "long. del mensaje, k : "
LOCATE 14, 25: PRINT "bits que corrige, t : "
LOCATE 16, 25: PRINT "Ingresar los valores correctos"
LOCATE 17, 25: PRINT "de las variables para continuar"

j = 1
DO
LOCATE 12, 48: PRINT " "; n(j)
LOCATE 13, 48: PRINT " "; k(j)
LOCATE 14, 48: PRINT " "; t(j)

ler$ = INKEY$
IF ter$ = CHR$(13) OR ter$ = CHR$(27) THEN EXIT DO
IF LEN(ter$) = 2 THEN
IF ASC(RIGHT$(ter$, 1)) = 80 THEN
j = j - 1
IF j < 1 THEN j = 232
END IF
IF ASC(RIGHT$(ter$, 1)) = 72 THEN
j = j + 1
IF j > 232 THEN j = 1
END IF
END IF

LOOP
COLOR 7, 0
IF ter$ = CHR$(27) THEN
ERASE n, k, t, g1$
RETURN MenuPrincip
END IF

nn = n(j): kk = k(j): tt = t(j): polinhex$ = g1$(j)
Otromen:
CLS
LOCATE 2, 1: COLOR 0, 15: PRINT " CODIGO SELECCIONADO (n, k, t): "; nn; kk; tt: COLOR 7, 0
LOCATE 4, 1: PRINT " Palabra Mensaje a Codificar ("; kk; " bits máximo ):"
i = nn - kk: n1$ = "": palab$ = ""
FOR ii = 0 TO kk
```

```

        n1(ii) = 0
    NEXT ii

    DO WHILE i <= nn - 1
        n1$ = INKEY$
        IF n1$ = CHR$(13) OR n1$ = CHR$(27) THEN EXIT DO
        IF n1$ = '0' OR n1$ = '1' THEN
            n1(i) = VAL(n1$)
            palab$ = palab$ + STR$(VAL(n1$))
            LOCATE 5, 1: PRINT palab$
            i = i + 1
        END IF
    LOOP
    IF n1$ = CHR$(27) THEN
        ERASE n, k, t, g1$
        RETURN MenuPrincip
    END IF

    CALL PolinGener(polinhex$, polinbin$)
    j = LEN(polinbin$)
    FOR i = j TO 1 STEP -1
        G(i - j) = VAL(MID$(polinbin$, i, 1))
        j = j - 2
    NEXT i
    CALL PalabCodigo(nn, kk, G(), n1(), b())
    PaCodigo$ = ""
    FOR i = 0 TO nn - 1
        PaCodigo$ = PaCodigo$ + STR$(b(i))
    NEXT i
    PRINT
    PRINT " Palabra Código ( de longitud "; nn; " bits ): "
    PRINT PaCodigo$

    PRINT
    COLOR 0, 15: PRINT " ** (ESC) Retorna pantalla anterior **   ** [O] ó [o] → Otro mensaje "
    COLOR 7, 0
    DO
        control$ = INKEY$
    LOOP UNTIL control$ = '0' OR control$ = 'o' OR control$ = CHR$(27)
    IF control$ = '0' OR control$ = 'o' THEN GOTO Otromen
    GOTO bloque2

bloque3:
    CLS
    k4 = 19: k5 = 42: k6 = 18: y1 = 11
    GOSUB entrada

    LOCATE k6 - 11, k4 + 11: PRINT "CODIGOS BLOQUE LINEALES"
    LOCATE k6 - 10, k4 + 14: PRINT "GRAFICOS DE Pu(E)"
    mensaje$ = "Seleccione con " + CHR$(24) + " " + CHR$(25) + " y con <ENTER>"
    mensaje1$ = "(ESC) regresa pantalla anterior"
    LOCATE k6 - 1, k4 + 2: PRINT TAB(k4 + 1 + (k5 - LEN(mensaje$)) / 2); mensaje$

```

```
LOCATE k6, k4 + 2: PRINT TAB(k4 + 1 + (k5 - LEN(mensaje$)) / 2); mensaje$

CALL MovBloque(AM1$(1), ap$, 23, 57, 11, 14, y1, 23, 4, 10)
IF ap$ = CHR$(27) THEN RETURN MenuPrincip
IF y1 - 10 = 1 OR y1 - 10 = 2 THEN CALL Ingre3(camino$, nn(), kk(), tt(), kg$(1), AnchHam$(1))
IF y1 - 10 = 3 OR y1 - 10 = 4 THEN
    CALL Ingre1(camino$, n(), k(), t())
    CALL Ingre4(camino$, Ater$(1))
END IF
ON (y1 - 10) GOSUB grafico1, grafico2, grafico3, grafico4

grafico1:
CLS
k4 = 17: k5 = 44: k6 = 18
GOSUB entrada

LOCATE 7, 24: PRINT "Probabilidad de no detección de"
LOCATE 8, 26: PRINT "errores Pu(E) vs. p del BSC"
LOCATE 10, 29: PRINT "Gráfico de Pu(E) vs. p"
LOCATE 11, 25: PRINT "Ingrese el código a utilizarce:"
LOCATE 13, 25: PRINT "long. del código, n : "
LOCATE 14, 25: PRINT "long. del mensaje, k : "
LOCATE 15, 25: PRINT "bits que corrige, t : "
LOCATE 17, 24: PRINT "Ingresar los valores correctos"
LOCATE 18, 24: PRINT "de las variables para continuar"

jselec = 1
DO
    LOCATE 13, 48: PRINT " "; nn(jselec); " "
    LOCATE 14, 48: PRINT " "; kk(jselec); " "
    LOCATE 15, 48: PRINT " "; tt(jselec); " "

    ter$ = INKEY$
    IF ter$ = CHR$(13) OR ter$ = CHR$(27) THEN EXIT DO
    IF LEN(ter$) = 2 THEN
        IF ASC(RIGHT$(ter$, 1)) = 80 THEN
            jselec = jselec - 1
            IF jselec < 1 THEN jselec = 40
        END IF
        IF ASC(RIGHT$(ter$, 1)) = 72 THEN
            jselec = jselec + 1
            IF jselec > 40 THEN jselec = 1
        END IF
    END IF
LOOP
COLOR 7, 0
IF ter$ = CHR$(27) THEN
    ERASE nn, kk, tt, kg$, AnchHam$
    RETURN bloque3
END IF

Otrorang1:
```

```

codigo$ = "código:" + STR$(nn(jselec)) + " " + STR$(kk(jselec)) + " " + STR$(tt(jselec))
CALL Cuadro2(15, 16, 47, 47, codigo$, pinf, psup, tecla$)
IF tecla$ = CHR$(27) THEN GOTO grafico1
,
IF tt(jselec) = 1 THEN
    CALL PuCodHa(nn(jselec), kk(jselec), pinf, psup, PMayor, PMenor, Pu())
ELSE
    CALL PuCodBlq(AnchHa$(jselec), kg$(jselec), nn(jselec), kk(jselec), pinf, psup, PMayor, PMenor,
Pu())
END IF
,
CLS
SCREEN video
LOCATE 2, 1: PRINT CHR$(201); STRING$(78, 205); CHR$(187)
FOR j = 3 TO 26
    LOCATE j, 1: PRINT CHR$(186); SPC(78); CHR$(186)
NEXT j
LOCATE 27, 1: PRINT CHR$(200); STRING$(78, 205); CHR$(188)
men$ = "GRAFICO DE Pu(E) vs p. ( CODIGO:" + STR$(nn(jselec)) + STR$(kk(jselec)) + STR$(tt(jselec)) +
" )"
LOCATE 4, 2: PRINT TAB((78 - LEN(men$)) / 2); men$
,
LINE (100 * pfact1, 110 * pfact2)-(100 * pfact1, 380 * pfact2)
LINE (90 * pfact1, 370 * pfact2)-(590 * pfact1, 370 * pfact2)
FOR i = 120 TO 345 STEP 25
    LINE (97 * pfact1, i * pfact2)-(103 * pfact1, i * pfact2)
NEXT i
FOR i = 124 TO 580 STEP 24
    LINE (i * pfact1, 367 * pfact2)-(i * pfact1, 373 * pfact2)
NEXT i
FOR i = 1 TO 5
    LINE (94 * pfact1, (70 + 50 * i) * pfact2)-(106 * pfact1, (70 + 50 * i) * pfact2)
    LINE ((100 + 96 * i) * pfact1, 364 * pfact2)-((100 + 96 * i) * pfact1, 376 * pfact2)
NEXT i
,
x1 = 100: y1 = 370 - ((251 / (PMayor - PMenor)) * (Pu(1) - PMenor))
IndProb = 2: ProbEsc = pinf + (psup - pinf) / 50
DO WHILE ProbEsc <= psup
    x2 = 100 + (480 * (ProbEsc - pinf) / (psup - pinf)): y2 = 370 - ((251 / (PMayor - PMenor)) *
(Pu(IndProb) - PMenor))
    LINE (x1 * pfact1, y1 * pfact2)-(x2 * pfact1, y2 * pfact2)
    x1 = x2: y1 = y2
    IndProb = IndProb + 1: ProbEsc = ProbEsc + (psup - pinf) / 50
LOOP
,
Pasol = PMenor
FOR i = 23 TO 0 STEP -3
    LOCATE i, 3: PRINT USING "#.###^"; Pasol
    Pasol = Pasol + ((PMayor - PMenor) / 5)
NEXT i
LOCATE 6, 8: PRINT "Pu(E)"
,

```

```

IF psup - pinf = 1 THEN
    paso = pinf
    FOR i = 0 TO 10 STEP 2
        LOCATE 25, i * 6 + 12: PRINT USING "#.#"; paso
        paso = paso + ((psup - pinf) / 5)
    NEXT i
ELSE
    paso = pinf
    FOR i = 0 TO 10 STEP 2
        LOCATE 25, i * 6 + 10: PRINT USING "###^"; paso
        paso = paso + ((psup - pinf) / 5)
    NEXT i
END IF
LOCATE 23, 77: PRINT "p"

GOSUB parada
IF control$ = CHR$(27) THEN GOTO grafico1
GOTO Otrorang1

grafico2:
CLS
k4 = 15: k5 = 46: k6 = 17
GOSUB entrada

LOCATE 7, 17: PRINT "Probabilidad de no detección de errores Pu(E)"
LOCATE 9, 29: PRINT "Pu(E) = f(n-k,p)"
LOCATE 10, 22: PRINT "Para códigos que corrigen t errores"
LOCATE 11, 20: PRINT "n-k : bits de paridad"
LOCATE 12, 20: PRINT "p : probabilidad de transición del BSC"
LOCATE 16, 23: PRINT "Se agrupa las curvas Pu(E) vs. p que"
LOCATE 17, 22: PRINT "corrigen t errores en función de n-k"
LOCATE 14, 18: COLOR 15, 0: PRINT "Número de errores que corrigen, t:"
LOCATE 14, 54: INPUT "", t: COLOR 0, 15
LOCATE 16, 17: PRINT " Presione <ENTER> para continuar"
LOCATE 17, 17: PRINT " <ESC> regresa pantalla anterior"
COLOR 7, 0

DO
    ap$ = INKEY$
LOOP UNTIL ap$ = CHR$(13) OR ap$ = CHR$(27)
IF ap$ = CHR$(27) THEN
    ERASE nn, kk, tt, kg$, AnchHa$
    RETURN bloque3
END IF

Otrorang2:
codigo$ = "Códigos que corrigen" + STR$(t) + " errores"
CALL Cuadro2(15, 16, 47, 47, codigo$, pinf, psup, tecla$)
IF tecla$ = CHR$(27) THEN GOTO grafico2

prob = psup: paso = 25
PMayor = 0: PMenor = 1: cont = 0

```



```

CLS
SCREEN video
LOCATE 2, 1: PRINT CHR$(201); STRING$(78, 205); CHR$(187)
FOR k = 3 TO 26
    LOCATE k, 1: PRINT CHR$(186); SPC(78); CHR$(186)
NEXT k
LOCATE 27, 1: PRINT CHR$(200); STRING$(78, 205); CHR$(188)
men$ = "GRAFICO DE Pu(E) vs. (n-k) vs. p ( CODIGOS CON t = " + STR$(t) + " )"
LOCATE 4, 2: PRINT TAB((78 - LEN(men$)) / 2); men$

LINE (275 * pfact1, 75 * pfact2)-(275 * pfact1, 250 * pfact2), 7
LINE (540 * pfact1, 250 * pfact2)-(275 * pfact1, 250 * pfact2), 7
LINE (86 * pfact1, 385 * pfact2)-(275 * pfact1, 250 * pfact2), 7

LINE (183.33 * pfact1, 395 * pfact2)-(266.67 * pfact1, 395 * pfact2)
LINE (545 * pfact1, 196.67 * pfact2)-(545 * pfact1, 143.33 * pfact2)
LINE (429.67 * pfact1, 340 * pfact2)-(473.33 * pfact1, 305 * pfact2)
LINE (256.67 * pfact1, 390 * pfact2)-(266.67 * pfact1, 395 * pfact2)
LINE (256.67 * pfact1, 400 * pfact2)-(266.67 * pfact1, 395 * pfact2)
LINE (540 * pfact1, 153.33 * pfact2)-(545 * pfact1, 143.33 * pfact2)
LINE (550 * pfact1, 153.33 * pfact2)-(545 * pfact1, 143.33 * pfact2)
LINE (459.33 * pfact1, 310 * pfact2)-(473.33 * pfact1, 305 * pfact2)
LINE (467.33 * pfact1, 317 * pfact2)-(473.33 * pfact1, 305 * pfact2)

LOCATE 12, 70: PRINT "Pu(E)": LOCATE 26, 26: PRINT "(n-k)": LOCATE 21, 58: PRINT "p"

isb = 0: itm = 0
DO
    j = 1: nk = 1
    DO
        IF tt(j) = t THEN
            Paridad(nk) = nn(j) - kk(j)
            Pu(Paridad(nk)) = 0: al = 1
            AnchHam$ = ""
            IF kg$(j) = "NDual" THEN
                AnchHam$ = MID$(AnchHam$(j), 3, LEN(AnchHam$(j)) - 2): Ind = 1
            ELSE
                AnchHam$ = AnchHam$(j): Ind = 0
            END IF
        END IF
    DO WHILE Ind <= nn(j)
        Ham$ = ""
        DO
            Ham$ = Ham$ + MID$(AnchHam$, al, 1)
            al = al + 1
        LOOP UNTIL MID$(AnchHam$, al, 1) = " " OR MID$(AnchHam$, al, 1) = ""
        Ancho = VAL(Ham$)
    END WHILE
    IF Ancho <> 0 THEN
        IF kg$(j) = "NDual" THEN
            Pu(Paridad(nk)) = Pu(Paridad(nk)) + (prob ^ Ind) * ((1 - prob) ^ (nn(j)

```

```
- Ind) * Ancho)
ELSE
  Pu(Paridad(nk)) = Pu(Paridad(nk)) + Ancho * ((1 - 2 * prob) ^ Ind)
END IF
END IF
Ind = Ind + 1
LOOP
IF kg*(j) = "Dual" THEN Pu(Paridad(nk)) = (2 ^ (kk(j) - nn(j))) * Pu(Paridad(nk)) - ((1
- prob) ^ nn(j))
'
IF cont = 0 THEN
  IF Pu(Paridad(nk)) > PMayor THEN PMayor = Pu(Paridad(nk))
  IF Pu(Paridad(nk)) < PMenor THEN PMenor = Pu(Paridad(nk))
END IF
nk = nk + 1
END IF
j = j + 1
LOOP UNTIL j = 40
'
x1 = 275 - isb
IF PMayor = PMenor THEN
  y1 = itm + 90
ELSE
  y1 = 250 + itm - (160 * (Pu(Paridad(1)) - PMenor) / (PMayor - PMenor))
END IF
'
im = 2
DO WHILE im <= nk - 1
  x2 = 275 - isb + (250 * (im - 1) / (nk - 2))
  IF PMayor = PMenor THEN
    y2 = itm + 90
  ELSE
    y2 = 250 + itm - (160 * (Pu(Paridad(im)) - PMenor) / (PMayor - PMenor))
  END IF
  IF prob <> psup THEN
    LINE (pfact1 * IXaux(im - 1), pfact2 * IYaux(im - 1))-(x1 * pfact1, y1 * pfact2), 15
  END IF
  IXaux(im - 1) = x1: IYaux(im - 1) = y1
  LINE (x1 * pfact1, y1 * pfact2)-(x2 * pfact1, y2 * pfact2), 15
  x1 = x2: y1 = y2
  IF im = nk - 1 AND prob <> psup THEN
    LINE (pfact1 * IXaux(im), pfact2 * IYaux(im))-(x1 * pfact1, y1 * pfact2), 15
  END IF
  im = im + 1
LOOP
'
IXaux(im - 1) = x1: IYaux(im - 1) = y1
IF PMayor = PMenor THEN
  cont = 0
ELSE
  cont = 1
END IF
```

```
prob = prob - ((psup - pinf) / paso)
isb = isb + 175 / paso: itm = itm + 125 / paso
icont = icont + 1
LOOP UNTIL prob < pinf

LOCATE 15, 67: PRINT USING "#.##^"; Pmenor: LOCATE 7, 67: PRINT USING "#.##^"; Pmayor
LOCATE 25, 11: PRINT USING "###"; Paridad(1): LOCATE 25, 42: PRINT USING "###"; Paridad(nk - 1)
IF psup - pinf = 1 THEN
    LOCATE 24, 48: PRINT USING "#.#"; pinf: LOCATE 17, 67: PRINT USING "#.#"; psup
ELSE
    LOCATE 24, 48: PRINT USING "#.##^"; pinf: LOCATE 17, 67: PRINT USING "#.##^"; psup
END IF

GOSUB parada
IF control$ = CHR$(127) THEN GOTO grafico2
GOTO Olororang2
```

grafico3:

```
CLS
k4 = 17: k5 = 44: k6 = 18
GOSUB entrada

LOCATE 7, 20: PRINT "Probabilidad de error en los mensajes en"
LOCATE 8, 23: PRINT "códigos (n,k,t), P(E) vs. p del BSC"
LOCATE 10, 21: PRINT "p : probabilidad de error en los bits"
LOCATE 11, 25: PRINT "Ingrese el código a utilizar:"
LOCATE 13, 25: PRINT "long. del código, n : "
LOCATE 14, 25: PRINT "long. del mensaje, k : "
LOCATE 15, 25: PRINT "bits que corrige, t : "
LOCATE 17, 24: PRINT "Ingresar los valores correctos"
LOCATE 18, 24: PRINT "de las variables para continuar"
```

```
jselec = 1
DO
    LOCATE 13, 48: PRINT " "; n(jselec); " "
    LOCATE 14, 48: PRINT " "; k(jselec); " "
    LOCATE 15, 48: PRINT " "; t(jselec); " "

    ter$ = INKEY$
    IF ter$ = CHR$(13) OR ter$ = CHR$(127) THEN EXIT DO
    IF LEN(ter$) = 2 THEN
        IF ASC(RIGHT$(ter$, 1)) = 80 THEN
            jselec = jselec - 1
            IF jselec < 1 THEN jselec = 232
        END IF
        IF ASC(RIGHT$(ter$, 1)) = 72 THEN
            jselec = jselec + 1
            IF jselec > 232 THEN jselec = 1
        END IF
    END IF
END DO

LOOP
COLOR 7, 0
```

```
IF ter$ = CHR$(27) THEN
    ERASE n, k, t, Ater$
    RETURN bloque3
END IF
,
Otrorang3:
codigo$ = "código:" + STR$(n(jselec)) + " " + STR$(k(jselec)) + " " + STR$(t(jselec))
CALL Cuadro2(15, 16, 47, 47, codigo$, pinf, psup, tecla$)
IF tecla$ = CHR$(27) THEN GOTO grafico3
,
Alsab$ = ""
IF n(jselec) = 7 THEN
    Alsab$ = Ater$(1)
ELSEIF n(jselec) = 15 THEN
    Alsab$ = Ater$(2)
ELSEIF n(jselec) = 31 THEN
    Alsab$ = Ater$(3)
ELSEIF n(jselec) = 63 THEN
    Alsab$ = Ater$(4)
ELSEIF n(jselec) = 127 THEN
    Alsab$ = Ater$(5)
ELSEIF n(jselec) = 255 THEN
    Alsab$ = Ater$(6)
ELSEIF n(jselec) = 511 THEN
    Alsab$ = Ater$(7)
ELSEIF n(jselec) = 1023 THEN
    Alsab$ = Ater$(8)
END IF
,
IndProb = 1: prob = pinf: Pmayor = 0: Pmenor = 1
DO WHILE prob <= psup
    PE(IndProb) = 0
    FOR i = 2 TO INT(n(jselec) / 2)
        a1 = 1: Acombina$ = ""
        DO
            Acombina$ = Acombina$ + MID$(Alsab$, a1, 1)
            a1 = a1 + 1
        LOOP UNTIL MID$(Alsab$, a1, 1) = " " OR MID$(Alsab$, a1, 1) = ""
        Acombi(i) = VAL(Acombina$)
    NEXT i
    ii = 1
    FOR icon1 = i TO n(jselec)
        Acombi(icon1) = Acombi(icon1 - ii)
        ii = ii + 1
    NEXT icon1
    Acombi(n(jselec) - 1) = n: Acombi(n(jselec)) = 1

    Ind = t(jselec) + 1
    DO WHILE Ind <= n(jselec)
        PE(IndProb) = PE(IndProb) + (Acombi(Ind) * (prob ^ Ind) * ((1 - prob) ^ (n(jselec) - Ind)))
        Ind = Ind + 1
    LOOP
```

```
IF PE(lndProb) > PMayor THEN PMayor = PE(lndProb)
IF PE(lndProb) < PMenor THEN PMenor = PE(lndProb)

prob = prob + ((psup - pinf) / 50)
lndProb = lndProb + 1
LOOP

CLS
SCREEN video
LOCATE 2, 1: PRINT CHR$(201); STRING$(78, 205); CHR$(187)
FOR j = 3 TO 26
  LOCATE j, 1: PRINT CHR$(186); SPC(78); CHR$(186)
NEXT j
LOCATE 27, 1: PRINT CHR$(200); STRING$(78, 205); CHR$(188)
men$ = "GRAFICO DE P(E) vs p. ( CODIGO: " + STR$(n(jselec)) + STR$(k(jselec)) + STR$(t(jselec)) + " )"
LOCATE 4, 2: PRINT TAB((78 - LEN(men$)) / 2); men$

LINE (100 * pfact1, 110 * pfact2)-(100 * pfact1, 380 * pfact2)
LINE (90 * pfact1, 370 * pfact2)-(590 * pfact1, 370 * pfact2)
FOR i = 120 TO 345 STEP 25
  LINE (97 * pfact1, i * pfact2)-(103 * pfact1, i * pfact2)
NEXT i
FOR i = 124 TO 580 STEP 24
  LINE (i * pfact1, 367 * pfact2)-(i * pfact1, 373 * pfact2)
NEXT i
FOR i = 1 TO 5
  LINE (94 * pfact1, (70 + 50 * i) * pfact2)-(106 * pfact1, (70 + 50 * i) * pfact2)
  LINE ((100 + 96 * i) * pfact1, 364 * pfact2)-((100 + 96 * i) * pfact1, 376 * pfact2)
NEXT i

x1 = 100: y1 = 370 - ((251 / (PMayor - PMenor)) * (PE(1) - PMenor))
lndProb = 2: ProbEsc = pinf + (psup - pinf) / 50
DO WHILE ProbEsc <= psup
  x2 = 100 + (480 * (ProbEsc - pinf) / (psup - pinf))
  y2 = 370 - ((251 / (PMayor - PMenor)) * (PE(lndProb) - PMenor))
  LINE (x1 * pfact1, y1 * pfact2)-(x2 * pfact1, y2 * pfact2)
  x1 = x2: y1 = y2
  lndProb = lndProb + 1: ProbEsc = ProbEsc + (psup - pinf) / 50
LOOP

Pasol = PMenor
FOR i = 23 TO 8 STEP -3
  LOCATE i, 3: PRINT USING "#.###^"; Pasol
  Pasol = Pasol + ((PMayor - PMenor) / 5)
NEXT i
LOCATE 6, 9: PRINT "P(E)"

IF psup - pinf = 1 THEN
  paso = pinf
  FOR i = 0 TO 10 STEP 2
    LOCATE 25, i * 6 + 12: PRINT USING "#.#"; paso
```

```
        paso = paso + ((psup - pinf) / 5)
    NEXT i
    ELSE
    paso = pinf
    FOR i = 0 TO 10 STEP 2
        LOCATE 25, i * 6 + 10: PRINT USING ".###^"; paso
        paso = paso + ((psup - pinf) / 5)
    NEXT i
    END IF
    LOCATE 23, 77: PRINT "p"
,
    GOSUB parada
    IF control$ = CHR$(27) THEN GOTO grafico3
    GOTO Otrorang3
,
grafico4:
    CLS
    k4 = 15: k5 = 46: k6 = 17
    GOSUB entrada
,
    LOCATE 7, 20: PRINT "Probabilidad de error en los mensajes"
    LOCATE 9, 29: PRINT "P(E) = f(n-k,p)"
    LOCATE 10, 22: PRINT "Para códigos que corrigen t errores"
    LOCATE 11, 20: PRINT "n-k : bits de paridad"
    LOCATE 12, 20: PRINT "p : probabilidad de error en los bits"
    LOCATE 16, 23: PRINT "Se agrupa las curvas P(E) vs. p que"
    LOCATE 17, 22: PRINT "corrigen t errores en función de n-k"
    LOCATE 14, 18: COLOR 15, 0: PRINT "Número de errores que corrigen, t:"
    LOCATE 14, 54: INPUT "t: ", t: COLOR 0, 15
    LOCATE 16, 17: PRINT "    Presione <ENTER> para continuar"
    LOCATE 17, 17: PRINT "    <ESC> regresa pantalla anterior"
    COLOR 7, 0
,
    DO
        ap$ = INKEY$
    LOOP UNTIL ap$ = CHR$(13) OR ap$ = CHR$(27)
    IF ap$ = CHR$(27) THEN
        ERASE n, k, t, Ater$
        RETURN bloque3
    END IF
,
Otrorang4:
    codigo$ = "Códigos que corrigen" + STR$(t) + " errores"
    CALL Cuadro2(15, 16, 47, 47, codigo$, pinf, psup, tecla$)
    IF tecla$ = CHR$(27) THEN GOTO grafico4
,
    prob = psup: paso = 25
    Pmayor = 0: Pmenor = 1: cont = 0
,
    CLS
    SCREEN video
    LOCATE 2, 1: PRINT CHR$(201); STRING$(78, 205); CHR$(187)
```

```

FOR k = 3 TO 26
  LOCATE k, 1: PRINT CHR$(186); SRC(78); CHR$(186)
NEXT k
LOCATE 27, 1: PRINT CHR$(200); STRING$(78, 205); CHR$(186)
men$ = "GRAFICO DE PIE) vs. (n-k) vs. p (CODIGOS CON t = " + STR$(t) + " )"
LOCATE 4, 2: PRINT TAB(178 - LEN(men$)) / 2; men$

LINE (275 # pfact1, 75 # pfact2)-(275 # pfact1, 250 # pfact2), 7
LINE (540 # pfact1, 250 # pfact2)-(275 # pfact1, 250 # pfact2), 7
LINE (86 # pfact1, 385 # pfact2)-(275 # pfact1, 250 # pfact2), 7

LINE (183.33 # pfact1, 395 # pfact2)-(266.67 # pfact1, 395 # pfact2)
LINE (545 # pfact1, 196.67 # pfact2)-(545 # pfact1, 143.33 # pfact2)
LINE (429.67 # pfact1, 340 # pfact2)-(473.33 # pfact1, 305 # pfact2)
LINE (256.67 # pfact1, 390 # pfact2)-(266.67 # pfact1, 395 # pfact2)
LINE (256.67 # pfact1, 400 # pfact2)-(266.67 # pfact1, 395 # pfact2)
LINE (540 # pfact1, 153.33 # pfact2)-(545 # pfact1, 143.33 # pfact2)
LINE (550 # pfact1, 153.33 # pfact2)-(545 # pfact1, 143.33 # pfact2)
LINE (459.33 # pfact1, 310 # pfact2)-(473.33 # pfact1, 305 # pfact2)
LINE (467.33 # pfact1, 317 # pfact2)-(473.33 # pfact1, 305 # pfact2)

LOCATE 12, 70: PRINT "PIE)"; LOCATE 26, 26: PRINT "(n-k)"; LOCATE 21, 58: PRINT "p"

isb = 0: itm = 0
DO
  j = 1: nk = 1
  DO
    IF L(j) = t THEN
      Paridad(nk) = n(j) - k(j): PE(Paridad(nk)) = 0

      Alsab$ = ""
      IF n(j) = 7 THEN
        Alsab$ = Aler$(1)
      ELSEIF n(j) = 15 THEN
        Alsab$ = Aler$(2)
      ELSEIF n(j) = 31 THEN
        Alsab$ = Aler$(3)
      ELSEIF n(j) = 63 THEN
        Alsab$ = Aler$(4)
      ELSEIF n(j) = 127 THEN
        Alsab$ = Aler$(5)
      ELSEIF n(j) = 255 THEN
        Alsab$ = Aler$(6)
      ELSEIF n(j) = 511 THEN
        Alsab$ = Aler$(7)
      ELSEIF n(j) = 1023 THEN
        Alsab$ = Aler$(8)
      END IF
    END IF
  DO

  FOR i = 2 TO INT(n(j) / 2)
    al = 1: Acombina$ = ""
    DO

```

```

        Acombina$ = Acombina$ + MID$(AIsab$, al, 1)
        al = al + 1
        LOOP UNTIL MID$(AIsab$, al, 1) = " " OR MID$(AIsab$, al, 1) = ""
        Acombi(i) = VAL(Acombina$)
    NEXT i
    ii = 1
    FOR iconf = i TO n(j)
        Acombi(iconf) = Acombi(iconf - ii)
        ii = ii + 1
    NEXT iconf
    Acombi(n(j) - 1) = n(j): Acombi(n(j)) = 1

    Ind = t(j) + 1
    DO WHILE Ind <= n(j)
        PE(Paridad(nk)) = PE(Paridad(nk)) + (Acombi(Ind) * (prob ^ Ind) * ((1 - prob) ^
(n(j) - Ind)))
        Ind = Ind + 1
    LOOP

    IF cont = 0 THEN
        IF PE(Paridad(nk)) > PMayor THEN PMayor = PE(Paridad(nk))
        IF PE(Paridad(nk)) < PMenor THEN PMenor = PE(Paridad(nk))
    END IF
    nk = nk + 1
END IF
j = j + 1
LOOP UNTIL j = 232

x1 = 275 - isb
IF PMayor = PMenor THEN
    y1 = itm + 90
ELSE
    y1 = 250 + itm - (160 * (PE(Paridad(1)) - PMenor) / (PMayor - PMenor))
END IF

im = 2
DO WHILE im <= nk - 1
    x2 = 275 - isb + (250 * (im - 1) / (nk - 2))
    IF PMayor = PMenor THEN
        y2 = itm + 90
    ELSE
        y2 = 250 + itm - (160 * (PE(Paridad(im)) - PMenor) / (PMayor - PMenor))
    END IF
    IF prob <> psup THEN LINE (pfact1 * IXaux(im - 1), pfact2 * IYaux(im - 1))-(x1 * pfact1, y1
* pfact2), 15
        IXaux(im - 1) = x1: IYaux(im - 1) = y1
        LINE (x1 * pfact1, y1 * pfact2)-(x2 * pfact1, y2 * pfact2), 15
        x1 = x2: y1 = y2
    IF im = nk - 1 AND prob <> psup THEN LINE (pfact1 * IXaux(im), pfact2 * IYaux(im))-(x1 *
pfact1, y1 * pfact2), 15
        im = im + 1
    LOOP

```



```
IXaux(i - 1) = x1: IYaux(i - 1) = y1
IF PMayor = PMenor THEN
    cont = 0
ELSE
    cont = 1
END IF
prob = prob - ((psup - pinf) / paso)
isb = isb + 175 / paso: ita = ita + 125 / paso
icont = icont + 1
LOOP UNTIL prob < pinf

LOCATE 15, 67: PRINT USING "#.##^"; PMenor: LOCATE 7, 67: PRINT USING "#.##^"; PMayor
LOCATE 25, 11: PRINT USING "###"; Paridad(1): LOCATE 25, 42: PRINT USING "###"; Paridad(ink - 1)
IF psup - pinf = 1 THEN
    LOCATE 24, 48: PRINT USING "#.#"; pinf: LOCATE 17, 67: PRINT USING "#.#"; psup
ELSE
    LOCATE 24, 48: PRINT USING "#.##^"; pinf: LOCATE 17, 67: PRINT USING "#.##^"; psup
END IF

GOSUB parada
IF control$ = CHR$(27) THEN GOTO grafico4
GOTO Otrorang4

entrada:
CALL cuadro1(7, 0, 1, 1, 76, 22)
COLOR 0, 15: LOCATE 1, 26: PRINT " CODIGOS BLOQUE LINEALES "
CALL cuadro1(0, 15, 6, k4, k5, k6)
LOCATE k6 - 9, k4 + 1: PRINT STRING$(k5, 196)
LOCATE k6 - 2, k4 + 1: PRINT STRING$(k5, 196)
RETURN

parada:
BEEP: BEEP
LOCATE 28, 2: PRINT " ## (ESC) Retorna al Menú anterior ## "
LOCATE 28, 42: PRINT " ## (P) o (p) Otro rango de p ## "
DO
    control$ = INKEY$
LOOP UNTIL control$ = "P" OR control$ = "p" OR control$ = CHR$(27)
SCREEN 0, 0, 0
RETURN

Fin:
CLS
END

SUB cuadro1 (j1, j2, j3, j4, j5, j6)
COLOR j1, j2: LOCATE j3, j4: PRINT CHR$(201); STRING$(j5, 205); CHR$(187)
FOR j = j3 + 1 TO j6
    LOCATE j, j4: PRINT CHR$(186); SPC(j5); CHR$(186)
NEXT j
LOCATE j6 + 1, j4: PRINT CHR$(200); STRING$(j5, 205); CHR$(188)
```

END SUB

```
SUB Cuadro2 (i1, i2, j1, j2, codigo$, pinf, psup, tecla$)
  CALL cuadro1(15, 0, 7, 35, 34, 19)
  LOCATE 17, 36: PRINT STRING$(34, 196)
  LOCATE 9, 38: PRINT "Códigos bloque lineales (n,k,t)"
  LOCATE 10, 37: PRINT TAB(37 + (32 - LEN(codigo$)) / 2); codigo$
  LOCATE 12, 43: COLOR 15, 0: PRINT "Escala Horizontal :"
```

valores:

```
  LOCATE 15, 43: COLOR 16, 7: PRINT " pinf =      "
  CALL DigitEscala(15, 51, p1$)
  pinf = VAL(p1$)
  LOCATE 15, 43: COLOR 7, 0: PRINT " pinf = "; p1$
  LOCATE 16, 43: COLOR 16, 7: PRINT " psup =      "
  CALL DigitEscala(16, 51, p1$)
  psup = VAL(p1$)
  LOCATE 16, 43: COLOR 7, 0: PRINT " psup = "; p1$
  IF pinf >= psup THEN GOTO valores
```

```
  LOCATE 18, 37: COLOR 15, 0: PRINT "Presione <ENTER> para continuar"
  LOCATE 19, 37: PRINT "<ESC> regresa pantalla anterior"
  DO
```

```
    tecla$ = INKEY$
  LOOP UNTIL tecla$ = CHR$(27) OR tecla$ = CHR$(13)
  IF tecla$ = CHR$(27) THEN GOTO salida1
  CALL cuadro1(0, 15, 14, 20, 29, 17)
  LOCATE 16, 23: PRINT "gráfico en proceso.....!"
```

salida1:

END SUB

SUB DigitEscala (i, j, p1\$)

otrol:

```
  LOCATE i, j: PRINT "      "
  p11$ = "": punto = 1
  DO
```

```
otro:   p$ = INKEY$
  IF p11$ = "sobreflujo" THEN p11$ = "": punto = 1
  IF (p$ < "0") OR (p$ > "9") THEN
    IF p$ <> "." THEN
      IF p$ = CHR$(13) AND p11$ = "" THEN GOTO otro1
      IF p$ = CHR$(13) THEN EXIT DO
      IF p$ = CHR$(27) THEN GOTO otro1
      GOTO otro
    ELSE
      IF punto = -1 THEN GOTO otro
      punto = -1
    END IF
  END IF
```

```
        END IF
    END IF
    p11$ = p11$ + p$
    IF LEN(p11$) > 10 THEN p11$ = "sobreflujo"
    p1$ = MID$(p11$, 1, 11 - LEN(p11$)) + p11$
    LOCATE i, j: PRINT p1$
LOOP
IF VAL(p11$) > 1 THEN GOTO otrol
p1$ = p1$ + " "
END SUB
```

```
SUB Ingre1 (camino$, n(), k(), t())
    i = 1
    OPEN camino$ + "\TIPOS.TBL" FOR INPUT AS #1
    DO WHILE NOT EOF(1)
        INPUT #1, n(i), k(i), t(i)
        i = i + 1
    LOOP
    CLOSE #1
END SUB
```

```
SUB Ingre2 (camino$, n(), k(), t(), g1$())
    i = 1
    OPEN camino$ + "\TIPO_COD.TBL" FOR INPUT AS #1
    DO WHILE NOT EOF(1)
        INPUT #1, n(i), k(i), t(i)
        INPUT #1, g1$(i)
        i = i + 1
    LOOP
    CLOSE #1
END SUB
```

```
SUB Ingre3 (camino$, nn(), kk(), tt(), kg$(), AnchHam$())
    i = 1
    OPEN camino$ + "\TIP_COD1.TBL" FOR INPUT AS #1
    DO WHILE NOT EOF(1)
        INPUT #1, kg$(i)
        INPUT #1, nn(i), kk(i), tt(i)
        INPUT #1, AnchHam$(i)
        i = i + 1
    LOOP
    CLOSE #1
END SUB
```

```
SUB Ingre4 (camino$, Ater$())
    i = 1
    OPEN camino$ + "\DATCOMB1.TBL" FOR INPUT AS #1
    DO WHILE NOT EOF(1)
        INPUT #1, Ater$(i)
        i = i + 1
    LOOP
    CLOSE #1
END SUB
```

END SUB

```
SUB MovBloque (AM$(1), ap$, x1, x1, y1, y1, y1, y2, y3, y4)
  COLOR 0, 15
  FOR men = 1 TO y3
    LOCATE y4 + men, y2: PRINT AM$(men)
  NEXT men
  LOCATE y1, y2: COLOR 15, 0: PRINT AM$(y1 - y4)
  DO
    AM$ = AM$(y1 - y4)
    CALL MovCursor(AM$, ap$, x1, x1, y1, y1, y1)
  LOOP UNTIL ap$ = CHR$(13) OR ap$ = CHR$(27)
  COLOR 7, 0
END SUB
```

```
SUB MovCursor (AM$, ap$, xi, xf, yi, yf, y)
Cursor1:
  ap$ = INKEY$
  IF LEN(ap$) = 2 THEN GOTO Cursor1
  IF ap$ = CHR$(13) OR ap$ = CHR$(27) THEN GOTO Cursor3
  GOTO Cursor1
Cursor1:
  ny = ASC(RIGHT$(ap$, 1))
  IF ny < 80 AND ny > 72 THEN GOTO Cursor3
  COLOR 0, 15: LOCATE y, xi: PRINT AM$: AM$ = ""
  IF ny = 80 THEN y = y + 1 ELSE y = y - 1
  IF y > yf THEN y = yi ELSE IF y < yi THEN y = yf
  FOR x = xi TO xf
    AM$ = AM$ + CHR$(SCREEN(y, x))
  NEXT x
  COLOR 15, 0: LOCATE y, xi, 0: PRINT AM$
  COLOR 0, 15: IF xi - 1 > 0 THEN LOCATE y, xi - 1, 0
Cursor3:
END SUB
```

```
SUB PalabCodigo (nn, kk, G(), n1(), b())
  Grado = nn - kk
  FOR i = 0 TO nn - 1
    b(i) = 0
    IF i >= nn - kk THEN b(i) = n1(i)
  NEXT i
  U1(i) = nn - 1
  DO
    DO WHILE b(U1(i)) <> 1 AND U1(i) >= Grado
      U1(i) = U1(i) - 1
    LOOP
    IF U1(i) < Grado THEN EXIT DO
  DO WHILE j <= Grado
    IA = U1(i) - Grado: j = 0
```

```
IF G(j) = 1 THEN b(1A + j) = b(1A + j) XOR 1
j = j + 1
LOOP
LOOP
FOR lnd = nn - kk TO nn - 1
b(lnd) = n1(lnd)
NEXT lnd
END SUB

SUB PolinGener (polinhex$, polinbin$)
polinbin$ = ""
FOR i = 1 TO LEN(polinhex$)
IF MID$(polinhex$, i, 1) = "0" THEN
binario$ = "0000"
ELSEIF MID$(polinhex$, i, 1) = "1" THEN
binario$ = "0001"
ELSEIF MID$(polinhex$, i, 1) = "2" THEN
binario$ = "0010"
ELSEIF MID$(polinhex$, i, 1) = "3" THEN
binario$ = "0011"
ELSEIF MID$(polinhex$, i, 1) = "4" THEN
binario$ = "0100"
ELSEIF MID$(polinhex$, i, 1) = "5" THEN
binario$ = "0101"
ELSEIF MID$(polinhex$, i, 1) = "6" THEN
binario$ = "0110"
ELSEIF MID$(polinhex$, i, 1) = "7" THEN
binario$ = "0111"
ELSEIF MID$(polinhex$, i, 1) = "8" THEN
binario$ = "1000"
ELSEIF MID$(polinhex$, i, 1) = "9" THEN
binario$ = "1001"
ELSEIF MID$(polinhex$, i, 1) = "A" THEN
binario$ = "1010"
ELSEIF MID$(polinhex$, i, 1) = "B" THEN
binario$ = "1011"
ELSEIF MID$(polinhex$, i, 1) = "C" THEN
binario$ = "1100"
ELSEIF MID$(polinhex$, i, 1) = "D" THEN
binario$ = "1101"
ELSEIF MID$(polinhex$, i, 1) = "E" THEN
binario$ = "1110"
ELSEIF MID$(polinhex$, i, 1) = "F" THEN
binario$ = "1111"
ELSE PRINT "Error, numero es mayor que F"
END IF
polinbin$ = polinbin$ + binario$
NEXT i
END SUB

SUB PuCodBlq (DistAnch$, dualid$, nn, kk, pinf, psup, PMayor, PMenor, Pu())
lndProb = 1: prob = pinf: PMayor = 0: PMenor = 1
```

```

DO WHILE prob <= psup
  Pu(IndProb) = 0: al = 1
  IF dualid$ = "NDual" THEN
    AnchHam$ = MID$(DistAnch$, 3, LEN(DistAnch$) - 2): Ind = 1
  ELSE
    AnchHam$ = DistAnch$: Ind = 0
  END IF

  DO WHILE Ind <= nn
    Ham$ = ""
    DO
      Ham$ = Ham$ + MID$(AnchHam$, al, 1)
      al = al + 1
    LOOP UNTIL MID$(AnchHam$, al, 1) = " " OR MID$(AnchHam$, al, 1) = ""
    Ancho = VAL(Ham$)

    IF Ancho < 0 THEN
      IF dualid$ = "NDual" THEN
        Pu(IndProb) = Pu(IndProb) + ((prob ^ Ind) * ((1 - prob) ^ (nn - Ind)) ^ Ancho)
      ELSE
        Pu(IndProb) = Pu(IndProb) + Ancho * ((1 - 2 ^ prob) ^ Ind)
      END IF
    END IF
    Ind = Ind + 1
  LOOP
  IF dualid$ = "Dual" THEN Pu(IndProb) = (2 ^ (kk - nn)) * Pu(IndProb) - ((1 - prob) ^ nn)

  IF Pu(IndProb) > PMayor THEN PMayor = Pu(IndProb)
  IF Pu(IndProb) < PMenor THEN PMenor = Pu(IndProb)

  prob = prob + (psup - pinf) / 50
  IndProb = IndProb + 1
LOOP
END SUB

SUB PuCodHam (nn, kk, pinf, psup, PMayor, PMenor, Pu())
  prob = pinf: PMayor = 0: PMenor = 1: IndProb = 1
  DO WHILE prob <= psup
    Pu(IndProb) = 0
    n = nn - kk
    Pu(IndProb) = (2 ^ (-n)) * (1 + ((2 ^ n) - 1) * (1 - 2 ^ prob) ^ (2 ^ (n - 1))) - (1 - prob) ^ ((2
    ^ n) - 1)

    IF Pu(IndProb) > PMayor THEN PMayor = Pu(IndProb)
    IF Pu(IndProb) < PMenor THEN PMenor = Pu(IndProb)

    prob = prob + (psup - pinf) / 50
    IndProb = IndProb + 1
  LOOP
END SUB

```

II.1 ARCHIVO TIPO_COD.TBL

Archivo que contiene los valores (n,k,t) y los coeficientes del polinomio generador expresados en forma hexadecimal para cada código bloque lineal de longitud hasta de $n = 2^{10} - 1$.

7	4	1
B		
15	11	1
13		
15	7	2
1D1		
15	5	3
537		
31	26	1
25		
31	21	2
769		
31	16	3
8FAF		
31	11	5
1626D5		
31	6	7
32DEA27		
63	57	1
43		
63	51	2
1539		
63	45	3
782CF		
63	39	4
1D82777		
63	36	5
86E8113		
63	30	6
37C0EB67		
63	24	7
F69AC20921		
63	18	10
2F308529D3D5		
63	16	11
CD930BDD3B2B		
63	10	13
2759262D5D506D		

63	7	15
153225B1D0D73DF		
127	120	1
89		
127	113	2
4377		
127	106	3
26D9E3		
127	99	4
1C9C26B9		
127	92	5
CA76024D7		
127	85	6
58E24F9A48B		
127	78	7
2C98011D8804D		
127	71	9
195A08E5AACAFEB		
127	64	10
A1A8815BC7EC8025		
127	57	11
6EAD55545E28AE9FD1		
127	50	13
2C9352AA6CC054468311		
127	43	14
1FD1FD22F5297A8A42F8E3		
127	36	15
CCC3CD85487A24FA5F3A3DD		
127	29	21
40C993178EE307B7AC184FC6D		
127	22	23
14DFF87104E954A3825CB67F4E23		
127	15	27
121788A4B84B67E2A608F923F08EB		
127	8	31
E275A0A8D218D4CF9288988F6CB08F		
255	247	1
11D		
255	239	2
16F63		
255	231	3
1BBA185		
255	223	4
1EE5842FD		
255	215	5
1337DD3AD11		
255	207	6
1C7EB85DF3C97		
255	199	7
1F36195C443A4E1		
255	191	8
16CE707E2686F9977		

255	187	9
157B597600B493CE9		
255	179	10
12CA7239EE08D439812D		
255	171	11
1B0E46229C4EE1F8C7319F		
255	163	12
1E810DA40F70569BE7529981		
255	155	13
1FBE960583ED41BD2A34D37F9B		
255	147	14
1D1160F75F3AD55887562C8413C9		
255	139	15
13180F68607DB8DE3A5D853CAEEF25		
255	131	18
11BCB6CCE6906958AA17F2231050EB39		
255	123	19
143182A510D807CF4435A9C614B2EABCB7		
255	115	21
1855B6B7A2029D679E826017CEAB732E75DF		
255	107	22
1242FE9A4365732A1EC04EB9E207EBE7A0D921		
255	99	23
11AEDBAAE767C497861C81BE36955091F4698719		
255	91	25
1BD0B50C35E487AE9E67A9DAA48F6D1F2E8751C971		
255	87	26
120BDF38678D3D1D4CE718E7A1321BA5655DB27A2CF		
255	79	27
1B7003B9FD7D0020B87221DEC7CC8835ADC9FB585CAED		
255	71	29
140A722A1A468D36D87A25364E685922A1E56FD1A478C1D		
255	63	30
11EC9E8B4E7646AB351EEFE380F6CA9EB4B56F8BD770AC6C1		
255	55	31
1D9B1541D04805B06AF5BC1A1635618D6F6822DE248B076778F		
255	47	42
156EC40F1969AE61B10BFEOC9B3E94DB865930940A360A5AAC67B		
255	45	43
6A085C2D4E1CAB241733FA27C1B9EE02938F93EC3682378545361		
255	37	45
52F3615A3703C30FF2752C7EB110EEF18F8D3BD39F48ECEFC0C4803		
255	29	47
615E6D7B76399AD5C680A78BFC9AE251351027C260C159AF8440EEA1F		
255	21	55
55C8D578C1B5AE00FECD787C510D2EE182EAC7962A89ACA38C9B52E77D5		
255	13	59
4D0F680A2ABA5922D7BE62A06C046C6FE4B3EB8C0CF9BF45DE162E4C28167		
255	9	63
6F582A8F9D4CD021911AB5DA5CC61C9EE8A120F2CA4AFB136CFC5B8EFE9C2F		
511	502	1
211		

511	493	2
495C9		
511	484	3
D612B79		
511	475	4
1CC2B9B9A1		
511	466	5
24AEA6C8E3F3		
511	457	6
4C5BF84377E8C7		
511	448	7
870AADF3A3E92805		
511	439	8
1B8BA069B8B1FFE26E5		
511	430	9
3D7B0318AF903DCC63397		
511	421	10
59FC9CAADD6988786938F4B		
511	412	11
B7E80748431794CE3DFDCCE41		
511	403	12
1BDC7987AF64FCBADAFE6A507A9		
511	394	13
242A4390B0DB762E20F3C62B85381B		
511	385	14
7FB660AFF94FA96CA88ECCAC3664819		
511	376	15
93BC9C6A8F56B4973961CCC8E4411BB683		
511	367	17
12B6BD0545DB34C1E01D5296E58C8ED2701AD		
511	358	18
37C971B2CB288676E1C7EAE9B8701FF8425F6AD		
511	340	19
65A0A4E6F7D6A21E506DBAF7F818EB51B7BF850CB		
511	340	20
8787B17194F2A690D909CA589DFBCE92F4241169FFF		
511	331	21
1B0693A246145E1C5FAB293CFF2B4697B67BF98E865ED1		
511	322	22
26BC66F68C4944BF3EDBDCA6E3DA9EA9E9465BF18FE3BA3B		
511	313	23
43E2302B9A1242FE53A4E271C77704D74A67E235EEF2A69F1F		
511	304	25
D23BC8A5D16DD74275579A1C38A19D2ABB3A37C7E700EAB04EE9		
511	295	26
1256627F580D9E04954F3F5FEF5AF509B15831FCE854A7DC926E1D		
511	286	27
2CF99C0D6BA5110D3FAD6127F7BF0EE60E7DC0EE654F5012EE5160339		
511	277	28
49254F514ACE4070C4BF7B0612B930CFF4A9617CF61E1FBF1680D59AC25		
511	268	29
A84E2A734DCEB8D7D04CF0915A45D2D1FB59CC47438F323331560F7508B1		

511 259 30
128B30927220D69F1D251F2419336DCFD5C1514EBB18ECE5FC364E88DA334CAF
511 250 31
2075F61E33247165296BFB7A93F355FB229AFE6AFBFE1DD4EB75BC6F39E7DCEA5
511 241 36
98B31AAC94358A169859646988370546BFC1D80BAED0F219EC3C0658954CDXC3D1
511 238 37
2B626FD488EF96747851047FB6CF092FF1F1FE5A0C2FB4372AAD21D22D15B3885AFB
511 229 38
6433C2ABFF31D39B590784479D5D6549182A3F8ADDE5EEBF757DF52A06A9D1FBF800645
511 220 39
B61D1A810A98BF047CD8567F3BC740C66AADB4BE0D6582F50607F068F063E12CD238B6A2D
511 211 41
1AFACB7265F767A72B944CD8262F8E5DA4FC52ABDA8671E54039803464E5C000FEDE5061FC03
511 202 42
2ED1E0C733B4F46A358054DA50ACFB841C7C3FCED6926A87E409C7DF0E976EC10F8AB2B5FDC93F
511 193 43
4D34265B3E644DE782A00DA161A39C9DF8DB50C099F774A12F6AF580967715DEEEF77451ECE22A2D
511 184 45
B42D3FEFB3F1C1FA4DCC3C1D7B45A90858DBD5EAAED59720C91F0E52F7D4E8ABD21E96A404766E8BB9
511 175 46
1412C2E9BC6546FC7D4534299640DDBE1FDAEEC7E9C989989C76A065132FA3101F25C5FEFC5DE6F725D43
511 166 47
48BF497783E999F119244C3E99736521B693DFE34C0FD2892FFBBA90ABBCA70949C1EEEE01A52E9191BC4B
511 157 51
790793CC0308B48E764C1C9A8BE3D7A400A2627B6B3D74704850DA6E51907C38C00094F7DE0FCFCA6196EB43
511 148 53
C30B366263E55B61C186305812A68BF5DD07C588B5CBA5B86E38F67238E2BB7F94417643D133D09526BFC298531
511 139 54
1FEB78C62B1CD9FF2F9BD34C7C67D68F3F14B9954EE15B1F52E18C009BCE15BE29096BAF4F4AB6703C59C5C682D3F3
511 130 55
25644443338EDACA8F25BF8556D001E4EAEF2913D36296D9AC37685977982841D7F289A29862A159EE5D8A9FA2D0CD1
511 121 58
3615F977EB7F555C2118484EB51E0BB239E85C7D32AD32AB51AFBFF1354A2BF3DDAEF0FB8CF82BF193EEFA3BEB3E26FEAF
511 112 59
AD13D203F95ACB31E81417BEEC6345D4B2028EE8154315F2CA21C2F4CAC5164D465926748F75F6288AC4FF5BE94A94C356F5
511 103 61
2B7A120E3ED7CF27D0420268A37E45ECD33A634862573DD87063BCF5D11AAC740B6F14F0706F4E496C16B3B63EAEF63BE8111F
511 94 62
21CCA5B2A43E2F58DFCA65F50615E97B24E8280E065520752C53C6D3C1C7A5CBFAFCD77B04DC1BAEC9E225FAD60B3DFA887B2C6DD
511 85 63
581362E28B1E1132A00C576BC3176BDBF424B060769FEAA273F0D17CCOCD912319135B1A821C0071A100C25279294A4DACC1C8CD
511 76 85
AD98F95A728B871B5F0C3B52AC0F6F91DBE79D49B207848FFAD3837791732BC9184E87A6E7CF2E2C8AAAEE28D8C59A7E1153E45
511 67 87
1BD14F93F5736AFF6A9F8AA73A02856842B2EA071AD9BDCDD11DE9842FBD0459C1024BF80E5DFBD44B01D21DF55A5C18035AA69E
7680621
511 58 91
22FA8FC00877144B18D63464937C9F24869AAA04647F6A4C15A6E976E0A5249C26682C40F0D1317A5A9A4B9461DD8FB1C2AB698
18261B181
511 49 93
600FB2AA594B8E8E7E023298E7F39A231AAA69F6249C6DFD5C9965463368B55D37694F47BFC6F39C6E5D6F4DF777EC27E23FD0C7D

C205D50F5BB

511 40 95

8D746B0C0C2C186438E9F2CCB3B6D3156E644B25D384225BDEB08027BF490E54E82F927885A04FDB27A73D4262C58F3D49005140F987F96F817D93

511 31 109

1020681744D0B066A19097EF86FF4CA0C1850F7402E340EBF973FC9C99A4E7694FEE05F294F207260F4A807BF6958B9FFA86BAD4E22ADFA6FBA40CBE5

511 28 111

D1A288F07117F2C92B56772CDAF81B25CBB949041E74441BD723EA0A321041860F263DAC60AA228E4834824B986FF91FCA4A987207BD75COACB145BB59

511 19 119

169A12F978D89D11503EDAD09813826278BE039F7AD70D8632FF927610E24FA785A9FEB07D94ADDA483834B13071544089522430DE38F767A1E665B44DCB

511 10 127

3C23D3242F19EDD450DA31F88B0AD7EAA0A5F224A7D1070CB28E5D0169D673F99A9B0258640D2BD762684F2AC6F3BDFE6E2A4E3B57260C3A46B7D988821F

1023 1013 1

409

1023 1003 2

101877

1023 993 3

50A91113

1023 983 4

182EBE91E9B

1023 973 5

6F21CE1015FF9

1023 963 6

36CB5772845CAAD

1023 953 7

168BE3CF3DB3D2C70CB

1023 943 8

1F0F22579A88400128CE5

1023 933 9

5A756D8A96A24B479C95A19

1023 923 10

104D3F9B412624870B98662B93

1023 913 11

7F6D77A4A8C6FB2E25D84213860D

1023 903 12

1F939D5CD2128FFDE767C268988EEAF

1023 893 13

620F2F23E56CD665C03D9BCE350D0F511

1023 883 14

13F79793D7AA292C354FA652E006661177CB

1023 873 15

5F7BB5C05D5AC00289B97E1040FF529180151B

1023 863 16

1CB1746E78492774F633AE021BAD004C082FCC64D

1023 858 17

2D2B6CD8CD692ECD13A2F467867131E5DEEEBD4061

1023 848 18

EC5EA1AA4AF7CF31EFC0F10BC5CB2410B5EA5792B0B3

1023 838 19
2A232FBAD1FB7FEE9B7AB443CCF40C99038E4713C4A275
1023 828 20
A2D2504B267A6C03E42F419120B88FD6581D0265E98FE260B
1023 818 21
246357C48E640AF510F7F4D0C8B9D7D2BC65B031E8E6A2E6DF07
1023 808 22
B6AF44431FEF25D35FB0108C8058628C216A63C4EB5D90E61ECC4F
1023 798 23
3AAEA2A02517E25294CF2D022706F9D330D67C8BD6CF854D60282235F
1023 788 24
94C3656EB015EFA98D0C2697228A3D1A9BC3ACD02931E4F1EB0CDBAB9B5
1023 778 25
3C0F31BF4831DE91D570E06959C943D1B8CF25AD647C72E04811856B79A271
1023 768 26
6202F84737823FD893A6B177A5D2A4AD2395AF33E42205ED9D2A9B5AB3E1B0837
1023 758 27
3B26CFCA73CE28B1CA88688F1B26CC1516FF81518226EE9BCB2F3A87751303589BD
1023 748 28
A700EBA018193D3F10E3CD414B60E0DD55AD8A17C02308577AAC4A5F17ECC5FFD38F
1023 738 29
3F1154D79F7C94B23686883CEBC671415A0892BDE1B00E068E192C78A1BF88DE5F1F2ABF
1023 728 30
B8A20A033D0B2CF2C7AA9A9B1B220A01F3502A4A94D11B4FB523A2650CBEF0439FE824BE57
1023 718 31
344403676B3C0517DE7AD2B7F754CB67B7E863FD12501CA6AE11A7C1CBC01E7E779355AF629
1023 708 34
A475FE99E3EF804FFB889BB0E12AE63359AF7F7CA74BD69B6FC9ED9AACAA28961B045792DAD7B865
1023 698 35
24E21F1EA7CBEAAF4599326DC9DBF9E8D76F74D903CB4D9CB27971FB679FDE886A4D33A3F80DBC62A5
1023 11 255
1C7626A215C2D5F402AA178B734A614E606AB33582C7B9375908A8CC4462B17C2479DAD32EE968B3A7EB6821CE44F0D8D3BC80C72
B5EF69051D1BC12AE84C60F8DA9A1A3EA4CF2917502E3235CBF36EFB258654F44B9E0470FC49D766F96C20EA97AFE92187702714
AF327CFF24A287A87A6CFBB7EFFB6CB2833837103C7F

11.3 ARCHIVO DATOS2.TBL

Igual que el archivo anterior, contiene los valores (n, k, t) de los códigos bloque lineales, la distribución de ancho de Hamming de los códigos y además la indicación que ésta distribución fue calculada con el código dual. Estos datos corresponden a códigos BCH cuya distribución de ancho de Hamming se pueden obtener con relaciones ya determinadas.

Estos parámetros han sido agrupados y almacenados para cada código.

```
Dual
 63      45      3
1 0 0 0 0 0 0 0 0 0 0 0 0 0 0 0 189 0 0 0 0 0 0 23520 0 0 0 60480 0 0 0 116739 0 0 0 47040 0 0 0 14112
0 0 0 0 0 0 0 0 63 0 0 0 0 0 0 0 0 0 0 0 0 0 0 0 0 0
Dual
127      113      2
1 0 0 0 0 0 0 0 0 0 0 0 0 0 0 0 0 0 0 0 0 0 0 0 0 0 0 0 0 0 0 0 0 0 0 0 0 0 0 0 0 0 0 0 0 0 0 0 0 0 0
0 0 0 4572 0 0 0 0 0 0 0 8255 0 0 0 0 0 0 3556 0 0 0 0 0 0 0 0 0 0 0 0 0 0 0 0 0 0 0 0 0 0 0 0 0 0 0 0 0 0
0 0 0 0 0 0 0 0 0 0 0 0 0 0 0 0 0 0 0 0 0 0 0 0 0 0 0 0 0 0 0 0 0 0 0 0 0 0 0 0 0 0 0 0 0 0 0 0 0 0
Dual
127      106      3
1 0 0 0 0 0 0 0 0 0 0 0 0 0 0 0 0 0 0 0 0 0 0 0 0 0 0 0 0 0 0 0 0 0 0 0 0 0 0 0 0 0 0 25670 0 0
0 0 0 0 493776 0 0 0 0 0 0 0 1176655 0 0 0 0 0 0 384048 0 0 0 0 0 0 16002 0 0 0 0 0 0 0 0 0 0 0 0 0 0 0 0 0 0
0 0 0 0 0 0 0 0 0 0 0 0 0 0 0 0 0 0 0 0 0 0 0 0 0 0 0 0 0 0 0 0 0 0 0 0 0 0 0 0 0 0 0 0 0 0 0 0 0 0
Dual
255      239      2
1 0 0 0 0 0 0 0 0 0 0 0 0 0 0 0 0 0 0 0 0 0 0 0 0 0 0 0 0 0 0 0 0 0 0 0 0 0 0 0 0 0 0 0 0 0 0 0 0 0 0
0 0 0 0 0 0 0 0 0 0 0 0 0 0 0 0 0 0 0 0 0 0 0 0 0 0 0 0 0 0 0 0 0 0 0 0 0 0 0 0 0 0 0 0 0 0 0 0 0 0 0 0
0 0 0 0 3060 0 0 0 0 0 0 23120 0 0 0 0 0 16575 0 0 0 0 0 20400 0 0 0 0 0 2380 0 0 0 0 0
0 0 0 0 0 0 0 0 0 0 0 0 0 0 0 0 0 0 0 0 0 0 0 0 0 0 0 0 0 0 0 0 0 0 0 0 0 0 0 0 0 0 0 0 0 0 0 0 0 0 0
0 0 0 0 0 0 0 0 0 0 0 0 0 0 0 0 0 0 0 0 0 0 0 0 0 0 0 0 0 0 0 0 0 0 0 0 0 0 0 0 0 0 0 0 0 0 0 0 0 0 0
Dual
255      231      3
1 0 0 0 0 0 0 0 0 0 0 0 0 0 0 0 0 0 0 0 0 0 0 0 0 0 0 0 0 0 0 0 0 0 0 0 0 0 0 0 0 0 0 0 0 0 0 0 0 0 0
0 0 0 0 0 0 0 0 0 0 0 0 0 0 0 0 0 0 0 0 0 0 0 0 0 0 0 0 0 0 0 0 0 0 0 0 0 0 0 0 0 0 0 0 0 0 0 0 0 0 0
0 0 0 0 0 0 1370880 0 0 0 0 0 3588224 0 0 0 0 0 7568655 0 0 0 0 0 3166080 0 0 0 0 0 0
```


II.4 ARCHIVO TIP_COD1.TBL

Contiene los datos de los archivos DATOS1.TBL y DATOS2.TBL, los que se encuentran ordenados en forma ascendente de n. Formándose grupos que contienen el mismo valor de n y a los cuales simultáneamente se ha realizado un ordenamiento en forma ascendente de t.

```
Dual
 7          4          1
1 0 0 0 7 0 0 0
Dual
15          11         1
1 0 0 0 0 0 0 0 15 0 0 0 0 0 0 0
NDual
15          7          2
1 0 0 0 0 18 30 15 15 30 18 0 0 0 0 1
NDual
15          5          3
1 0 0 0 0 0 0 15 15 0 0 0 0 0 0 1
Dual
31          26         1
1 0 0 0 0 0 0 0 0 0 0 0 0 0 0 0 31 0 0 0 0 0 0 0 0 0 0 0 0 0 0 0 0
Dual
31          21         2
1 0 0 0 0 0 0 0 0 0 0 0 0 31 0 0 0 527 0 0 0 186 0 0 0 0 0 0 0 0 0 0 0
Dual
31          16         3
1 0 0 0 0 0 0 0 465 0 0 0 8680 0 0 0 18259 0 0 0 5208 0 0 0 155 0 0 0 0 0 0 0
NDual
31          11         5
1 0 0 0 0 0 0 0 0 0 0 186 31 0 0 527 527 0 0 31 186 0 0 0 0 0 0 0 0 0 0 1
NDual
31          6          7
1 0 0 0 0 0 0 0 0 0 0 0 0 0 0 0 31 31 0 0 0 0 0 0 0 0 0 0 0 0 0 1
Dual
63          57         1
1 0 0 0 0 0 0 0 0 0 0 0 0 0 0 0 0 0 0 0 0 0 0 0 0 0 0 0 0 0 63 0 0 0 0 0 0 0 0 0 0 0 0 0 0 0 0 0
0 0 0 0 0 0 0 0 0 0 0 0
Dual
63          51         2
1 0 0 0 0 0 0 0 0 0 0 0 0 0 0 0 0 0 0 0 0 0 0 21 0 0 0 1512 0 0 0 1071 0 0 0 1176 0 0 0 126 0 0 0 0 0 0
0 0 0 0 0 0 0 0 0 0 0 0 0 0 0 0
Dual
```


APPENDIX C

Generator Polynomials of Binary Primitive BCH Codes of Length up to $2^{10} - 1$

The generator polynomials of all the binary primitive BCH codes of length up to $2^{10} - 1$ are given. They are given in an octal representation. Each digit in the representation is coded as follows:

0 \leftrightarrow 000	2 \leftrightarrow 010	4 \leftrightarrow 100	6 \leftrightarrow 110
1 \leftrightarrow 001	3 \leftrightarrow 011	5 \leftrightarrow 101	7 \leftrightarrow 111.

When the octal representation of a generator polynomial is expanded in binary, the binary digits are the coefficients of the polynomial, with the high-order coefficients at the left. For example, consider the (63, 45) BCH code in the table. Its generator polynomial in octal form is

1701317.

Expanding this in binary using the code above, we obtain

001 111 000 001 011 001 111

The generation polynomial is then

$$g(X) = X^{14} + X^{17} + X^{16} + X^{15} + X^9 + X^7 + X^6 + X^3 + X^2 + X + 1.$$

Primitive Binary BCH Codes of Length up to $2^{10} - 1$

<i>n</i>	<i>k</i>	<i>t</i>	Generator polynomial	<i>n</i>
7	4	1	13	127
15	11	1	23	127
15	7	2	721	127
15	5	3	2467	255
31	26	1	45	255
31	21	2	3551	255
31	16	3	107657	255
31	11	5	5423325	255
31	6	7	713365047	255
63	57	1	103	255
63	51	2	12471	255
63	45	3	1701317	255
63	39	4	166623567	255
63	36	5	1033500423	255
63	30	6	157464165547	255
63	24	7	17323260404441	255
63	18	10	1363026512351725	255
63	16	11	5731141367235453	255
63	10	13	472622305527250155	255
63	7	15	5231045543503271737	255
127	120	1	211	255
127	113	2	41567	255
127	106	3	11554743	255
127	99	4	3447023271	255
127	92	5	624730022327	255
127	85	6	130704476322273	255
127	78	7	26230002166130115	255
127	71	9	6255010713253127753	255
127	64	10	1206534025570773100045	255
127	57	11	335265252505705057517721	255
127	50	13	54446512523314012421501421	255
127	43	14	17721772213651227521220574343	255
127	36	15	3146074666522075044764574721735	255
127	29	21	403114461367670673667530141176155	255

n	k	t	Generator polynomial
127	22	23	123376070404722522435445626637647043
127	15	27	22057042445604554770523013762217604353
127	8	31	7047264052751030651476224271567733130217
255	247	1	435
255	239	2	267543
255	231	3	156720665
255	223	4	75626641375
255	215	5	23157564726421
255	207	6	16176560567636227
255	199	7	7633031270420722741
255	191	8	2663470176115333714567
255	187	9	52755313540001322236351
255	179	10	22624710717340432416300455
255	171	11	15416214212342356077061630637
255	163	12	7500415510075602551574724514601
255	155	13	3757513005407655015722506464677633
255	147	14	1642130173537165525304165305441011711
255	139	15	461401732060175561570722730247453567445
255	131	18	215713731471510151261250277442142024165471
255	123	19	120614052242066003717210326516141226272506267
255	115	21	60526665572100247263636404600276352556313472737
255	107	22	22205772322066256312417300235347420176574750154441
255	99	23	10656667253473174222741416201574332252411076432303431
255	91	25	6750265030327444172723631724732511075550762720724344561
255	87	26	110136763414743276435231634307172046206722545273311721317
255	79	27	66700035637657500020270344207366174621015326711766541342355
255	71	29	24024710520644321515554172112331163205444250362557647221706035
255	63	30	10754475055163544325315217357707003666111726455267613656702543301
255	55	31	7315425203501100133015275306032054325414

n	k	t	Generator polynomial	n
			32675501055704426035473617	511
255	47	42	2533542017062646563033041377406233175123 334145446045005966024552543173	511
255	45	43	1520205605523416113110134637642370156367 0024470762373033202157025051541	511
255	37	45	5136330255067007414177447245437530420735 706174323432347644354737403044003	511
255	29	47	3025715536673071465527064012361377115342 242324201174114060254657410403565037	511
255	21	55	1256215257060332656001773153607612103227 341405653074542521153121614466513473725	511
255	13	59	4641732005052564544426573714250066004330 6774454765614031746772135702613446050054 7	511
255	9	63	1572602521747246320103104325535513461416 2367212044074545112766115547705561677516 057	511
511	502	1	1021	511
511	493	2	1112711	
511	484	3	1530225571	511
511	475	4	1630256304641	
511	466	5	1112724662161763	511
511	457	6	1142677410315765707	
511	449	7	1034122337164372224005	511
511	439	9	1561350064679543777423745	
511	430	9	1727400306127620173461431627	511
511	421	10	1317711625267264610760644797513	
511	412	11	1337530164410305712316173767147101	511
511	403	12	1573436303657311762726657724651203651	
511	394	13	110251034413033354270407474305341234033	511
511	385	14	177554502577717372458452107300530331444 031	511
511	376	15	111674470652172533227162607146216210106 733203	511
511	367	17	1126657202505666323017001652245562614435 511600655	511
511	358	19	1574456154545450414733416176535156070037 760411373255	511
511	349	19	1455012234675753242974501555657377036165 521557376050313	511
511	340	20	1036075427062474623220662047122611677363 511364110105517777	511

n	k	t	Generator polynomial
511	331	21	1540644721106050570342772405117177453215 136663677461641457321
511	322	22	1153614675506111211374366675624670755236 523645062677061770735073
511	313	23	1037043005346411102774516447047070735602 327224637421536736251517437
511	304	25	1510736212272133353502352536320703410147 225273064337077160935254047351
511	295	26	1112630477530037170044524747727767532752 046612603077472052247671744467035
511	286	27	1317463403265645042064775326044775737416 714071756016714523450022734505401471
511	277	28	1111170752122547109341422773660302256230 317751245413717303607737426401527326045
511	268	29	1241160247151767165615372023170221264427 2264376531670435034363106314253017352056 01
511	259	30	1121314111162101572370722243711014463733 4772560250516566147547137606623504332146 46117
511	250	31	1007276607431444342624512277572752237465 2773105153763257577607352353353361571676 73347245
511	241	36	1142630652622415705026460545443230406701 2432776321666056566417103173036006026112 51467341721
511	238	37	1266115765104357454721732420217755547411 137076177455240605755033452532207221321 266342055373
511	229	38	1441474125377630773466514074104363527262 5110602507742556745735375653737245201524 721767740003105
511	220	39	1330350650041246177404371541263763570720 143157533227603267602752070077406436030 76045444342665055
511	211	41	1532262671145756636471271211406923057434 5664477051251645071617124007140032144713 400007755712030376003
511	202	42	1355074061631664750550654005237224126377 5501617417747326444552077100470767607227 335404174253126577344477
511	193	43	1151502312317452115717012400332054150716 2357615552060114767351204573257260045473 425675673673505078470425055
511	184	45	132055177676637434772223460740727550552 2041306675275253592627101444370345136745 164252644172265100216637505671
511	175	46	1202260564674312437743724246412313100673 3703766567307727446714611516650062427137

n	k	t	Generator polynomial	n
			214200762270577576135715734453503	
511	166	47	1105764456740764631742144442303723134662 4415551173770846017645044577670522052736 107022447017356707151227221433376117	511
511	157	51	1710171171400604264434731140711521379753 6443012114236665475350701102415515624310 174161400004517373603747715514145565503	511
511	148	53	1414131546120371255541603030602601124642 7727350174267055345645560670707547107070 5355774504056620750463641124465774123024 61	511
511	139	54	1775336143053070047771371572223076147655 0744725674510475154245554654156641317571 1267612204557576475125547007426342706405 51763	511
511	130	55	1126210420631670733262507435577025766400 0744725674510475154245554654156641317571 4050203537624232123030520531734566124772 13206321	511
511	121	58	1541271357655772525504106044116552170175 443475027076462523212532432767742725121 2771735535703734717405374311756764357501 74233577257	511
511	112	59	1264236440177126945461720120275756614321 2522620050735005241425745450416057231251 2131152145444635107565754242126117753372 24522460653765	1023
511	103	61	1267502203437327536237202040115050677105 7315147230644142256367333406167475350432 5307201333612360349675162226650265473307 65357307372010437	1023
511	94	62	1034624554522076136543376246276501412751 3662275012007006252201611325170664740707 5134565753153573011560335354474211175326 02636772420754543335	1023
511	85	63	1311423305612705476042312400305255360613 553667720445406010647765242347703217149 3157671106144232631520207000161592003022 44744512244605460244315	1023
511	76	65	1266305771250774445612456156722760607324 4460173271073371716511544036044377532354 6726213462721106045263515637171242621252 52705066142632374105237105	1023
511	67	67	1572123711765346653774251761251635902412 6410254565007065546756015043572302057577 4010547010944577303456773650454016441676 5264560300065524647437003041	1023
511	58	91	1057521760004167050454306543214444676277 1110323251120106217732446025515645663300 5122223411445454201703211427513200445624 30356677543412533230062230330501	1023
511	49	93	1400373125226245616424770021451434774715 0430652515175422234333765344626250514664 2652723355123647637615716743345655727773	1023

n	k	t	Generator polynomial
			56773023742177503076702013524172673
511	40	95	1065643260601413014144161647626313166664 6125563104544564702042267572604002167722 2071247202762236702640217554475163650230 54261717244430242403714177455740276623
511	31	109	1004032013504641301465031022773733377231 203014120756400551507277456777116271511 6755127767095745123520162701722500173755 1261347775206565523121255764676722014574 5
511	24	111	1506424217016105771311126531671315537006 622713562444040743210406753447240506204 0406060362307553063752109071101510111346 0677710774225141620177656560126201213355 31
511	19	119	1323204574570661164212407733264114023404 5117057401637365534154143177744473020704 4764741324776540766245375511016032261142 7052420104522110302161617354750363145550 46717
511	10	127	1702172311027431733521206643077042605327 7252024574422247642034145450713500264726 3477467246601133710764576546115023625306 7473677673467052274355271140607221533731 42701037
1023	1013	1	2011
1023	1003	2	4014167
1023	993	3	12052210423
1023	983	4	30135372217233
1023	973	5	67441674100257771
1023	963	6	155441273452021342255
1023	953	7	321370747475547513070317
1023	943	8	760744225715270200004506345
1023	933	9	1723526661245521113217162255071
1023	923	10	2023237673202270444160567331425627
1023	913	11	7755535722250615754561135410204707015
1023	903	12	1762347256322045077757166770272714216735 7
1023	893	13	3040745710762554654627001771571615226417 2421
1023	883	14	4773627447536521222604523733122707031402 4273713
1023	873	15	1373673270227255700005046717741010077651 22140012433
1023	863	16	3440272156360444423517306353401033532501 14070277143115

n	k	t	Generator polynomial	n
1023	859	17	13225554661435511354642335057214741470461 7135735657240141	1023
1023	848	18	3542752065222573717147677007420570562622 2205536512744500263	1023
1023	838	19	5210617676532176677756416752642074676403 1144034344342361121165	1023
1023	829	20	1213222404541636166003710275014422027057 75313007201145723077423013	1023
1023	818	21	2214325742216310253650417376464144271657 51274313300617216324271557407	1023
1023	809	22	5552750420617757117515775401021454054142 42020552307423532731074607546117	1023
1023	799	23	1652724250022427704512346362640211603371 646303263710572563702515300240421537	1023
1023	789	24	2246066255654012757523054141151744242476 432467416546402446171130753671556534655	1023
1023	778	25	7403630677220307364435256070064531622417 2156747445532621743456011004302553767211 51	1023
1023	768	26	1420057410715701076671164654273645645222 5510712657147627420136463512515532547606 604067	1023
1023	758	27	7544667745163634242516250415047615446630 1242677700521404233564674545716507565046 015304675	1023
1023	748	28	5160035350014331172374207074650122560740 6725265542413700106041273652611227613754 613777751617	1023
1023	738	29	1761052465717574451310564156407472743161 2025501044536741540070075741445436720677 4215713707625277	1023
1023	728	30	2705040500317205454745436524651543310405 0917465005222512321366476651072114503137 7602071775011137127	1023
1023	718	31	6421001547326760050675717264533767251455 475576414377211120071232560473701627400 3637473623253276573051	1023
1023	709	34	1221657751474373730117767342335416045271 4315315367757451645726466677117331525450 50454154042571133265734145	1023
1023	699	35	2234207617247627652572171446223344733763 643273367233100745515471317174375547477 57210324464635077421557061245	1023
1023	688	36	6062331567761473445053573264026122102305 3201440006656062450307555544233405700271 4045611400274276254456531124177	1023
1023	678	37	1173340210112354267372717132007746772117 2430242075060060272425267356271765714270 070343261342147115315606445423035675	1023

n	k	t	Generator polynomial
1023	669	38	2726674363712255927500744177372151741454 5645473073762151476755130843142214504396 40553267547754170264202502544744706413
1023	658	39	4526553271372400573644374714763070706741 103117123761654022463030313351135737123 3160732343127163117947027565041001443541 05
1023	649	41	1053012656042512406741405367113570216337 3335151361445051301722215770657734053400 0442526605347576637101417411054700433515 223273
1023	538	42	376012577455514557631616660700752402515 440564137207733117706764061230707706604 5666510673072260546441216265142152656664 533676375
1023	628	43	642151605625505702552057134724545361312 2757027016417012222102012742464575330112 6724717410001043433017517030422131500121 350470437067
1023	518	44	1436767275404102542246475266313511611500 5027177636020644131621570413456443331222 7260670220051221512570532647242752525477 5754664246713357
1023	508	45	3205632662501732726372612360531506221660 1642671653635152412144657627270612401323 5612468273254637300534451672472606153046 2161570470103566541
1023	599	46	5175076274225613532026031146621612144714 3656373757671671144563673511345562033377 2363115242327614411151057011653316234767 2420714406612507752125
1023	588	47	1425717410513115113640172157603722701346 3011170047424744703123121716566534441253 5602227567425313454763311477014361615330 04527236262433614645152063
1023	578	49	31774303612015204030527734206337256777357 1514665721603455147706422374540553712214 5746177477620442053330470305772517145376 36407425537275744133016141137
1023	573	50	1355677017526536535146475314700031707456 302660761421301266665750072520767133531 7304265646727506154132277032714377707023 2341637207202520573521417420615
1023	563	51	277236150442432167665314102660436202113 2553454106501612101536430475161545700052 0475027073570114161614676247142254455044 6255557775515151167236224235327161
1023	553	52	6042334623077055525431324656261417515014 227412513343550617750235732240547747255 7162040767437444775076764454714640345671 0027561254427647334263053360460303115
1023	543	53	1055532301605012610131175414035550021456 2763276437435575056231126247124212102427 6704204717425515057004044214740647640450 065166211362616647116657734055272050514

<i>n</i>	<i>k</i>		Generator polynomial	<i>n</i>
			3	1023
1023	533	54	3011252271024007601256355614410110631241 447604376045756472111127466077665562665 4217667430146671642613617516247055413742 6636741420670626224221121140152405654631 6753	1023
1023	523	55	6173100556046353561760536040447255721247 4310077565636320561601145471476057132554 23224733072032311224433274706157714547610 2204305664132377402105560521763116372354 2140361	1023
1023	513	57	1442056607323310761242261470690262276017 510136412762155772677740653231057077546 1527721765875312220547404020757305537546 5457251141504105143444175702256556213675 47711533103	1023
1023	503	58	3526111340256374267000600572256610752600 05776172203370075055201315120317473367771 3400541207320422505347425362014026650010 0004257043231653414626355376624341306710 02311565250731	1023
1023	493	59	7525405755220775673403553444573506243560 7256600605234131432506166510202242405073 335662472033747596611711466153104767172 3111426350630167625357243023251070010175 45226050161245001	1023
1023	483	60	101022740645520076236416372024031175567 5534053006400654636246221506521030256417 4635764603621630460402150663270550302262 2471562611215057442745721707226536776112 325071626447667724133	1023
1023	473	61	3275255734777512716766130324236300561602 326654107320060643272245433224307023312 1056616662644203305305353270024721414270 6252777265242372623345602661643601551362 360114712022071563522541	1023
1023	463	62	4257710770354177520700120310175131741452 2646316040516304114052431351313706134426 2044226555241044230276332312417700133134 5011373217527767452370777645631335625621 275401071525545617027552161	1023
1023	453	63	1531237560135257466053045644313751237706 0514513604361025341247434430553661067700 1052325072756200027154257505607050746074 2347574503151051424560227041423702376426 0257036602570516146760636153261	1023
1023	443	73	3051462775160645577510534745450470242247 4353060560266203436041336276663363011462 7247152315630145650707511617214040605320 4277716062400570267044607301501125151777 3374535517744726746624051117614557	1023
1023	433	74	6551077013564477321042777730023704151601 75211277621572427770232322533724016627637 1251547755210341250226270224512023346531 5173725652335621405465526246704034012300 7073271127075457754155273245775745013	1023

n	k	t	Generator polynomial
1023	423	75	1371403545740325659774720662641445605572 0647077714165030201406303257676672714103 5356347426042441521146714214012236710737 4164612444130379470102150780103776066779 460472504660741425310507000151577707422 7
1023	413	77	3130514551013371502077510395732557321401 1760073161356760472560144747314167124255 5376173247642602317157010625427257776455 7724265445545120077372774475041557524550 1423614017265745456752500412104234734710 7567
1023	403	78	6530507067625562124141564675474774756257 5145101332262337026444047152073731026412 7462440055716211016277740037230663055316 4122765324525335353412724676631061133753 7637416161530226355450072447426761051423 0676657
1023	393	79	1653506701401422711244423504213255741202 7657471014576751746344762763202645334655 662551450526474576514300727723477524642 3717565120014071273273475472524117405663 5606472676113552676751152424134176727371 57011323251
1023	383	82	2101556750316274636721774032521346374755 0416046710713235213260200173163311010751 152453617790266430551550343633603016303 2543716222246044272213606527471240711261 7657615110133267371365102051275103775727 57105036743057
1023	378	83	1271727232475673032645416341027644322054 4742747152233707376724602052056046415216 0615441501471172331343574553707577366042 631000165112524534540655546665316772504 0134511004147527470357702216203600436576 3562314467231267
1023	368	85	2667110244206717554116670535772352255702 0775135077721751514126771355024621053205 1314022567463732172361241171201412026162 3653333750471661055152633472534522430740 0302522242423267144120672542411721301423 3216317412603200011
1023	358	86	7435121372564560416164423405512531131273 422333311150324415477155003234404757442 6171255246153400574361641566444466317375 4160174125055171104230756443674102100730 5155725327757546453441553326495674665130 7314476261042544230245
1023	348	87	1152150570436510265766674136141303474274 45260125353126166675745230325J6722700050 0625207035201332737114107013243424325560 6164445352775311630144736763442471124475 7750150011616262637717177075102213217170 43446340305445612706574703
1023	338	89	3435404744265677502320351555134172304633 0127646153113220255460143043276470736246 612540101534107327073746771541102307733 4025666153620557042677053703237045526065 443167224726547347532253255127643611341

n	k	t	Generator polynomial	n
			66201344577712444057365034127	
1023	328	90	4376075566465464447725523310167055725051 3364752462175061537135014226525515352756 1554472635775452747645016645517076050542 7007214641140377770272661301737600047265 0644621575075623315742577655551745704130 72547436036455673176766776021557	1023
1023	319	91	1706570374315170744566215341745357673544 65065170740573076067577417165717702330670 4666124321175656663111343514112511526132 5767234612127537336567130520412006236673 0652025365545623610266465373576416357076 757337145232060114113270376256424571	1023
1023	309	93	2642120320047717622231140633167326340740 4654622717462634441140442435052126716431 057154502540667346217774070517733634721 1544225553064525153700121577654557715476 274743245571152471573560120403030036251 611371571363536743575475627255612775247	1023
1023	299	94	7607315125761433642526304450363545626472 5611714372152073305634315715022554055231 6076751112611277717145131135317527677046 6732556644427514042164046110636365565566 4550340671546270704215331125127241135267 1670301124644115710644070316271466331106 73	1023
1023	299	95	17016040666J3416774726444725261650551067 2124410746002141416267465201122102455127 6755376270304427013326176347761574051225 2161051122456127543465052666631747005425 2266655317553460754531732325667620546756 4036613660503377260207743030117536367621 203555	1023
1023	278	102	2561112413204004572512323427015121540424 3237123071101755037216065252775302223547 4065127152454745331164300065161070571534 4371247324607717027041446261403024476234 2751113123413544231643217420335257714150 023642125063232705126052420172332450755 310424635	1023
1023	268	103	5654035737756644460334414133030111146310 0146152621621754746144205012055330527077 5303715417371641000727253627610744441051 5703446316765332602512753027230261252257 0230566667675120633312503010076171344377 7330061102755376503137425117533736240637 177561306317	1023
1023	259	106	1472716560654553504476114427330200150115 1173472111661146472710536457264074616730 621270764051342120242026742624213453637 0427517704053463140321453024446377474011 2076150643076734714642657240376712557330 2203556104577153413672763550007757247113 0110646647103743	1023
1023	248	107	3461477710376543241414375231636516574724 5065316230137456120461323574541525726041 2556573562616526111127656576320525763510 5644024312145652627132756063506201454560 0503657215441172100402476306531430623526	1023

n	k	t	Generator polynomial	
1			5426422633275763410271325014165632012203 2414745504629457615	
16 2 5 9	1023	239	109	6107055959572007262714473945669847601727 4773721535472655566769516074701209532116 2955655214627411766175714549116221417540 1214402537154265167574524637271759667277 4742133671045121217224375055532427613465 25470572657274972540174175050732711445 5226722252133616554655
4 7 12 13 16	1023	229	110	1645595272602750646317712172471735457243 4717660426124673594570142363510702532510 5465449350706502341177157412442257614277 077135640454225756520722015007240167503 4540747040242734547505710424974127577194 070460177407110257907272262051721521347 64771653006051579762272065
40 41 21 76 51 7	1023	219	111	253272777770671464456127304015405577345245 7027263257670271533011541245200437451417 442212456466152677101297725274571752727 572427457553027760402174460737454417475 5417207525157107713300763229650710444522 5676774024215714747554147237510037305912 55725367612674645741191019215
67 67 25 25 56 21	1023	209	115	7662425544271246134245977532655961777364 3117564744521532047502013441715763751643 4611742014356270417547447327560724415144 7613713975166762462559105072064606476604 737252742776177771314714611060116225324 7273756021533573511473763247374430701047 41312067517077077657202575266431
424 547 534 234 150 755	1023	203	117	2600721761002761741110669257167583757520 6525157537267407157376666171163647123276 5275645264765562251407631501114054010175 7024017277322017716776502255740579067411 7120457710072403775723015475413276153570 1157221436207760470741237214262705415704 6022254152273653525227756023726523
310 077 051 257 377 4637	1023	193	118	7053315727030267095076537662496626601761 2061777171150127703517602727674370163122 7440504733611275242564514652123765275225 524413413015307772243104440567401766701 52571424215607257562156619504017772450 5675452071661107471167522117406175477173 316659512552176493715222751411571731
115 1730 1637 1011 1330 113	1023	183	119	1347473474775279044720557094955543253641 541426107453064136610044747074270440647 63517254633706616427425741710007010151 345337423247377204620733455537547714510 705407216647156127045077527154501716702 2372610013551710764724147151161146625775 6310407017234622102227470720176570172124 5
1724 1041 1510 1560 1526	1023	173	122	2361302473102534766307174057425000712611 5407714446113241270757016250545512127107 414607742124453527515214557043577754120 5555475532041352234100662235527577223261 4457553535540403471102147116764706331760 60327150574032173701726240610766417314 540113666704030576427101133676561455315 7553

<i>n</i>	<i>k</i>	<i>t</i>	Generator polynomial	<i>n</i>
1023	163	123	4113171073752014342901137750744201677441 73252177766353065562456575431477452735 5425411705740760252512274267304567376743 677641651577462771756517576475035772707 2217561502535705126601021474176200301335 5457107141643542557151143254021725320301 747654422054740357115621457472425103751 6460607	1023
1023	157	125	1473077520540655705664534611401067646510 6564466240750272645247101532717001327355 125525740144624177221035154710077244137 3023726106475401742104112674543042527464 7451775407521677507671076242125536273317 6644217425306265727130713311576600712505 2432044741706551447006426647662422275700 32444750511	1023
1023	143	126	2705672534177577656134605524750654047625 4275423257512562102761416067617770542771 1460017664347574610040617626371543266057 3554365713174265772110167734047217705111 3733747446147746503062332477575037740315 1165171742420467322567705265226662575 2746240531211431754131515171115505251076 27377477461925	1023
1023	133	127	4617241122502533177567475531722511566715 742570164460275417241347747746724542114 5544447464632770001337721543511324751670 2610154503645720574703625417407506343636 662714545622052327573422326143257055311 6720127331574052024715703701044271032476 7607251200167144164775070153251671274256 43765453221150005	1023
1023	123	170	1606122475314452440364114065506777666426 5343610702760277317024522705343600423320 242433105146140027327126143431675314002 3036402653162631026523102264715527745315 0374162211376360615577273444653255610566 1614203104347447540533727112046663543521 1253420231107716037436204725255752061446 310672727204716406065	1023
1023	121	171	5222675662147725741314744210723377001541 2253272514721374170157274532253203570061 5555001733462474144045642452515062144017 1131414121534317141271717416540247672143 1364537676372722240234442776120501273102 5245611735266752742307471766760032052267 6522561717727552103337636452501626224763 1720444446365514222717	1023
1023	111	173	1522057216652345524151261131756011401100 2417457357411555267257430644235445523722 7141414362643627756035136777711661732620 2400037150571207635215557074127213515066 4410720607674754463431476515431477631373 2040303636642717670427347615762362355036 7600521462074250472554267242343544575670 3446634044261764644465517	1023
1023	101	175	35454727726477337506027327007274644770357 7076474016112034433402242207212433412503 4212535626065270142605776134717357361465 6417762011214767217553555554653572111747	1023

n	k	t	Generator polynomial
			4551152615662076255010434237412255115177 6272636505293444412114131804765425047526 2051240151667123446614627070714267307175 5575456772101677262472416471
1023	91	191	4055177762504121412577510225372907777645 6673574005261545600020674271417162617712 150625615242557423647764776101234101741 7126672067376765721700727456241223731307 2756706103623641555001215465766126430341 7336703214457577041500501573212167321576 7334543304791503707163511142547264441612 1735616377403703647762331023117
1023	85	193	2264761771543214471675772410757621637726 1160424142731911126727103065573247413275 4432257227721704404464742501644542205701 326726021005710672523761731750152677205 0076374724656464215710544105357577351675 3764712464542755412271371637767455076427 5143707025173630602744675176760711476757 453422170361560266627166234073223
1023	76	197	5904413226010767557023243061737064215571 442161532473723124722477164751617036710 2332107021677452371427245440364276244075 7627166653450647114065536704152554100357 0021711306574650326702510673440306147102 0127524575783074316742263029467722741655 504332427300572215025614441572750304032 050275147511716417151005306045676027
1023	66	199	1335505424441741406157525754577170243027 342417762547112336758134271823427340535 443121174602742072506502240651527647442 5225735404126141675066623161414334637002 3253213327457376454172114672756045050327 145741474235547265525107276667037135445 644460532522350777052251520016127109460 0523064244170454576477037741704275570607
1023	56	191	3533660424156746206407772444526075007401 3327044430111755764054213671261407637721 7365150066452035503020722071617013704506 1451154164441245647372600477550417342712 4332421423334727066016525177747306160053 47672312136024564021162435246765254225 6294245534274757413520702473642764362211 3551667237042145430541554174712125325173 331
1023	46	219	6301541625665623020521756602744545517117 5526531114735670269141755744717471073137 0637137663547267635501752647104447676259 6773370422474424105014660455576033053657 6707137074076236722167541537206044072770 3604223201460001112124751137371265705531 3174645762574576401050005014160506604517 2730226274076512210521522004216362545324 376075
1023	36	223	1152711551526905136004274504217435302475 043722143566497300517127220151140064707 5441034055747731016655127301566414331316 3711704233561771130764134237244667223150 7613166546645026325127605716064161527643 740714450165252237566925070003477777350 5457120771071520002217212553614046136364

n	k	t	Generator polynomial
1023	26	239	2211657443425105061615376162061404232341 2027502143 3476655146625052723141431762632154723323 212452210364771111764232320202416451725 7120645425737600246350051466006307723670 4724745250207710106433015376231566674173 2473210524736730110637774120466644500552 253072634726564171151407704772674476075 7766775101312115727255145732774036010471 7655061074476144410265213573747702152554 6455751231677
1023	16	247	6076262767731160101141105063701021367565 7762274052211422564557262162121174115764 0750767504220703657612124877754243717505 4060630501092657505104156311506724744442 5411743547205156755242240153071077124367 0513047170535057374212745422660541522550 5633323652623572017766360711322000755022 0251544067462673641704454634322574227212 4736702723114761
1023	11	255	3435423242051413257502125275705563224605 1670065267157013075627753102124314210612 6137022171665514567226426351765550103471 0474154327571027171265736644050721570112 5641143017432246415776511474510565005614 432712746677711103174752456366204741761 1165663371230207524572775110303560116122 5714476377111212075267515476733757766662 624063476704036177

Index

- Abramson, N.A.
- Acampora, A.J.
- ACK (see Ack)
- Acknowledgment
- negative, 13
- positive, 13
- ADCCP (advan-
- tions con-
- Adder, modulo
- Addition, 16
- modulo-2, 16
- modulo-m, 1
- vector, 41
- Additive white
- Advanced data
- procedur-
- Asynchronous
- Analog-to-digit
- Arithmetic:
- binary field, 2
- Galois field, 2
- ARQ, 13, 359, 4
- continuous, 1
- go-back-N, 1
- hybrid, 13, 47
- mixed mode,
- selective-repe-
- 551-52, 5
- selective-repe-
- buffer, 4
- selective-repe-
- 474-77
- stop-and-wait
- type-I hybrid
- type-II hybrid
- type-II hybrid
- Ash, R.B., 429
- Asymptotic cod-
- Automatic repe-
- AWGN (see Add-
- noise)
- Backward index
- Bahl, L.R., 309
- Bandwidth, 8, 3
- Basis, 44
- BCH bound, 15
- BCH codes, 40,
- decoding, 151
- description, 1
- designed dist-
- error correcti-
- error detecti-
- generator pol-
- narrow-sense
- nonbinary, 1
- nonprimitive
- parity-check
- primitive, 14
- syndrome, 15
- syndrome co-
- weight distri-
- BCH decoder,
- Berlekamp, E.S.
- Bernstein, A.J.
- Binary operati-
- Binary-phase-s

BIBLIOGRAFIA GENERAL

1. Shu Lin, Costello, *ERROR CONTROL CODING FUNDAMENTALS AND APLICATIONS*, Prentice Hall, 1983.
2. Gallager R. G., *INFORMATION THEORY AND REALIABLE COMMUNICATION*, John Wiley, New York, 1968.
3. IETEL, *TRANSMISION DIGITAL POR MICROONDAS*, Centro Nacional de Capacitación en Telecomunicaciones, Japan International Cooperation.
4. Roberto Angel Ares, *SISTEMAS DE RADIOENLACES DIGITALES. EQUIPOS, MEDICIONES Y CALCULOS*, Lenkurt Telecomunicaciones S. A., Santiago de Chile, 1989, SIEMENS TELECOMUNICAZIONI S. P. A.
5. C. Belove, *ENCICLOPEDIA DE LA ELECTRONICA, INGENIERIA Y TECNICA*, Vol. 6, Oceano, España, 1990.
6. *IEEE Transactions on Communications*, Vol. COM-32, No. 4, April 1984.

7. *IEEE Transactions on Communications, Vol. COM-30, No. 2, February 1982.*
8. *IEEE Transactions on Communications, Vol. COM-30, No. 5, May 1982.*
9. *Telcom report 11 (1988) Special <<Transmisión por Radioenlaces Digitales>>, SIEMENS, Enero 1988.*
10. *Fabian Luna, RED DE RADIOCOMUNICACIONES PARA EL IESS, Tesis E. P. N., Enero 1991.*
11. *Kamilo Feher, DIGITAL COMMUNICATIONS.*